

Haziran'22

Sayı/Number: 23/Volume: 12
Yıl/Year: 2022

Yayın Sahibi

TMMOB
Elektrik Mühendisleri Odası Adına
Mahir ULUTAŞ

Sorumlu Yazı İşleri Müdürü

Eylem ÖLMEZOĞLU

Yayın İdare Merkezi

Ihlamur Sokak No:10 Kat:3
Kızılay - Ankara
Tel: (312) 425 32 72
Faks: (312) 417 38 18
<http://bilimseldergi.emo.org.tr>
bilimseldergi@emo.org.tr
EMO Üyelerine parasız dağıtılır

Dergi Koordinatörü

Sevgi Kınacı
sevgi.kinaci@emo.org.tr

Sayfa Düzeni

TMMOB
Elektrik Mühendisleri Odası

Yayın Türü

Yerel Süreli Yayın
6 ayda bir yayınlanır

Basım Adedi

500

Basım Tarihi

Haziran 2022

EMO BİLİMSEL DERGİ

**Elektrik, Elektronik, Bilgisayar, Biyomedikal
Mühendisliği Bilimsel Dergisi**

The Journal of Electrical, Electronics, Computer and
Biomedical Engineering

YAYIN KURULU

BAŞ EDİTÖR/EDITOR IN CHIEF

Prof. Dr. Timur Aydemir
Kadir Has Üniversitesi

EDİTÖRLER/EDITORIAL BOARD

Prof. Dr. Erhan Akın
Fırat Üniversitesi

Prof. Dr. H. Altay Güvenir
Bilkent Üniversitesi

Prof. Dr. Güven Önbilgin
Ondokuz Mayıs Üniversitesi

Prof. Dr. Arif Nacaroğlu
Gaziantep Üniversitesi

Prof. Dr. Özlem Özgün
Hacettepe Üniversitesi



TMMOB

Elektrik Mühendisleri Odası

UCTEA/Chamber of Electrical Engineers

EMO Bilimsel Dergi Danışma Kurulu

Prof. Dr. A. Hamit Serbest	Çukurova Üniversitesi
Prof. Dr. Altay Güvenir	Bilken Üniversitesi
Prof. Dr. Cengizhan Öztürk	Boğaziçi Üniversitesi
Prof. Dr. Erhan Akın	Fırat Üniversitesi
Prof. Dr. Güven Önbilgin	Ondokuz Mayıs Üniversitesi
Prof. Dr. Murat Eyüboğlu	Orta Doğu Teknik Üniversitesi
Prof. Dr. Timur Aydemir	Gazi Üniversitesi
Prof. Dr. Ali Hikmet Doğru	Orta Doğu Teknik Üniversitesi
Prof. Dr. Arif Nacaroğlu	Gaziantep Üniversitesi
Prof. Dr. Atilla Bir	İstanbul Teknik Üniversitesi
Prof. Dr. Aydın Köksal	Bilişim A.Ş.
Prof. Dr. Aydoğan Özdemir	İstanbul Teknik Üniversitesi
Prof. Dr. Aysin Baytan Ertüzün	Boğaziçi Üniversitesi
Prof. Dr. Belgin Turkey	İstanbul Teknik Üniversitesi
Prof. Dr. Bülent Sankur	Boğaziçi Üniversitesi
Prof. Dr. Cüneyt Güzeliş	Yaşar Üniversitesi
Prof. Dr. Erdal Panayırçı	Kadir Has Üniversitesi
Prof. Dr. Erkan Afacan	Gazi Üniversitesi
Prof. Dr. Ferit Acar Savacı	İzmir İleri Teknoloji Enstitüsü
Prof. Dr. H. Bülent Ertan	Atılım Üniversitesi
Prof. Dr. Haldun Karaca	Dokuz Eylül Üniversitesi
Prof. Dr. İbrahim Eksin	İstanbul Teknik Üniversitesi
Prof. Dr. İnci Çilesiz	İstanbul Teknik Üniversitesi
Prof. Dr. İrfan Karagöz	Gazi Üniversitesi
Prof. Dr. İsmail Hakkı Altaş	Karadeniz Teknik Üniversitesi
Prof. Dr. İsmail Hakkı Çavdar	Karadeniz Teknik Üniversitesi
Prof. Dr. Kemal Leblebicioğlu	Orta Doğu Teknik Üniversitesi
Prof. Dr. Lale Tükenmez Ergene	İstanbul Teknik Üniversitesi
Prof. Dr. Mithat İdemen	İstanbul Teknik Üniversitesi
Prof. Dr. Muhittin Gökmen	MEF Üniversitesi
Prof. Dr. Murat Aşkar	İzmir Ekonomi Üniversitesi
Prof. Dr. Müjde Güzelkaya	İstanbul Teknik Üniversitesi
Prof. Dr. Osman Eroğul	TOBB Ekonomi ve Teknoloji Üniversitesi
Prof. Dr. Oya Kalıpsız	Yıldız Teknik Üniversitesi
Prof. Dr. Özlem Özgün	Hacettepe Üniversitesi
Prof. Dr. Sermin Onaygil	İstanbul Teknik Üniversitesi
Prof. Dr. Tayfun Akgül	İstanbul Teknik Üniversitesi
Doç. Dr. Ahmet Koltuksuz	Yaşar Üniversitesi
Doç. Dr. Osman Abul	TOBB Ekonomi ve Teknoloji Üniversitesi
Bora Güngören	Portakal Teknoloji
Fikret Küçükdeveci	TEPA
Hasan Ali Pazar	Siemens

İÇİNDEKİLER / CONTENTS

Grafiksel Kullanıcı Arayüzü Testi İçin Bir Uçtan Uca Model Tabanlı Yaklaşım <i>An End-to-End Model-Based Approach for Graphical User Interface Testing</i> Alper Silistre, Onur Kılınççeker, Fevzi Belli, Moharram Challenger , Geylani Kardeş	7
Bir Uzaktan Program Yükleme ve Yönetim Sistemi <i>A Remote Program Installation and Management System</i> Nilgün İncereis, Bekir Tefvik Akgün	21
Tersine Mühendislik Yöntemi ile Test Senaryo Üreten ve Yürüten Çerçeve: Finansal Bir Uygulamada Vaka Çalışması <i>Test Case Generation and Execution Framework with Reverse Engineering Method: Case Study for a Financial Application</i> Emine Dumlu Demircioğlu, Oya Kalıpsız	33
Bazı Alt Uzaylarda Kriptografik Açidan Eniyilenmiş Büyük S-kutuları <i>Cryptographically Optimized Large S-boxes in Some Subspaces</i> Selçuk Kavut	43
Şebekeden Bağımsız Güneş/Rüzgâr/Biyogaz/Yakıt Hücresi/Batarya Tabanlı Hibrit Enerji Sisteminin Tekno-Ekonomik Analizi: Muğla Zaferler Köyü Vaka Çalışması <i>Techno-Economic Analysis of an Off-Grid Solar/Wind/Biogas/Fuel Cell/Battery Based Hybrid Energy System: Muğla Zaferler Village Case Study</i> Aykut Fatih Güven, Cüneyt Hatipoğlu	53
Güç Sisteminde Oluşan Harmonik ile Ara Harmoniklerin Modellenmesi ve Simülasyonu <i>Modeling and Simulation of Harmonic and Interharmonics in the Power System</i> Sabir Rüstemli, Behçet Kocaman, Sinan Tekev	67

Grafiksel Kullanıcı Arayüzü Testi İçin Bir Uçtan Uca Model Tabanlı Yaklaşım

An End-to-End Model-Based Approach for Graphical User Interface Testing

Alper Silistre¹ , Onur Kılınççeker^{2,3,5} , Fevzi Belli^{2,4} , Moharram Challenger⁵ ,
Geylani Kardaş¹ 

¹ Uluslararası Bilgisayar Enstitüsü
Ege Üniversitesi, Türkiye
alpersilistre@gmail.com, geylani.kardas@ege.edu.tr

² Faculty of Computer Science
Paderborn University, Germany
okilinc@mail.upb.de, belli@upb.de

³ Bilgisayar Mühendisliği Bölümü
Muğla Sıtkı Koçman Üniversitesi, Türkiye
kilinceker@mu.edu.tr

⁴ Bilgisayar Mühendisliği Bölümü
İzmir Yüksek Teknoloji Enstitüsü, Türkiye
belli@upb.de

⁵ Department of Computer Science
University of Antwerp and Flanders Make, Belgium
moharram.challenger@uantwerpen.be

Özet

Model tabanlı Grafiksel Kullanıcı Arayüzü (GUI) testi, yazılım UI testi içerisinde önemli bir yer tutmaktadır. Manuel test, zaman alıcı bir işler ve büyük ölçüde hataya açıktır. Yazılım test topluluğunun uzun yıllardır üzerinde çalıştığı ve genel kullanımda olan birkaç test modeli vardır. Bu makale, model tabanlı GUI testinde kullanılan farklı modelleri incelemektedir. Test senaryoları oluşturmak ve bunları tek bir modelde birleştirmek amacıyla, kabul gören birkaç modelin Olay Sıra Çizgelerine (ESG) nasıl dönüştürüleceğine ilişkin bir yöntem önerilmiştir ve bunun kullanımını örnekleyen bir çalışma sunulmuştur. Ayrıca bu makalede diğer modellerden dönüşümle elde edilen ESG modelinden test senaryolarının üretilmesi ve çalıştırılması içeren bir yaklaşım sunulmuştur. Deneysel çalışmalar önerilen bu yaklaşımın etkin ve etkili olduğunu göstermiştir. Bu kapsamda ESG'den elde edilen 20 mutant için önerilen yaklaşım en yüksek mutasyon skorunu vermiştir. Ayrıca gerçek sistem için gerçekleştirilen deneysel çalışmalar, ESG modelinden elde edilen test kümelerinin daha kompakt ve hatalı çalışmada daha başarılı olduğunu göstermektedir.

Anahtar kelimeler: GUI Testi, Model-Tabanlı Test, Sonlu Otomatik Makinesi, Olay Sıra Çizgesi, Olay Akış Çizgesi, Zamanlı İfade

Abstract

Model-based Graphical User Interface (GUI) testing keeps its importance in software GUI testing. Manual testing is time-consuming and highly error prone. There are several test models in general use that the software testing community has been working on for many years. This article examines the different models used in model-based GUI testing. To create test cases and combine them into a single model, a method for how to convert several accepted models into Event Sequence Graphs (ESG) has been proposed, and a case study illustrating its use is presented. In addition, this article introduces an approach involving generating and running test sets over an ESG model obtained by the transformation from other models. Experimental studies have shown that this proposed approach is appropriate and effective. In this context, the application of the proposed approach enabled to receive the highest mutation score for 20 mutants obtained from the ESG. In addition, experimental studies for a real system show that the test sets obtained from the ESG model are more compact and more successful in detecting faults.

Keywords: GUI Testing, Model-Based Testing, Finite State Machine, Event Sequence Graph, Event Flow Graph, Regular Expression

1. Giriş

İrafiksel Kullanıcı Arayüzü (Graphical User Interface; GUI), web, mobil veya masaüstü tüm bilgisayar uygulamalarının nemli bir parçasıdır. Uygulamalar içerisinde dolaşabilmek ve uygulamanın bize sunduğu özelliklerini kullanabilmek için her türlü GUI elemanı ile etkileşime giriyoruz. GUI esas olarak azılımlar ile iletişim kurabilmemiz için bir arayüzdür. Kullanıcı, uygulamayla etkileşim kurmak için bir düğmeyi tıklayarak veya bir giriş alanına metin yazarak bir eylem gerçekleştirebilir. GUI Testi, GUI test eden kişiler tarafından arar verilen ön koşullara dayalı olarak GUI elemanlarının davranışlarını ve durumlarını kontrol etme ve doğrulama işlemidir [1]. Mevcut yazılım ekosisteminde, GUI elemanlarının arkasındaki iş mantığını doğrulamak büyük önem sahiptir. Her ne kadar GUI testi bir uygulama için önem arz etse de uygulamada az sayıda GUI öğesi olsa bile test edilmesi gereken çok sayıda olası test senaryosu nedeniyle uygulama geliştiricileri tarafından genellikle ihmal edilir. Aynı ylem, programın durumuna bağlı olarak programı bir hata durumuna sokabilir. Bunu manuel olarak test etmek zordur ve uygulamaların içinde hatalar varken işletilmesine neden olur. Bu nedenle, bir uygulamanın GUI'sini düzgün bir şekilde test etmek ve doğrulamak, hataları ve kusurları ortaya çıkarabilir. Bu, temelde yatan iş mantığını (business logic) test etmek kadar önemlidir. Ayrıca, modern yazılım dünyasında, özellikle kıllı telefonlardaki mobil uygulamalar gibi tüketici hedefli uygulamalar için uygulamanın kullanılabilirliği ayırt edici bir aktördür [2]. GUI testi bu gibi alanlarda önemli yer almaktadır.

Model tabanlı test, yazılımda Kara Kutu Testi (Black-Box Testing) için popüler bir yöntemdir [12]. Sistem modelini daha yüksek bir soyutlama katmanında oluşturmak, bu modele dayalı olarak test senaryolarını oluşturmamıza olanak sağlar. Literatürde, Sonlu Durum Makinesi (Finite-State Machine; FSM) [3], Olay Akış Çizgesi (Event-Flow Graph; EFG) [7], Olay Sıra Çizgesi (Event Sequence Graph; ESG) [6][12] ve Düzenli İfade (Regular Expression; RE) [25][26] gibi farklı modeller mevcuttur. Model tabanlı test, test edilen sistemin System Under Test; SUT) modeline (soyutlamaya) dayalı test senaryoları oluşturmamıza ve ardından bu testleri, tanımlanmış bir test kâhinine (test oracle) göre çalıştırmamıza olanak tanır. Bu konu etrafında incelenen ve geliştirilen otomatik araçlar ve süreçler mevcuttur. Kod tabanlı yöntemlere göre model tabanlı yöntemleri kullanmak, bu testleri kodla yürütmekten daha verimli bir şekilde test dizileri oluşturmamıza ve çalıştırmamıza olanak sağlar.

Bu çalışmada, bütünsel bir test üretme süreci oluşturmak amacıyla diğer modelleri ESG modeline dönüştürmeyi içeren ve elde edilen birleşik modeli kullanarak model-bazlı test üretme işlemi sağlayan bir yöntem öneriyoruz. ESG modelinin, yararlanmak istediğimiz diğer modellere göre esneklik, genellik ve ölçeklenebilirlik gibi çeşitli avantajları vardır. Bu yöntem ile test dizileri otomatik olarak oluşturulur ve model tabanlı test oluşturma ve çalıştırma süreçlerini birleştirmek için bunlar ESG modelinde yürütülür. Mevcut modelleri ESG'ye dönüştürmenin ana nedeni, farklı modellerin ortak uca model tabanlı testlerini uygulamak için farklı süreçlere ve uygulamalara ihtiyaç duymasıdır. Çalışmamızla, bu çabaları, test dizilerini oluşturmak ve çalıştırmak için verimli olan tek bir modelde birleştirmeyi amaçladık.

Deneyimlerimize ve literatür incelemesinden elde ettiğimiz sonuçlara dayanarak, test oluşturma ve çalıştırma adımları için ESG modelini kullanmaya karar verdik. Önerdiğimiz yöntemin kullanımını örneklemek için ayrıca bir durum çalışması da yine bu makalede yer almaktadır. Çalışmamızda ESG modelinin diğer modellere göre avantajları ortaya konulmuş ve elde edilen sonuçlar değerlendirilmiştir.

Bu makale, daha önceki konferans bildirimimizin [31] genişletilmiş bir versiyonudur. [31]'de tanıtılan çalışma bu yeni çalışmada önerdiğimiz yöntemin öncül bir tasarımını sunmuştur. Bu makalede ise daha önce verilen bu tasarım genişletilmiş ve örnek bir sistem üzerinde uygulanmıştır. Yeni çalışmanın öncekini nasıl genişlettiği ve iyileştirdiği aşağıdaki maddelerde listelenmektedir:

- Kullanılan modellerin formel tanımlarına bağlı olarak, bu modellerden ESG modeline dönüşüm algoritmaları ve karmaşıklık analizleri verilmiştir.
- Verilen dönüşüm algoritmaları kullanılarak çalışmada adı geçen diğer modellerin ESG'ye dönüşüm işlemleri ve bunların örneklendirilmesi yerine getirilmiştir.
- Önerilen yöntem kapsamında gereken test kümesi üretim ve test koşumu aşamaları detaylandırılmıştır ve uygulamaları örnek çalışma üzerinde gösterilerek sonuçları verilmiştir.

Makalenin geri kalanı şu şekilde düzenlenmiştir: Bölüm 2 ilgili çalışmaları anlatmaktadır. Bölüm 3 önerilen yeni yöntemi tanıtmaktadır. Bölüm 4 uygulama sonuçlarını ve mevcut çalışmanın geçerliliğine yönelik olası tehditleri aktarmaktadır. Son olarak, Bölüm 5'te sonuç ve geleceğe yönelik çalışmalar verilmiştir.

2. İlgili Çalışmalar

Bu bölüm, GUI testinde halihazırda var olan modellerle ilgili çalışmaları tanıtmaktadır.

Memon vd. [14] GUI'lerin kapsam kriterlerine odaklanır ve test edilecek önemli test dizilerini belirlemek ve GUI'yi bir hiyerarşide yapılandırmak için GUI bileşeni (component) terimini tanımlar. Bir GUI bileşeninde bulunan GUI elemanları arasındaki etkileşimi tanımlayan EFG'yi kullanarak GUI bileşenini temsil eder ve açıklar.

Memon [15], GUI tabanlı yazılım uygulamalarını test etmek için geleneksel yazılım tekniklerinin ve araçlarının neden GUI testi için uygun olmadığını açıklamaktadır. Ona göre GUI'ler soyutlama seviyeleri açısından uygulama kodlarından farklıdır. GUI testi sürecini ve GUI testini yapanların bu sürece nasıl yaklaşması gerektiğini anlatır. Makalede verilen örnekler yazım zamanı olan 2002'yi yansıtırsa da karşılaşılabilecek zorluklar ve süreç günümüzde hala kabul edilir ve uygulanabilir durumdadır.

Belli [6], "bütünsel" (holistic) yaklaşım dediği yeni bir yaklaşımı önermektedir. Bu yaklaşımda, girdiler ve gerçekleştirilen eylemler hatalı olsa bile uygulamanın hata vermeden çalışması gerektiğini göstermek için sistemlerin sadece doğru girdilerle test edilmemesi, bu hatalı girdi ve eylemleri içeren test dizileri ile de test edilmesi gerektiğinden bahsetmiştir. Bu yöntemle, uygulama davranışı açısından

ksiksiz bir test kapsamına sahip olacağıımızdan ahsetmektedir.

ehady ve Siewiorek [3], sistem tasarımını FSM ile eşdeğer atarken, bir GUI için FSM'den daha az duruma sahip eğişken Sonlu Durum Makinesi (VFMS) adlı yeni bir model unar. VFMS, test senaryoları oluşturmak için herhangi bir amanda buna karşılık gelen bir FSM'e dönüştürülebilir. ıtoplam durum sayısı daha az olduğu için, bir sistemi VFMS le modellemek FSM'den daha kolaydır ve bunun daha kısa ürede yapılacağıından bahsetmişlerdir. White ve Almezen [5], istem üzerinde gözlemlenebilir bir etki ile sonuçlanan bir eya daha fazla GUI nesnesini içeren bir etkinliği temsil eden e sorumluluk (responsibility) adı verilen bir kavramı ullanırlar. Bu tanımlanmış sorumluluk için, bu sorumluluğu ağırabilen tüm eylemlerin ve GUI nesnelere bir birleşimi lan Tam Etkileşim Dizilerini (Complete Interaction equences; CIS) oluştururlar.

emon vd. [7], EFG modelinden otomatik test üretimi için apay zekâ tabanlı bir planlama algoritması olan yeni bir knik sunar. Tanımlanan operatörlere bağlı olarak, planlama lgoritmasını EFG modelinde uygulamak için ilk ve son dimlar oluşturulur. Algoritma, GUI olaylarını ve tkileşimlerini dikkate alarak ilk ve son durumlar arasında test izileri oluşturur.

emon [8], olay alanı keşif stratejilerini kullanarak modele ayalı test için yeni bir yöntem sunar. Model tabanlı test için im modelleri olay akışı modeli adı verilen ölçeklenebilir tek ir modelde birleştirir. Model oluşturma adımlarının aliyetini ve çabasını azaltmak için prosedürü tomatikleştirir.

ie ve Memon [9], EIG ve EFG üzerindeki önceki alışmalarını kullanarak GUI modelinde hatayı göstermek için ereken en kısa olay dizileri olan ve Minimal Etkili Olay ağılamı (Minimal Effective Event Context; MEEC) adı

verilen yeni bir kavram tanımlamışlardır. Bir GUI sisteminde, bir olaya verilen yanıt, bir sistemin mevcut durumuna bağlı olarak ertelenebileceğinden hatayı tespit etmek için test dizisini gereksiz yere uzun hale getirecek bir olay kombinasyonu üzerinden geçilebilir. Bunun yerine MEEC, arızayı tespit etmek için en kısa yolu gösterir.

Huang vd. [10], testin erken sonlandırılması gibi olasılıklar nedeniyle GUI testi için yararsız olan GUI test dizilerini onarmayı amaçlayan bir yöntem geliştirirler. Bu sorunlu test serilerini düzeltmek ve kapsamı artırmak için genetik bir algoritma kullanırlar.

Belli vd. [11], GUI'lerin doğruluğu hakkında deneysel bir anlayış elde etmek için GUI'lerin güvenilirliği ve insan-makine sistemlerinde bir GUI'nin güvenilirlik modelinin seçimi hakkında bir vaka çalışması sunar. GUI testi için uygun bir modelleme tekniğinin seçilmesinin değerlendirme sürecinin ve dolayısıyla yazılımın kalitesini etkilediğini belirtmişlerdir.

Banerjee vd. [1] GUI test çalışmaları hakkında anket yapıp ilgili belgeleri sistematik bir haritalama tekniği ile eşleştirmişlerdir. GUI testi hakkında 1991 ve 2011 arasında yazılan 230 makale havuzundan çalışmalar için seçim kriterlerini belirlemişlerdir. Çalışmaları sınıflandırıp daha fazla çalışma ve araştırma gerektiren mevcut yaklaşımlara ve alanlara genel bir bakış sağlamışlardır. Ayrıca, model tabanlı GUI testi için geleneksel ve modern tekniklerden örnekler sunmuşlardır.

Belli vd. [12] modelleme ve test senaryosu oluşturma tekniklerini dikkate alarak model tabanlı GUI testine ilişkin mevcut çalışmaları ayrıntılı olarak gözden geçirmişlerdir. Bu modellerin ve kullanımlarının gerçek dünyadan örneklerini verirken bu tekniklerin optimizasyonunu incelemişlerdir.

Tablo 1: GUI Testi için Kullanılan Modellerin Avantajları ve Dezavantajları

Model	Avantajları	Dezavantajları
ESG [6]	+Basit bir modelleme mekanizması sunar +Ölçeklenebilirlik sorununa uygun bir çözüm önerir +Test oluşturma için basit ve doğru bir yol sağlar	-ESG modeli, içindeki düğümlerde (node) GUI olaylarını tutması nedeniyle FSM gibi diğer bilinen modellerle karşılaştırıldığında bağlam bilgisi gerektirir.
EFG [14]	+Daha yüksek ifade gücü sayesinde farklı GUI bileşenleri için çeşitli yollarda modellemeleri kolaylaştırır. +Test üretimi için uygulanabilir bir çözüm sunar	-Ölçeklenebilirlik sorunu ile baş edemez -EFG modeli, içindeki düğümlerde GUI olaylarını tutması nedeniyle FSM gibi diğer bilinen modellerle karşılaştırıldığında bağlam bilgisi gerektirir
FSM [3]	+Basit bir modelleme mekanizması sunar	-Ölçeklenebilirlik sorununa çözüm getirmez -Test üretimi için karmaşık bir formalizasyon gerektirir
VFMS [3]	+Ölçeklenebilirlik sorununa uygun bir çözüm önerir	-FSM'den dönüşüm nedeniyle ek maliyete neden olur -Test üretimi için karmaşık bir çözüm gerektirir
RE [22]	+Modelleme için kompakt bir çözüm sunar ve test üretimini basitleştirir	-Ölçeklenebilirliği yönetmez -FSM'den dönüşüm nedeniyle ek maliyete neden olur

elli vd. [13], test edilen sistemin çok büyük olması durumunda katmanlı merkezli test yöntemini ve ilgili test oluşturma sistemini önererek test senaryolarının sayısını ve aliyetini azaltan bir çalışma gerçekleştirmiştir. Bu metodolojiyi kullanarak, az sayıda test senaryosunda bile birçok hatalı durumun bulunabileceğini göstermiştir.

Kılınççeker vd. [22], GUI'yi modellemek ve test etmek için düzenli ifadeyi tanımlayan aynı çalışmada kullanmışlardır. Ayrıca düzenli ifadeden rastgele test dizileri oluşturmuşlardır ve rastgele test üretme algoritmalarını bir vaka çalışması üzerinde değerlendirmişlerdir.

Mercan vd. [23], bir mobil uygulamanın GUI'sini modellemek ve test etmek için sonlu durum makinesini sunmuştur. Ayrıca,

onlu durum makine modeline göre hataların varlığını ve okluğunu test etmek için bir metodoloji önermiştir.

ilinceker ve Belli [24], düzenli ifadeye dayalı bir analiz acılığıyla GUI testi için dört yeni kapsam kriterini nermektedir. Normal ifadelerin analizinden sonra, kapsam riterlerini sundukları bağlamsal tablolar elde ederler. Bu apsam kriterleri, mutasyon testine dayalı kalite eğerlendirmesi dahil olmak üzere test oluşturma ve test için '6]'da kullanılmıştır.

ilinceker ve Belli [27], [43], hem donanım tasarımı hem de azılım GUI testi için birleşik bir modelleme yöntemi nmaktadır. Ayrıca, mutasyon testiyle birleştirilmiş bütünsel ir test yöntemi kullanırlar. Modelleme ve test yöntemlerini onanım tasarımı ve yazılım GUI alanından aldıkları iki örnek lay incelemesinde değerlendirirler.

ilinceker vd. [33], GUI tabanlı sistemler için model-tabanlı utasyon testini kullanan ve model-tabanlı ideal test olarak ılandırılan bir yöntem öne sürmüşlerdir. Öne sürülen bu aklaşım mutasyon testi ve Belli [6] tarafından ortaya atılan ütünsel testi (holistic testing) birleştirerek elde edilen öntemin ideal test olmak için gereken güvenilirlik ve eterlilik kriterlerini sağladığını iddia etmektedirler. Çalışma apsamında öne sürülen yöntemin bu kriterleri sağladığını erek teorik gerekse deneysel çalışmalar ile göstermişlerdir. ırıca öne sürülen yöntem, farklı yöntemler ile ıyaslanmıştır. Ancak kullanılan bazı adımlar halen elle erçekleştirildiği için bu adımların otomatik hale getirilmesi eriki çalışmalar olarak ifade edilmiştir. Kilinceker vd. [35] ırıca benzer yaklaşımın gömülü sistemlerin fonksiyonel :stleri için de geçerli olduğunu göstermişlerdir.

levcut çalışmalardan farklı olarak, Vos vd. [39], GUI :stlerinin test betikleri olmadan yine otomatik olarak erçekleştirilebildiğini göstermiştir. Bunun için TESTAR imli bir araç geliştirilmiştir ve bu araç GUI tabanlı olayları otomatik olarak tespit edebilmekte, ardından bu olayları yine otomatik olarak mevcut GUI üzerinde koşabilmektedir. hahim vd. [40], TESTAR aracını endüstriyel seviyede test mişlerdir.

'aldes vd. [38], GUI tabanlı sistemlerin otomatik testlerine önelik 30 yıllık çalışmaları özetleyen kapsamlı bir literatür alizini ortaya koymuşlardır. Arzu eden okuyucular, bu konu akkında detaylı bilgileri, var olan yöntemleri ve mevcut roblemleri bu çalışmayı okuyarak elde edebilirler.

ablo 1 yukarıda değinilen ve şu anda GUI testinde kullanılan odellerin avantaj ve dezavantajlarını özetlemektedir. ınerdiğimiz yeni yöntem, mevcut çalışmalardan farklı olarak SG modelini avantajlarından dolayı diğer modellerden öntüştürülebilir hale getirerek tekil bir modelleme imkânı nmaktadır. Böylece diğer modeller ile ifade edilen sistemler ne sürülen yaklaşım ile tekil ESG modeli kullanarak test ılebilir olmaktadır.

3. Önerilen Yöntem

ınerilen yöntem, sistemin modelini temsil etmek için JSON eya XML gibi açık standart dosya formatlarının herhangi irinde bir ESG modeli oluşturma bir yolunu sağlar. ESG odeli FSM, Hiyerarşik FSM (Hierarchical Finite State

Machine; HFSM), RE ve EFG'den dönüştürülebilir. Bunların tümü, bir GUI sistemini modellememize izin veren literatürdeki modellerdir. Örneğin, bu bir web sitesinde bir kayıt formu veya bir mobil uygulamada kullanıcı etkileşimlerini kabul eden bir ekran olabilir.

3.1. Kullanılan Modeller ve Dönüşümler

Kullanılan kavramlar bu bölümde resmi (formel) olarak tanımlanmıştır. Bu kavramlar FSM, HFSM, RE ve EFG'dir. Her resmi gösterim için, karşılık gelen modelleri içeren örnek bir GUI sistemi göstereceğiz. Örnek sistem, ISELTA [21] web sitesinin "Special" adı verilen modülünün basitleştirilmiş bir sürümüdür (Şekil 1). ISELTA, otel sağlayıcıları için bir çevrimiçi rezervasyon sistemidir ve buradaki "Special" modülü, yolculuk eklemek için bir formdur. ISELTA uygulaması bölüm 3.4 kapsamında daha detaylı olarak açıklanacaktır. Ayrıca ISELTA uygulamasının gerçek versiyonu yine bölüm 3.4 kapsamında, test koşumu için kullanılacaktır.

3.1.1. FSM

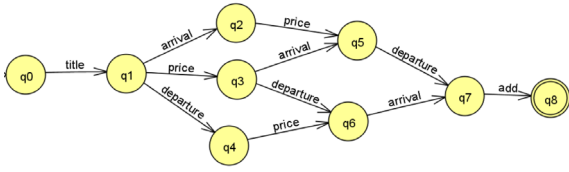
Tanım 1: Aşağıda verilen 5'li küme $\langle Q, \Sigma, \delta, q_0, F \rangle$ bir FSM [20] tanımlar

- Q : sonlu bir durum kümesi
- Σ : sonlu bir girdi sembol kümesi (alfabe)
- δ : durum geçiş fonksiyonu
- q_0 : Q kümesine ait olan başlangıç durumu
- F : Q kümesine ait olan bitiş durumlarının kümesi

Şekil 1: ISELTA Web sitesi "Special" modülü

Örnek 1: Aşağıda verilen 5'li küme ISELTA "Special" modülü için bir FSM tanımlar (bakınız Şekil 2). Burada "t", "d", "p", "a", ve "s" sembolleri sırasıyla (set title, set departure, set price, set arrival, add button) eylemlerini temsil eder. Gerçek sistemde "name" olarak verilen olay, model üzerinde "title" olarak ifade edilmiştir.

- $Q = \{q_0, q_1, q_2, q_3, q_4, q_5, q_6, q_7, q_8\}$
- $\Sigma = \{t, a, p, d, s\}$
- $\delta = \{\delta(q_0, t)=q_2, \delta(q_2, a)=q_7, \delta(q_2, p)=q_3, \delta(q_2, d)=q_8, \delta(q_7, p)=q_4, \delta(q_3, a)=q_4, \delta(q_3, d)=q_5, \delta(q_8, p)=q_5, \delta(q_4, d)=q_6, \delta(q_5, a)=q_6, \delta(q_6, s)=q_1\}$
- $q_0 = \{q_0\}$
- $F = \{q_1\}$



Şekil 2: ISELTA "Special" modülü FSM'i

2. HFSM

tanım 2: Aşağıda verilen 6'lı küme $\langle Q, \Sigma, \delta, q_0, F, L \rangle$ bir SM [7] tanımlar.

- Q: sonlu bir durum kümesi
- Σ : sonlu bir girdi sembol kümesi (alfabe)
- δ : durum geçiş fonksiyonu
- q_0 : Q kümesine ait olan başlangıç durumu
- F: Q kümesine ait olan bitiş durumlarının kümesi
- L: sonlu bir katman kümesi

nek 2: Aşağıda verilen 6'lı küme ISELTA "Special" modülü için bir HFSM tanımlar

- Q: = {q0, q1, q2, q3, q4, q5, q6, q7, q8}
- Σ : = {t, a, p, d, s}
- δ : = { $\delta(q_0, t)=q_2$, $\delta(q_2, a)=q_7$, $\delta(q_2, p)=q_3$, $\delta(q_2, d)=q_8$, $\delta(q_7, p)=q_4$, $\delta(q_3, a)=q_4$, $\delta(q_3, d)=q_5$, $\delta(q_8, p)=q_5$, $\delta(q_4, d)=q_6$, $\delta(q_5, a)=q_6$, $\delta(q_6, s)=q_1$ }
- q_0 : = {q0}
- F: = {q1}
- L: = { \emptyset }

3. ESG

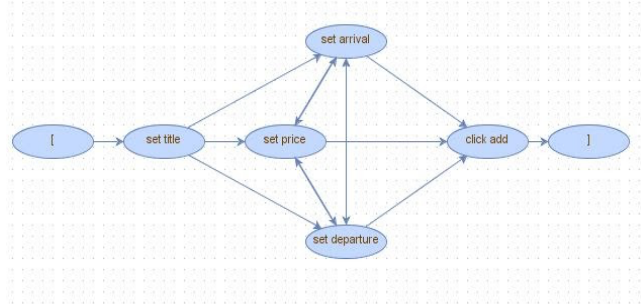
tanım 3: Aşağıda verilen 4'lü küme $\langle E, A, S, F \rangle$ bir ESG [14] tanımlar

- E: eylemleri temsil eden sonlu bir düğüm kümesi
- A: $A \subseteq N \times N$ olaylar arasındaki ilişkiyi temsil eden yönlendirilmiş sonlu bir ark kümesi
- S: başlangıç eylemini temsil eden boş olmayan eylemler kümesi
- F: bitiş eylemini temsil eden boş olmayan eylemler kümesi

nek 3: Aşağıda verilen 4'lü küme ISELTA "Special" modülü için bir ESG tanımlar (bakınız Şekil 3).

- E: = {[, set title, set arrival, set price, set departure, click add,]}
- A: = {[([, set title), (set title, set arrival), (set title, set price), (set title, set departure), (set arrival, set price), (set arrival, set departure), (set arrival, click add), (set price, set arrival), (set price, set departure), (set price, click add), (set departure, set arrival), (set departure, set price), (set departure, click add), (click add,)]}

- S: = { \emptyset }
- F: = { \emptyset }



Şekil 3: ISELTA "Special" modülü ESG'si

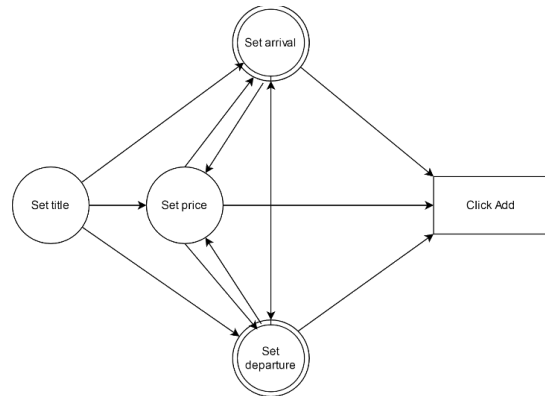
3.1.4. EFG

tanım 4: Aşağıda verilen 4'lü küme $\langle V, E, B, I \rangle$ bir EFG [14] tanımlar

- V: tüm eylemleri temsil eden bir tepeler kümesi
- E: tepeler arasındaki yönlü ayrıtların bir kümesi
- B: modellenmiş GUI'nin başlangıcında mevcut olan bir tepeler kümesi
- I: bir GUI bileşeni için yasak olan (gerçekleşmesi mümkün olmayan) eylemler kümesi

Örnek 4: Aşağıda verilen 4'lü küme ISELTA "Special" modülü için bir EFG tanımlar (bakınız Şekil 4).

- V: = {set title, set arrival, set price, set departure, click add}
- E: = {[([set title, set arrival), (set title, set price), (set title, set departure), (set arrival, set price), (set arrival, set departure), (set arrival, click add), (set price, set arrival), (set price, set departure), (set price, click add), (set departure, set arrival), (set departure, set price), (set departure, click add)]}
- B: = {set title, set arrival, set price, set departure}
- I: = { \emptyset }



Şekil 4: ISELTA "Special" modülü EFG'si

1.5. RE

anım 5: Kurallar aracılığıyla bir RE, x, y, z, ... sembollerinin rası ile tanımlanır. Semboller, RE'yi tanımlayan aşağıdaki urallarla ilgili olarak sıfır veya daha fazla kez oluşabilir.

- Birleştirme: "." veya "" (boş) ile gösterilir. Örneğin, "ab", "a" anlamına gelir ve ardından "b" gelir
- Seçim: "+" ile temsil edilir. Örneğin, x + y, "x veya y" anlamına gelir.

örnek 5: Aşağıda verilen örnek ISELTA "Special" modülü in bir düzenli ifade tanımlar.

R: =(tdpas+tapds+(tpda+tpad)s)

2. Model Dönüşümleri

ölüm 3.1'de verilen formel modeller arası dönüşümlerin asıl sağlanacağı bu bölümde anlatılmaktadır. Önerdiğimiz öntemde kullanılan asıl model ESG'dir. Bu yüzden diğer idellerden ESG modeline dönüşümler için gerekli lgoritmaların sözde kodları devam eden alt bölümlerde österilmektedir. HFSM'den ESG'ye dönüşüm kodu erilmemektedir. Bunun nedeni bu dönüşümün benzerinin SM'den ESG'ye dönüşüm ile kolaylıkla yapılabilmesidir.

2.1. FSM'den ESG'ye Dönüşüm

u dönüşüm için gerekli sözde kod Şekil 5'te verilmiştir. Bu zde kod girdi (FSM) ve çıktı (ESG) satırları ile başlar. rdından bir döngü ile Lambda fonksiyonu bileşenleri erisinde gezinilmektedir (bakınız satır 3). Bu döngünün ileşenleri Lambda'yı oluşturan alt fonksiyonlardır (f_i). öngü içerisinde FSM'de tanımlanan her bir "t_i" bileşeni SG'nin tepe değerleri kümesi olan "E" içerisine alınır (satır -5). Yine bir döngü sayesinde FSM'in Lambda fonksiyonu ullanılarak FSM durumlar arası komşuluk ilişkisi ile ESG'ye it "A" kümesi (tepeler arası komşuluk) tanımlanır (satır 6-9). on olarak FSM'e ait başlangıç ve bitiş ayrıtları kullanılarak SG'ye ait başlangıç ve bitiş tepesi belirlenir (satır 10-15).

```

1 Girdi: FSM <Q, Sigma, Lambda, q0, F>
2 Çıktı: ESG <E, A, S, F>
3 for each function f_i in Lambda(f(sc, t)=sn)
4   sc_yeni = t_i
5   E = E union (sc_yeni)
6   for each function f_j in Lambda(f(sc, t)=sn)
7     if (sn_i neighbor with sn_j)
8       A = A union (sn_yeni, t_j)
9   end for
10  if (sn_i belongs to F)
11    A = A union (sn_i, "]"")
12    F = "]"")
13  if (sn_i belongs == q0)
14    A = A union (sn_i, "["")
15    S = "["")
16 end for

```

Şekil 5: FSM'den ESG'ye Dönüşüm Sözde Kodu

SM'den ESG'ye dönüşüm için gereken sözde kodun zaman arması Lambda fonksiyonu bileşenlerine (n bileşen için) ağıl olarak ikinci derecedendir (quadratic time) ($O(n^2)$).

2.2. EFG'den ESG'ye Dönüşüm

ekil 6, bu dönüşüm için gereken sözde kodu göstermektedir. özde kodda ilk olarak, EFG girdi değeri, ESG çıktı değeri larak tanımlanır (satır 1-2). Ardından bir döngü ile EFG'ye it tepeler arası ilişkiyi tanımlayan "E_efg" ikililerinin

bileşenleri içerisinde gezinilir (satır 3-14). Bu döngü içerisinde elde edilen bileşenler ESG'ye ait bileşenler kümesini (A) tanımlar. Ardından yine bir döngü ile EFG'ye ait tepe değerleri içinde gezinilir (satır 5-11). Bu döngü sayesinde ESG'ye ait tepe kümesi olan "E_esg" elde edilir (satır 6). Ayrıca yine aynı döngü içerisinde, ESG'ye ait başlangıç ve bitiş tepeleri için ilgili bileşenler belirlenir ve bunlar bileşenler kümesi "A"ya eklenir (satır 7-10). Son olarak ESG'ye ait başlangıç ve bitiş tepeleri oluşturulur (satır 12-13).

```

1 Girdi: EFG <V, E_efg, B, I>
2 Çıktı: ESG <E_esg, A, S, F>
3 for each element i of E_efg(current, next)
4   A = A union (i)
5   for each element j of V
6     E_esg = E_esg union (j)
7     if (j is final event)
8       A = A union (j, "]"")
9     if (j belongs to B)
10      A = A union ("["", j)
11   end for
12   F = "]"")
13   S = "["")
14 end for

```

Şekil 6: EFG'den ESG'ye Dönüşüm Sözde Kodu

EFG'den ESG'ye dönüşüm için kullanılan sözde kodun zaman karmaşası EFG tepe ilişkileri bileşenleri ve yine EFG tepe kümesi "V" eleman sayısına (n eleman için) bağlı olarak ikinci derecedendir ($O(n^2)$).

3.2.3. RE'den ESG'ye Dönüşüm

Bu dönüşüm için gereken sözde kod Şekil 7'de verilmiştir. Dönüşüm girdi "RE" ve çıktı "ESG" modeli tanımlamaları ile başlar (satır 1-2). Ardından gereken işlemler 3 adımda ifade edilmektedir. İlk adım RE modelinden kararlı olmayan sonlu durum makinesi (NFA: Non-deterministic Finite Automata) elde edilmesidir. Bu dönüşüm için gerekli adımlar Brüggemann-Klein tarafından [28]'de tanımlanmıştır. Bu dönüşüm yöntemi, Otomata Teorisi'ne (Automata Theory) dayanmaktadır. İlk adım için gereken dönüşüm çıktı olarak bir NFA üretmektedir. Elde edilen NFA'nın kararlı sonlu durum makinesine (DFA: Deterministic Finite Automata) dönüşümü sözde kodda ikinci adımda verilmektedir. Okuyucu, bu dönüşüm için detaylı bilgilere [28]'den ulaşabilir. Sonuç olarak elde edilen DFA modelinin ESG modeline dönüşümü 3. adımda verilmektedir. Bu dönüşüm Şekil 5'te verilen FSM'den ESG'ye dönüşüm sözde kodu ile çok benzerdir.

```

1 Girdi: RE
2 Çıktı: ESG <E, A, S, F>
3 Adım1: RE'den kararlı olmayan sonlu
4   durum makinesine (NFA) dönüşüm
5 Adım2: NFA'dan kararlı sonlu
6   durum makinesine (DFA) dönüşüm
7 Adım3: DFA'dan ESG'ye dönüşüm

```

Şekil 7: RE'den ESG'ye Dönüşüm Sözde Kodu

Burada verilen adım 1 için gerekli algoritmanın zaman karmaşası dönüşümlerde kullanılan bileşenlere (n bileşen için) bağlı olarak lineerdendir ($O(n)$). Adım 2, genellikle geçerli tipik durumlar için ($O(n^3)$) ve adım 3 ise lineer zamanda gerçekleştirilebilmektedir. Bunun yanında adım 2, en kötü durumda $O(2^n)$ zamanda gerçekleşmektedir. Böylece

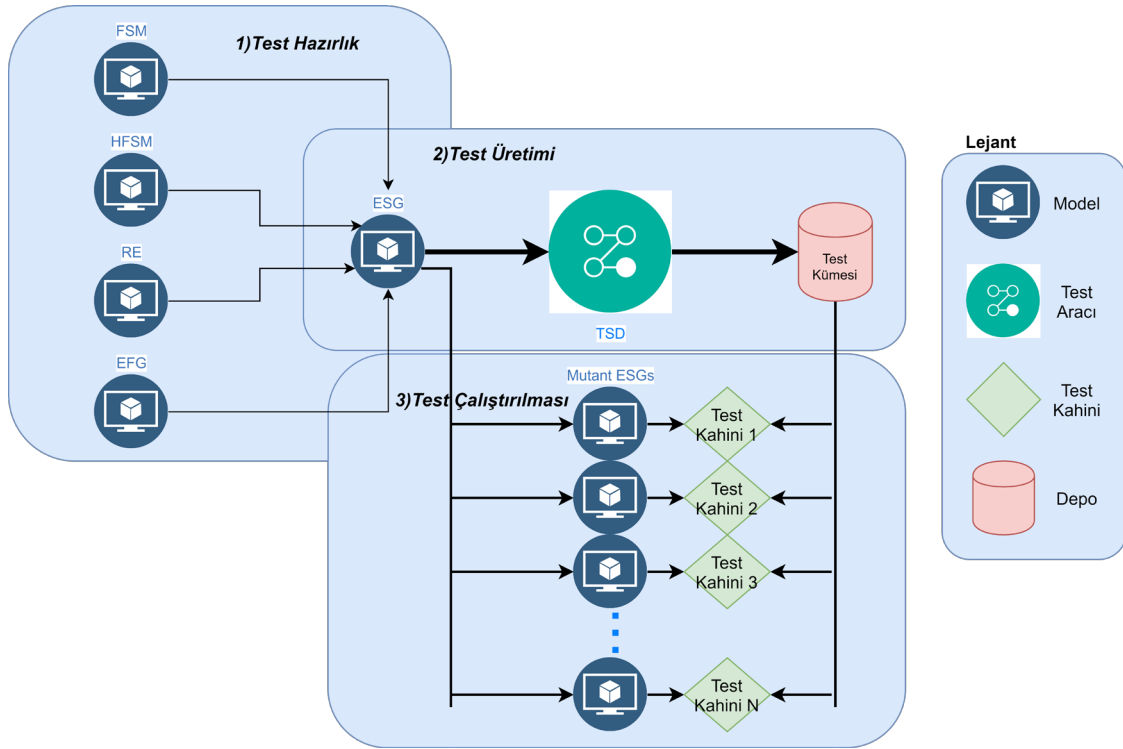
IE'den ESG'ye dönüşüm için verilen sözde kodun genel tipik durumlar için zaman karmaşası yine üçüncü derecedendir ($O(n) + O(n^3) + O(n) \Rightarrow O(n^3)$). Zaman karmaşıklığı detayları için arzu eden okuyucular [41] çalışması, sayfa 165'i inceleyebilirler.

3. Yöntemin Uygulama Adımları ve Örnek Çalışma

Mevcut çalışma, test ettiğimiz sistemin fonksiyonel hatalarını tespit etmeyi amaçlamaktadır. Bu doğrultuda, önerilen yöntem, test hazırlama, test oluşturma ve test yürütme olmak üzere üç adıma bölünür (bakınız Şekil 8). Önerilen yöntemin bir uygulaması ISELTA web sitesi "Special" modülü üzerinde

gerçekleştirilmiştir. Mevcut uygulama adımları çalışma sırasında dışardan müdahaleye gereksinim duymaktadır. Ancak komple bir model tabanlı test otomasyon aracı elde etmek için bu üç adım ileride tamamen otomatikleştirilebilir.

ESG modelinden test dizileri oluşturduktan sonra, sistemi test etmek için model tabanlı test yönteminin modele nasıl uygulanacağını göstereceğiz. Sonuçları göstermek için yaklaşımımızın örnek olay incelemesinde ISELTA web sitesinin formlarını kullanıyoruz (bakınız Şekil 1).



Şekil 8: Önerilen Yöntemin Genel Görünümü

3.1. Test Hazırlık

Bölüm 3.2'de ifade edildiği gibi test hazırlık aşamasında FSM, HFSM, RE ve EFG modelleri basitlik, genellik ve ölçeklenebilirlik avantajları nedeniyle ESG modeline dönüştürülür. Dönüşümler için gerekli algoritmalar daha önce Bölüm 3.2'de verilmişti. Görsel olarak ISELTA web sitesinin "Special" formunun diğer modelleri de Bölüm 3.2'deki şekillerde dönüşüm tanımları ve örnekleri aşamasında verilmiştir. Test hazırlık aşamasında diğer modellerden dönüşüm yapılacağı gibi ayrıca kullanıcılar sistemlerini ESG'de modelleyip doğrudan yönteme de aktarabilirler.

ESG modellerinin mutantları, üzerine ekleme (insertion), değiştirme (replacement) ve çıkarma (omission) mutasyon peratörlerinin uygulanacağı orijinal ESG'den elde edilmiştir. Bu kapsamda Şekil 3'te verilen ESG modeline bu mutasyon peratörleri uygulanmış ve toplam 20 mutant elde edilmiştir. Bu mutantlar ESG'de verilen olaylar arası ilişkilerden

kaynaklanabilecek fonksiyonel hataları modellemektedir. Bunlardan 2 tanesi ekleme, 9 tanesi değiştirme ve 9 tanesi çıkarma mutantıdır. Değiştirme ve çıkarma mutantları ESG modelinin olası tüm ayrıtlarına uygulanarak elde edilmiştir. Ekleme mutantları elde edilirken oluşan mutantların tamamının hatasız ESG modeline denk modeller ürettiği sonucuna varılmıştır. Bu yüzden deneysel olarak sadece 2 tane ekleme mutantı elde edilmiştir.

3.1.2. Test Kümesi Üretimi

Test oluşturma aşamasında, "graph traversal" algoritması kullanılarak ESG modelinden geçerli bir test dizisi seti içeren bir test grubu oluşturulur. Test Kümesi Üretimi işlemini otomatik olarak gerçekleştirmek için Padeborn Üniversitesi Uygulamalı Veri Teknolojisi bölümü tarafından geliştirilen ve Belli vd. [30]'da tanımlanan bir araç kullanılmıştır. Bu araç ESG modelini kullanmaya imkân vermektedir. Aracın kullanımı ile ilgili detaylı bilgilere [28]'den ulaşılabilir.

est üretim aracı diğer model-tabanlı test araçlarının aksine SG modelini kullanma sayesinde bir optimizasyon algoritması işleterek optimum test kümeleri üretimine olanak sağlamaktadır. Optimum test kümeleri üretimi için ESG'ye ait aşlangıç ve bitiş tepeleri arasında kalan tepeler arasında tüm tepeleri kapsayan, en kısa yolları bulan bir algoritma kullanılmaktadır. Bu sayede diğer model-tabanlı test araçlarından daha sıkı (compact) ve daha etkili test kümeleri retimi mümkün olmaktadır. Ayrıca bu araç sayesinde, çeklenebilirlik probleminin üstesinden gelmek için katmanlı SG yapısı kurmak ve bu katmanlı yapıdan otomatik olarak sıkı ve etkili test kümesi elde etmek mümkündür.

u aşamada kullanılan programların girdileri, bir önceki şamada çıkan sonuçların elle programa verilmesi ile ağılanmaktadır. Yöntem kapsamında test üretim aracı ile modeller arası dönüşüm işlemlerini gerçekleştiren araç rasında entegrasyon sağlanacak ve böylece diğer modellerden otomatik olarak dönüşüm yapılarak yine otomatik olarak test ümesi elde edilen bir araç geliştirilecektir.

```
[,set title,set price,set arrival,set departure,
set arrival,set price,set departure,set price,click add,],
[,set title,set arrival,click add,],
[,set title,set departure,click add,],
```

Şekil 9: Test Kümesi

örnek çalışma olarak verilen “Special” modülüne ait ESG'den otomatik olarak elde edilen test kümesi Şekil 9'da görülmektedir.

4. Testlerin Çalıştırılması

4.1. Model Test Koşumu

alışmamız ilk aşamada GUI sistemlerini model-tabanlı olarak test etmek üzerine kurgulanmıştır. Bu sebeple, ilk şamada test üretim aracının kullanılması sonucu elde edilen test kümeleri gerçek sistem üzerinde çalıştırılmak yerine yine modeller üzerinde çalıştırılır. Bu aşamada kullandığımız yöntem mutant bazlı model tabanlı test çalıştırma yöntemidir.

hatasız ESG modelinden elde edilen test kümeleri, toplam 20 mutant üzerinde çalıştırılır. Verilen mutant modellerde bu test kümelerini çalıştırma işlemi toplam 20 mutant için yaklaşık olarak 8 dakika gibi bir zaman almıştır. Test çalıştırma işlemi sırasında test kümesinde verilen her bir test durumu için ESG'ye ilgili olayın olduğu yere gidilmiştir. Örneğin; test ümesinde {[, set title, set price]} test sırası için mutant model zerinde sırası ile bu test durumları takip edilmiştir. Takip tme işlemi için mutant ESG'nin olaylar arası komşuluk ilişkisi kullanılmıştır. Örneğin; mutant ESG'de “set title” ve set price” olayları komşu değilse test “başarısız” (fail) veya u olaylar komşu ise test “başarılı” (success) olmaktadır. Olaylar arası komşuluk ilişkisi test çalıştırma işlemi için test âhini (test oracle) vazifesi görmektedir.

est çalıştırma işleminden elde edilen sonuçlar Tablo 2'de görülmektedir. Çalışma sonuçlarına göre “Ekleme” mutasyon peratörü haricinde tüm hatalar tespit edilmiştir. Hata apsama yüzdeleri “ekleme” operatörü haricinde yüzde 100 ve utasyon skorları 1'dir. Yani tüm mutantlar başarı ile tespit dilmiştir. “Ekleme” mutasyon operatörü ile elde edilen

mutantların yakalanamamasının sebebi bu mutantların hatasız ESG'ye denk olmasıdır. Toplam mutasyon skoru elde edilirken denk mutantların göz ardı edilmesi de gerektiğinden toplam mutasyon skoru 1'dir.

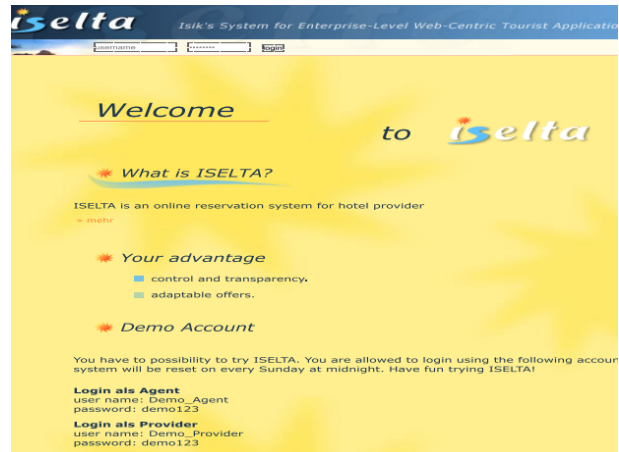
Tablo 2: Model Sistem Test Sonuçları

Mutasyon Operatörü	Mutant Sayısı	Tespit Edilen Hata Sayısı	Hata Kapsama (Yüzde (%))	Mutasyon Skoru
Ekleme	2	0*	0*	0
Çıkarma	8	8	100	1
Değiştirme	8	8	100	1
Toplam	20	16	80	1*

“Ekleme” operatörünün tek başına modele uygulanması sonucu elde edilen tüm mutantlar denk olmaktadır. Bunun sebebi bu operatörün tek başına bir modele uygulanmasının bu modelin hatasız halinde verilen yapısını değiştirmemesi ve sadece ekleme yapmasıdır. Bu yüzden daha sonraki çalışmalarımızda “ekleme” mutasyon operatörünün kullanılmaması düşünülmektedir.

3.4.2. Gerçek Sistem Test Koşumu

Gerçek sistem test koşulları çalışmamızın 2. aşamasıdır. Bu aşama için, “ISELTA” (bakınız Şekil 10) ismi verilen, Paderborn Üniversitesi ve Almanya merkezli ISIK turizm firması tarafından geliştirilen bir turizm web sitesi uygulaması seçilmiştir. Bu web uygulaması sayesinde turizm acentaları ve müşteriler daha kolay bir şekilde iletişim halinde olabilmektedir. Ayrıca acentalar, müşterilerine “Special” adı verilen modül sayesinde özel birtakım kampanyalar sunabilmekte ve müşteriler bu modül üzerinden sunulan kampanyalara rezervasyon yapabilmektedir. ISELTA uygulaması PHP programlama dilinde geliştirilmiştir ve yaklaşık olarak 70000 satır kod içermektedir. Okuyucular dilerlerse, Şekil 10'da verilen demo bilgilerini (kullanıcı adı: Demo_Agent, şifre: demo123 veya kullanıcı adı: Demo_Provider, şifre: demo123) kullanarak sisteme girebilir ve farklı roller için kayıtlar oluşturarak, bunlar için çeşitli durum çalışmaları yapabilirler.



Şekil 10: ISELTA web sitesi

SELTA web sitesi test koşulları için hazırlanan ilgili nateryaller (hatasız model, test kümeleri, test tasarımları ve kullanılan araçlar), [42]'de paylaşılmıştır. Dileyen okuyucular u sayfayı inceleyerek adımları kendi başlarına gerçekleştirebilirler.

Deneyisel çalışmalar kapsamında, ISELTA web sitesine ait toplam 12 adet hatayı gösteren mutant sistemler kullanılmıştır. Bu mutant sistemlerle ilgili bilgiler [33]'te bulunabilir. Bu hatalar literatürde, fonksiyonel hata olarak tanımlanan ve istemin arzu edilen sonuç olayına ulaşmasına ancak istenilen ıktıları üretememesine neden olan durumlardır.

İlde edilen sonuçlar Tablo 3'te verilmektedir. Deneyisel alıřmalar kapsamında ESG, FSM ve RE modelleri ve bunlara it mutasyon skoru, hata kapsama, test kümesi büyüklüğü, test retim zamanı ve test kořum zamanları kıyaslanmıřtır. FSM abanlı test üretimi için Graphwalker [34] isimli model-tabanlı est aracı kullanılmıřtır. RE modelinden test üretimi için [35] alıřması kapsamında geliřtirilen model-tabanlı test üretim racı kullanılmıřtır. Model büyüklükleri olarak ESG, 90 tepe e 133 ayrıt, FSM, 60 tepe ve 112 ayrıt, RE ise toplam 283 laydan oluřmaktadır.

Tablo 3: Gerçek Sistem Test Sonuçları

	ESG	FSM	RE
Model Büyüklüğü	90/133	60/112	283
Mutasyon Skoru	1	0.92	0.75
Hata Sayısı/Kapsama	12/12	12/11	12/9
Test Kümesi Büyüklüğü	240	767	228
Test Üretim Zamanı (milisaniye)	320	3870	263
Test Kořum Zamanı (saniye)	116	133	47

Tablo 3'te verilen bilgilere göre ESG modelinden üretilen test ümelerinin mutasyon skoru 1'dir ve tüm hatalar akalanmıřtır. Bunların içinde RE modelinden üretilen test ümeleri en düşük mutasyon skoruna ve hata yakalama abiliyetine sahiptir. Test kümesi büyüklüğü olarak ESG ile E birbirine yakın iken, FSM tabanlı Graphwalker ile erçekleřtirilen test kümesi 767 olaydan oluřmaktadır. Ayrıca est üretim zamanı olarak FSM diđerlerinin yaklaşık olarak 10 atıdır. Bunun sebebi Graphwalker aracının ilk çalışma anında eçen zamanın çok fazla olmasıdır. Test kořumları açısından E tabanlı model en düşük deęere sahiptir. Burada ortaya ıkan ilginç sonuç ESG ve FSM'in test kořum zamanlarının ok yakın olmasıdır. Bunun ana sebeplerinden birinin test ümelerinde hatalı olaya gelindiğinde ilgili test dizisinin levam ettirilme yerine o anda kesilmesi ve devamında gelen est dizisine geçilmesidir. Çünkü hatayı yakalayan test dizisi ın devamında gelen olayların bir önemi olmamaktadır.

İlde edilen sonuçlar kapsamında, ESG modeli ve buna baęlı est üretim algoritması [36], [37] diđer modellere göre gerek laha kompakt gerekse hata yakalama kabiliyeti olarak daha ařarlı test kümeleri üretimine olanak saęlamaktadır.

4. Tartıřma

4.1. Sonuçlar ve Çıkarımlar

Uçtan uca model tabanlı bir test oluřturulmuř, bir çalıřtırma yöntemi geliřtirilmiř ve bu yöntemi örnekleleyen bir çalıřma ile sonuçlar elde edilmiřtir. Diđer modellerden üretilen veya doęrudan sisteme verilen birleřik bir model (ESG) yaklaşımın ana girdisidir. Çalıřmada dönüşümleri mümkün kılacak algoritmalar Bölüm 3.2'de karmařıklık analizleri ve sözde kodlarıyla birlikte sunulmuřtur. Bununla beraber, bir test oluřturma yöntemi, ESG modeli kullanılarak incelenmiřtir. Test oluřturma yönteminden üretilen test grubunun kalitesi, mutasyon testinin kullanılmasıyla deęerlendirilmiřtir. Bu çabaların, yazılım mühendislięinin GUI testi alanında çalıřan daha geniř bir kitle için model tabanlı testi daha eriřilebilir hale getireceęini umuyoruz.

Yöntemimizin sonuçlarının kalitesine ve yazılım testi alanında çalıřmalar yapan insanların bu yöntemi benimsemesine baęlı olarak, daha önce bařka çalıřmalarda kullanılmıř mevcut sistem modelleri, bu modellerin verdięimiz yöntemler yardımıyla ESG'ye dönüşümü sayesinde kullanılabilir hale gelmiřtir. Böylece uçtan uca test oluřturma ve çalıřtırma yöntemimizin uygulanabilir olması bizim açımızdan çalıřmamızın en iyi sonuçlarından biridir. Ayrıca bu çalıřma yazılım test topluluęuna model tabanlı testin kullanımının kolaylıęı ve bunun deęerlendirmesi hakkında bir görüř sunmaya da imkân vermiřtir.

Öne sürülen yaklaşım, GUI tabanlı sistemlerin çok ötesinde, makale kapsamında incelenen modellerin diđer tüm uygulama alanları için geçerlidir. Mevcut çalıřmanın, test kořum aşaması farklı sistemlere uyarlanarak uçtan uca gereken tüm adımlar gerçekleştirilebilir. Zaten bařka alanlara uygulanması, planlanan çalıřmalar arasındadır.

4.2. Geçerlilięe Yönelik Tehditler

4.2.1. Sonuç Geçerlilięi

Vaka çalıřmamızın örnekleme büyüklüğü, metodolojiyi genelleřtirmek için potansiyel bir tehdittir. Çalıřmada kullanılan örnekleminin küçük olması nedeniyle, yöntemi doęrulamak ve gözden kaçırmayabileceğimiz olası sorunları bulmak için, her model (FSM, HFSM, EFG, ESG, RE) için büyük boyutta vaka çalıřmalarına ihtiyacımız vardır. Bu olası problem nedeniyle, çalıřmalarımızı ileride daha büyük test senaryolarıyla genişletmeyi planlıyoruz. Böylece, örnek model boyutu gerçek hayattaki sistemlere benzer boyutta olacak ve bu durumdaki sorunlar tespit edilebilecektir.

4.2.2. İçsel Geçerlilik

Model tabanlı testin yapısı, doğası gereęi içsel geçerlilięe yönelik bir tehdittir. Çünkü yaklaşımın tamamı, gerçek GUI programı yerine modeller üzerinde çalıřır. Beyaz kutu test (White-Box Testing) yöntemi ile yazılım kodunda testler çalıřtırılmıř gibi model bazlı testlerle bir sistemi tam olarak test etmek mümkün deęildir. Bir model, gerçek yazılım davranıřının yalnızca bir temsili ve soyutlamasıdır. Test edilen yazılımın karmařıklıęına baęlı olarak, sistemi doęru şekilde temsil edecek doęru bir model oluřturmak zor olabilir. Bu nedenle, sistemin bařlangıç modelinin doęruluęu önemlidir ve yöntemimiz için bir tehdittir. Bir model sistemi yanlış şekilde temsil ediyorsa, tüm dönüşümler ve test oluřturma / çalıřtır

aklaşımı sistemi olması gerektiği gibi kapsamayacaktır. Önerilen yaklaşımın sistemi tam olarak temsil eden uygun nodellerde uygulanmasını sağlamak için daha gelişmiş örnek bir sistem için modellerimizi oluşturacağız.

5.2.3. Dışsal Geçerlilik

Yaklaşımı çalışmanın içeriği dışında uygulamak, dış geçerliliğe yönelik bir tehdittir. Daha önce de belirtildiği gibi, mevcut çalışma, çoğunlukla oyunların GUI'sinde kullanılan örsel nitelikler ve bunların semantiği gibi diğer hata türleri üzerine, işlevsel ve operasyonel hataları tespit etmeyi amaçlamaktadır. Böylece, mevcut çalışma daha çok menü girilimli uygulamalar için uygundur. Bu tip uygulamalar GUI tabanlı uygulamaların büyük bir çoğunluğunu oluşturmaktadır. Bu, model tabanlı testin ne için oluşturulduğu ile ilgilidir. Modeller işlevsel olarak sistemleri temsil ettiğinden, bir istemin ekrandaki görsel öğelerinin test edilmesi bu yaklaşım için uygun olmayabilir. Normalde, kod tabanlı bir test yaklaşımı bu tür doğrulamalar için daha uygun olabilir. Bununla birlikte, sıralı ve davranışsal modeller Petri-Nets nodellemesinden ziyade bir test yönteminde kullanıldığında, önerilen bu yöntem uygulanabilir.

5.2.4. Yapısal Geçerlilik

Modellerin ESG modeline dönüştürülmesi, farklı seviyedeki fadelerin zorlukları nedeniyle yapısal geçerlilik açısından tehdit oluşturmaktadır. Dönüştürme işleminden sonra, modellerin ifade gücü birleşik modelin ifade gücüne göre artar veya azalır. Bu da çıkarılan modelde bazı sistem özelliklerinin eksik olmasına neden olabilir. Dönüşüm sırasında bu ifade türünün hangi düzeyde kaybedilebileceğini anlamak için daha büyük örneklem boyutuyla ve farklı durumlarda test edilmesi gereklidir. Daha önce de bahsettiğimiz gibi, ifade gücünün nakul bir noktanın ötesine geçmesini önlemek ve bu konunun stesinden gelmek için çalışmalarımızı daha büyük örneklerle genişletmeyi planlıyoruz.

5. Sonuç

Bu çalışmada, tasarımları yine bu makalede anlatılan ve GUI azılım testi alanında iyi bilinen GUI test modellerini analiz etmeyi amaçladık. İlk analiz, farklı modellerin kullanımının farklı yetenekler gerektirdiğini ve farklı sözdizim ve semantik sonuçlandığını göstermektedir. Bu farklılıklar, nodellerin temsil etme yeteneklerini ve test üretme ve alıştırma gibi diğer süreçlerini etkiler. Deneyimlerimize dayanarak önerilen yaklaşımda ESG'yi seçmemizin temel nedeni hem test üretme hem de çalıştırma açısından diğer nodellere kıyasla daha uygun olmasıdır.

Önerilen yaklaşımın test hazırlama adımında, modeller ESG'ye dönüştürülüp test kümesi üretimi için hazır hale getirilmiştir. Ardından test oluşturma adımında orijinal nodelden mutanlar üretilmiş ve bu orijinal ESG modelinden test dizileri oluşturulmuştur. Son olarak, üretilen test dizileri, test dizilerinin kalitesini değerlendirmek için ESG modelinin mutanları üzerinde çalıştırılmıştır. Deneysel çalışmalar göstermektedir ki önerilen yaklaşım model-tabanlı test için uygundur ve etkilidir. Örnek durum üzerinde gerçekleştirilen değerlendirme çalışmasında, denk mutanlar gelen test üretilen çıkarıldıktan sonra mutasyon skoru en yüksek seviyede elde edilmiştir. Ayrıca gerçek bir sistem üzerinde gerçekleştirilen deneysel çalışma sonuçları göstermektedir ki,

ESG tabanlı test kümeleri diğer yöntemlere göre daha kompakt ve hata yakalama kabiliyeti açısından daha başarılı sonuçlar vermektedir.

Bu çalışmanın devamında öncelikle bu makalede tanıttığımız uçtan uca model tabanlı test üretme ve çalıştırma yönteminin adımlarını otomatik olarak uygulanmasına imkân verecek yeni bir aracın geliştirilmesi hedeflenmektedir. Bir diğer çalışma da ise sonuçların geçerliliğini arttırmak amacıyla daha büyük ölçekli modellerin kullanılması planlanmaktadır. Öte yandan katmanlı ESG modellerinin ve topluluk belirleme (community detection) algoritmalarının kullanılması testlerin ölçeklendirilmesine de katkı verebilir. Bununla ilgili elde ettiğimiz ilk sonuçlar [32]'de aktarılmıştır. Bu çalışmada tanıttığımız yöntem [32]'deki yaklaşımımızı da dahil ederek yine mevcut yöntemin daha büyük modeller üzerine uygulanabilmesini kolaylaştırmayı hedefliyoruz.

6. Kaynaklar

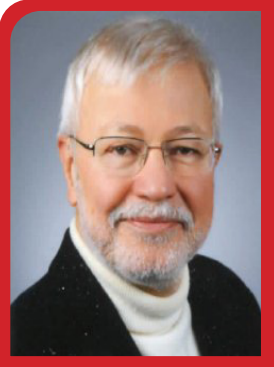
- [1] I. Banerjee, B. Nguyen, V. Garousi, and A. Memon, "Graphical user interface (GUI) testing: Systematic mapping and repository," *Information and Software Technology* 55, no. 10, pp. 1679-1694, 2013.
- [2] Harrison, R., Flood, D. & Duce, D. Usability of mobile applications: literature review and rationale for a new usability model. *J Interact Sci* 1, 1 (2013). <https://doi.org/10.1186/2194-0827-1-1>
- [3] R. K. Shehady, D. P. Siewiorek, "A method to automate user interface testing using variable finite state machines," *Proceedings of IEEE 27th International Symposium on Fault Tolerant Computing*, Seattle, WA, USA, pp. 80-88, 1997.
- [4] T. S. Chow, "Testing software design modeled by finite-state machines," in *IEEE Transactions on Software Engineering*, vol. SE-4, no. 3, pp. 178-187, May 1978.
- [5] L. White, H. Almezen, "Generating test cases for GUI responsibilities using complete interaction sequences," *Proceedings 11th International Symposium on Software Reliability Engineering. ISSRE 2000*, San Jose, CA, USA, pp. 110-121, 2000.
- [6] F. Belli, "Finite state testing and analysis of graphical user interfaces," *Proceedings 12th International Symposium on Software Reliability Engineering*, Hong Kong, China, pp. 34-43, 2001.
- [7] A. M. Memon, M. E. Pollack, M. L. Soffa, "Hierarchical GUI test case generation using automated planning," in *IEEE Transactions on Software Engineering*, vol. 27, no. 2, pp. 144-155, February 2001.
- [8] A. Memon. "An event - flow model of GUI - based applications for testing," *Software testing, verification and reliability* 17.3 pp. 137-157, September 2007.
- [9] Q. Xie, A. M. Memon, "Using a pilot study to derive a GUI model for automated testing," *ACM Trans. Software Eng. Methodol.* 18, 2, pp. 1-35, November 2008.
- [10] S. Huang, M. B. Cohen and A. M. Memon, "Repairing GUI test suites using a genetic algorithm," *2010 Third International Conference on Software Testing, Verification and Validation*, Paris, pp. 245-254, 2010.
- [11] F. Belli, M. Beyazit, N. Güler, "Event-Oriented, model-based GUI testing and reliability assessment-approach and case study," *Advances in Computers*, 85, pp. 277-326, 2012.

- [12] F. Belli, M. Beyazıt, C. J. Budnik, T. Tuglular, "Advances in model-based testing of graphical user interfaces," In *Advances in Computers*, vol. 107, pp. 219-280. Elsevier, 2017.
- [13] F. Belli, N. Güler, and M. Linschulte, "Layer-centric testing," *FERS-Mitteilungen*: Vol. 30, No. 1, pp. 55-62, 2012.
- [14] A. M. Memon, M. L. Soffa, and M. E. Pollack, "Coverage criteria for GUI testing," *Proceedings of the 8th European software engineering conference held jointly with 9th ACM SIGSOFT international symposium on Foundations of software engineering*, pp. 256-267, September 2001.
- [15] A. M. Memon, "GUI testing: pitfalls and process," in *Computer*, vol. 35, no. 8, pp. 87-88, August 2002.
- [16] D. Lee and M. Yannakakis, "Principles and methods of testing finite state machines-a survey," in *Proceedings of the IEEE*, vol. 84, no. 8, pp. 1090-1123, August 1996.
- [17] S. Fujiwara, G. v. Bochmann, F. Khendek, M. Amalou and A. Ghedamsi, "Test selection based on finite state models," in *IEEE Transactions on Software Engineering*, vol. 17, no. 6, pp. 591-603, June 1991.
- [18] M. Utting, A. Pretschner, and B. Legeard, "A taxonomy of model - based testing approaches," *Software testing, verification and reliability* 22.5, pp. 297-312, 2012.
- [19] F. Belli, M. Beyazıt and A. Memon, "Testing is an Event-Centric Activity," 2012 IEEE Sixth International Conference on Software Security and Reliability Companion, Gaithersburg, MD, pp. 198-206, 2012.
- [20] J. E. Hopcroft, R. Motwani, and J. D. Ullman, *Automata theory, languages, and computation.* International Edition 24.2.2, 2006.
- [21] ISELTA websitesi, Çevrimiçi olarak mevcut: <http://iselta.ivknet.de>, Son erişim: 21.03.2022.
- [22] O. Kılınççeker, A. Silistre, M. Challenger and F. Belli, "Random Test Generation from Regular Expressions for Graphical User Interface (GUI) Testing," 2019 IEEE 19th International Conference on Software Quality, Reliability and Security Companion (QRS-C), Sofia, Bulgaria, pp. 170-176, 2019.
- [23] G. Mercan, E. Akgündüz, O. Kılınççeker, M. Challenger, and F. Belli, "Android uygulaması testi için ideal test ön çalışması," *CEUR Workshop Proceedings*, 2018.
- [24] O. Kılınççeker, and F. Belli, "Grafiksel kullanıcı arayüzleri için düzenli ifade bazlı test kapsama kriterleri," *CEUR Workshop Proceedings*, 2017.
- [25] O. Kılınççeker, E. Turk, M. Challenger and F. Belli, "Regular expression based test sequence generation for HDL program validation," 2018 IEEE International Conference on Software Quality, Reliability and Security Companion (QRS-C), Lisbon, pp. 585-592, 2018.
- [26] O. Kılınççeker, E. Turk, M. Challenger and F. Belli, "Applying the ideal testing framework to HDL programs," *ARCS Workshop 2018; 31th International Conference on Architecture of Computing Systems*, Braunschweig, Germany, pp. 1-6, 2018.
- [27] O. Kılınççeker and F. Belli, "Towards uniform modeling and holistic testing of hardware and software," 2019 1st International Informatics and Software Engineering Conference (UBMYK), Ankara, Turkey, pp. 1-6, 2019.
- [28] Brüggemann-Klein, A. (1993). Regular expressions into finite automata. *Theoretical Computer Science*, 120(2), 197-213.
- [29] M. Linschulte, *On the Role of Test Sequence Length, Model Refinement, and Test Coverage for Reliability* (PhD Thesis, Univ. Paderborn), 2014.
- [30] F. Belli, A.T. Endo, M. Linschulte, and A. Simao, *A Holistic Approach to Model-Based Testing of Web Service Compositions*, *Software: Practice and Experience*, vol.44, no.2, pp. 201-23, 2014.
- [31] A. Silistre, O. Kılınççeker, F. Belli, M. Challenger and G. Kardas, "Models in Graphical User Interface Testing: Study Design," 2020 Turkish National Software Engineering Symposium (UYMS), Istanbul, Turkey, 2020, pp. 1-6, doi: 10.1109/UYMS50627.2020.9247072.
- [32] A. Silistre, O. Kılınççeker, F. Belli, M. Challenger, and G. Kardas, "Community Detection in Model-based Testing to Address Scalability: Study Design", 15th Conference on Computer Science and Information Systems (FedCSIS 2020), Track on Software and Systems Engineering, Advances in Software and Systems Engineering (ASSE 2020), Sofia, Bulgaria, 2020, IEEE, pp. 657-660, DOI: 10.15439/2020F163.
- [33] O. Kılınççeker, A. Silistre, F. Belli and M. Challenger, "Model-Based Ideal Testing of GUI Programs—Approach and Case Studies," in *IEEE Access*, vol. 9, pp. 68966-68984, 2021, doi: 10.1109/ACCESS.2021.3077518.
- [34] Karl, K., 2013. *Graphwalker*. URL: www.graphwalker.org Son erişim: 21.03.2022.
- [35] Kılınççeker, O., Turk, E., Challenger, M., & Belli, F. (2018, July). Regular expression based test sequence generation for HDL program validation. In *2018 IEEE International Conference on Software Quality, Reliability and Security Companion (QRS-C)* (pp. 585-592). Ieee.
- [36] Budnik, C. J. (2006). *Test generation using event sequence graphs* (Doctoral dissertation, University of Paderborn, Germany).
- [37] Belli, F., Nissanke, N., Budnik, C. J., & Mathur, A. (2005). *Test generation using event sequence graphs*. University of Paderborn, Institute for Electrical Engineering and Information Technology.
- [38] Rodríguez-Valdés, O., Vos, T. E., Aho, P., & Marín, B. (2021, September). 30 years of automated GUI testing: a bibliometric analysis. In *International Conference on the Quality of Information and Communications Technology* (pp. 473-488). Springer, Cham.
- [39] Vos, T. E., Aho, P., Pastor Ricos, F., Rodríguez - Valdes, O., & Mulders, A. (2021). testar - scriptless testing through graphical user interface. *Software Testing, Verification and Reliability*, 31(3), e1771.
- [40] Chahim, H., Duran, M., Vos, T. E., Aho, P., & Fernandez, N. C. (2020, September). Scriptless testing at the GUI level in an industrial setting. In *International Conference on Research Challenges in Information Science* (pp. 267-284). Springer, Cham.
- [41] Aho, Alfred V., Lam, Monica S., Sethi, Ravi., & Ullman, Jeffrey D. (2007). *Compilers Principles, Techniques, & Tools*. Addison-Wesley.
- [42] Emo dergi Github materyaller, Çevrimiçi olarak mevcut: <https://github.com/alphersilistre/gui-emo-dergi>, Son erişim: 21.03.2022.
- [43] Kılınççeker, O., Turk, E., Belli, F. et al. Model-based ideal testing of hardware description language (HDL) programs. *Softw Syst Model* (2021). <https://doi.org/10.1007/s10270-021-00934-6>

Özgeçmişler



Alper Silistre, 2015 yılında İzmir Ekonomi Üniversitesi'nden yazılım mühendisliği lisans derecesini almıştır. Aynı zamanda Yazılım Mühendisidir. Araştırma ilgi alanları arasında yazılım testi ve yazılım mühendisliği yer almaktadır.



Fevzi Belli (Üye, IEEE) Berlin Teknik Üniversitesi'nden bilgi teknolojisi ve bilgisayar bilimleri alanında B.S., M.S., Ph.D. ve Habilitation (Alman doktora sonrası) derecelerini aldı. Halen Paderborn Üniversitesi ve İzmir Yüksek Teknoloji Enstitüsü'nde Yazılım Mühendisliği Bölümü'nde Fahri Profesör olarak görev yapmaktadır. Araştırma, geliştirme ve yazılım mühendisliği öğretme, doğrulama ve doğrulama, hata toleransı ve kalite güvence konularında 35 yıldan fazla deneyime sahiptir. Uçak endüstrisinde bir programcı olarak başladı ve simülasyon ortamları oluşturmak ve güvenlik açısından kritik özellikleri doğrulamak için programlar yazdı. 1983 yılında Bremerhaven'daki Uygulamalı Bilimler Üniversitesi'nde Profesörlük unvanını aldı; 1989'da Paderborn Üniversitesi'ne geçti. Ayrıca uzun yıllar Maryland Üniversitesi, College Park, MD, ABD ve Avrupa Bölümü'nde Öğretim Üyesi olarak görev yaptı. Aynı zamanda İzmir Ekonomi Üniversitesi Bilgisayar Bilimleri Bölümünün Kurucu Başkanıydı. Yazılım güvenilirliği/hata toleransı, model tabanlı test ve test otomasyonu konularına ilgi ve deneyime sahiptir.



Geylani Kardaş, 2001 yılında Ege Üniversitesi Bilgisayar Mühendisliği Bölümü'nden mezun olduktan sonra bilgi teknolojileri alanındaki yüksek lisans ve doktora derecelerini yine Ege Üniversitesi'nden sırasıyla 2003 ve 2008 yıllarında almıştır. Halen Ege Üniversitesi Uluslararası Bilgisayar Enstitüsü'nde (UBE) doçent doktor olarak görev yapmaktadır ve UBE Yazılım Mühendisliği Araştırma Laboratuvarı'nın (Ege-SERLab) yöneticisidir. Araştırma alanları arasında etmen tabanlı yazılım mühendisliği (AOSE), model güdümlü mühendislik (MDE), alana-özü diller / alana-özü modelleme dilleri (DSL'ler / DSML'ler) ve düşük kodlu yazılım geliştirme yer almaktadır. Bu araştırma alanlarında 100'ün üzerinde hakemli makalenin yazarı veya ortak yazarıdır. Dr. Kardaş aynı zamanda Elsevier yayınevinin "Journal of Computer Languages" dergisinin MDE ve DSL bölümünden sorumlu yardımcı editörüdür.



Moharram Challenger (Üye, IEEE) Şubat 2016'da Ege Üniversitesi Uluslararası Bilgisayar Enstitüsü'nden bilgi teknolojisi alanında doktora derecesini aldı. 2005-2009 yılları arasında İAÜ-Shabestar Üniversitesi Bilgisayar Mühendisliği Bölümü'nde Öğretim Üyesi ve Kıdemli Öğretim Görevlisi olarak görev yaptı. 2010-2013 yılları arasında Slovenya ile Türkiye arasında yürütülen ikili bir projede (TÜBİTAK) Araştırmacı ve Takım Lideri olarak görev yaptı. 2012-2016 yılları arasında TÜBİTAK tarafından finanse edilen ulusal bir projeye ve Avrupa'da ITEA ModelWriter ve ITEA Assume adlı iki uluslararası yazılım yoğun projeye liderlik eden UNIT IT Ltd.'de Araştırma ve Geliştirme Direktörü olarak görev yaptı. 2017-2018 yılları arasında Ege Üniversitesi'nde Yardımcı Doçent olarak öğretim üyesi olarak görev yapmıştır. Ocak 2019'dan Temmuz 2020'ye kadar, Flanders Make projelerinde PACo ve DTDesign olarak çalışan Antwerp Üniversitesi'nde Doktora Sonrası Araştırmacı olarak görev yaptı. Halen Antwerp Üniversitesi Bilgisayar Bilimleri Bölümü'nde görev süresi boyunca Yardımcı Doçent olarak görev yapmaktadır. İlgi alanları alana özgü modelleme dilleri, çok etmenli sistemler, siber-fiziksel sistemler ve Nesnelerin İnterneti'dir.



Onur Kılınçeker, M.Sc. (Bilgisayar Müh.), B.Sc. (Matematik) ve Lise. (Elektronik) derecelerine sahiptir. Antwerp Üniversitesi, Bilgisayar Bilimleri Bölümü'nde araştırmacı ve Paderborn Üniversitesi'nde doktora öğrencisidir. İlgi alanları, hem yazılım hem de donanım sistemlerinin model tabanlı doğrulaması ve geçerliliği, model tabanlı testler ve mutasyon testleridir. Şu anda, bütünsel teste (pozitif ve negatif test (diğer adıyla fuzz testi)) ve mutasyon testine dayalı yazılım ve donanım sistemlerinde belirli hataların varlığını ve yokluğunu göstermek için model tabanlı ideal test yöntemleri üzerinde çalışıyor. Aynı zamanda, Simulink modellerinin mutasyon testini endüstriyel ortama entegre etmek için EFFECTS projesinde bilimsel bir araştırmacıdır.

Bir Uzaktan Program Yükleme ve Yönetim Sistemi

A Remote Program Installation and Management System

Nilgün İncereis¹, Bekir Tevfik Akgün²



¹Bilgisayar Mühendisliği
İstanbul Okan Üniversitesi
niincereis@stu.okan.edu.tr
ORCID:0000-0001-5508-8159

²Bilgisayar Mühendisliği
İstanbul Okan Üniversitesi
tevfik.akgun@okan.edu.tr
ORCID: 0000-0002-9726-1340

Özet

Uzaktan program yükleme (OTA) hizmeti sistemi, belirli bir ortamdaki akıllı uçbirimlere, nesnelerin interneti (IoT) cihazlarına yeni program yükleme, sistemi izleme ve yönetme işlemini firma adına güvenli ve korumalı bir şekilde yerine getiren bir sistemdir. Önerilen sistem; hizmet yönetimi, IoT yönetimi, kullanıcılar, yöneticiler ve uçbirimlerden oluşmaktadır. Bu çalışma, önerilen uzaktan yönetim sisteminin uygulamasını ve geliştirilmesini amaçlamaktadır. Uzaktan yönetim sisteminin kesintiye uğramaması için OTA işlemleri çirimsiz uygulama programının izin verdiği güvenli bir bölgede yürütülmektedir. Bu sistemde kullanıcılar, bulut üzerinde bulunan istediği dosyayı cihazına uzaktan yükleyebilir ve kullanıcılar sistemi uzaktan takip edebilir veya bulut ortamına istediği yazılım dosyasını gönderebilir ve isterse sisteme yüklediği bu dosyayı cihazına uzaktan yükleyebilir. Önerilen sistem gerçekleştirilmiş ve tasarlanan hizmetlerin başarıyla yerine getirildiği belirlenmiştir.

anahtar kelimeler: Nesnelerin İnterneti, OTA Güncelleme, Kablosuz Sensör Ağı, İzleme Sistemi, Gömülü Sistem, Uzaktan Yazılım Güncelleme

Abstract

The remote program installation (OTA) service system is a system that performs the process of installing new programs to smart terminal units, IoT devices in a specific environment, monitoring and managing the system on behalf of the company in a secure and protected manner. Recommended system; service management consists of IoT management, users, administrators and terminal units. This study aims to implement and develop of the proposed remote management system. In order not to interrupt the remote management system, OTA operations are carried out in a secure area allowed by the

terminal application program. In this system, users can remotely upload any file on the cloud to their device, and users can remotely monitor the system or send any software files to the cloud and upload this file to their device remotely. The proposed system has been implemented and it has been determined that the designed services have been carried out successfully.

Keywords: Internet of Things (IoT), Over The Air (OTA) Update, Wireless Sensor Network, Monitoring System, Embedded System, Remote Firmware Update.

1. Giriş

Günümüzde uzaktan program yükleme işleminin yaygın kullanılması nedeniyle çok önemli bir rol üstlenir. Nesnelerin İnterneti (IoT) sistemleri, internete bağlı veri ya da bilgi alışverişi yapabilen nesnelere oluşan sistemlerde yazılım güncellemesi bir zorunluluktur. Böyle teknolojilerin kullanıldığı bir sistemi uygulamak ve geliştirmek avantajlar sağlar.

Kısıtlı bir güvenliğe sahip olunması ve güncellenmenin yalnızca belirli kaynaklardan izin verilmesi firmaların uzaktan program yükleme (OTA) işlemlerini kendisinin gerçekleştirmesini gerektirir. Bu çalışma şekli; yeni sürümle çalıştırma gibi aygıt işlemlerini habersiz yarıda kesmenin firma için önemli bir zarara yol açmadığı durumlarda uygun olacaktır. Ancak sahada çalışan ve kendisine atanmış görevleri kesintisiz, veri kayıpsız ya da kontrol edilen sistemlerin beklenmedik davranışlar olmaması gereken durumlarda ise; aygıtın işlemlerini güvenli bir şekilde ara vermesini sağlamak gerekir. Aygıt üzerinde çalışan bir uygulamanın korumalı bir şekilde ara verilmesi ve yeniden başlatılması ayrıca tasarlanmalıdır.

Bu çalışma; bir uzaktan program yükleme yönetim isteminin tasarlanmasını ve geliştirilmesini kapsar. İlk olarak, önceki yapılan çalışmalar özet halinde verilmiştir. Sonraki bölümlerde, yerel yönetim/uzaktan erişim sistemi ile önerilen uzaktan yönetim sistemi üzerine uygulamalar sunulmuştur. Önerilen uzaktan yönetim sisteminin geliştirilmesi için önerilerin birer bulut hizmeti yazılımına dönüştürülerek amamen bulut üzerinde dağıtık bir sistem olarak oluşturulduğunda sistemde oluşabilecek kesintilerin nedenleri belirlenmiştir. Sistemin deneysel sonuçları verilerek, sonuçlar bölümünde güvenlik kapsamındaki değerlendirilmesinin yanında bu çalışmanın mevcut alışmalara olan üstün yanları ve zayıf yanları üzerinde durulmuştur.

2. Önceki çalışmalar

Nesnelerin İnterneti (IoT) teknolojisi, yerel bir kontrol isteminin kısıtlamalarına maruz kalan uygulamalar için yeni, geliştirilmiş izleme ve kontrol yöntemlerinin geliştirilmesini gerektirmiştir. IoT ile bağlantılı gömülü uygulamaları izlemek ve kontrol etmek için tahmine dayalı sistem öneren bir alışıma bakıldığında, kontrol sisteminin tasarımı üzerindeki sonuçların ortaya çıkardığı etkilere göre bir ilk örnek model sunulmuştur [1]. Bir kontrol sistemi, kontrol döngülerini kullanarak diğer cihazların ve sistemlerin davranışını yönetir, komut verir, yönlendirir ya da düzenler. Bu sistemler, bir ev tipi otomatik kontrol edebilen bir termostat kullanan ısıtma kontrolünden, işleri ya da makineleri kontrol etmek için kullanılan büyük endüstriyel kontrol sistemlerine kadar değişebilir [2]. Kontrol sistemi, cihazı uygun değer ayarlarında abileştirilmiş bir dizi kısıtlamaya neden olur. Bununla birlikte, kontrol sisteminin kendisi, sisteme bağlı olmayan bir dizi kısıtlamaya maruz bırakır ve bu da uzun yerleşme sürelerine ya da aşımara neden olur. Bu durumlarda gecikme ve ölü zamanlar oluşabilir [3].

Kang, K. ve arkadaşları tarafından [4], farklı hizmet sağlayıcıları, farklı türde uygulamalar kullanarak farklı hizmetler için uygulama türlerini listelemiştir. Hizmet ya da uygulama kalitesinde, güvenilirlik kullanıcılarla ilgili önemli araçlardan biridir. IoT uygulamaları geliştirmek için, endüstri tarafından kullanılan çeşitli modellerin analizi yapılarak, modellerin kullanıldığı tekniklerin karşılaştırılması, özgünlüğü ve eksiklikleri durumlarına bakılmıştır [5]. IoT uygulamaları geliştirmek için tasarlanan modellerde, nesnelere, aygıtlar, kablosuz iletişim ortamları, ağ geçidi, bulut, uygulama sunucusu, yazılımlar, uygulamalar, kullanıcılar, yöneticiler kullanılır. Nesnelere, çevredeki verileri toplar ve bunları kablosuz iletişim ortamı ve ağ geçitleri aracılığıyla bir sunucuya gönderir. Buluttaki veriler, uygulamalar ve hizmetler aracılığıyla depolanır, işlenir ya da analiz edildikten sonra son kullanıcılara sunulur. Bir sistemdeki uçbirimlerin çok fazla olmasıyla, kolay bağlantı, kontrol sistemi, iletişim ve aynı zamanda sağlam ve güvenli bağlantı zorlaşmaktadır. Bu nedenle uygun sistem tasarım mimarisinin oluşturulması gerekir. Çoğu IoT mimarisindeki zorluk ve sorun, standartizasyonun olmamasından kaynaklanmaktadır. Standartizasyon eksikliği ve IoT uygulama geliştirmedeki zorluklar [6] ve [7]'de açıklanmaktadır.

IoT platformu, makine ve aygıtların bağlanmasını, ardından makine ve sensör verilerinin toplanmasını, işlenmesini, dönüştürülmesini, düzenlenmesini ve saklanmasını sağlayan bir yazılımdır ve genellikle IoT ara katman yazılımı olarak da adlandırılır. Zdravkovic ve diğerleri [8], 16 farklı bulut tabanlı IoT platformunu sunmuşlardır. Buluttaki tüm IoT aygıtlarını kontrol eden esnek bir platform sağladığı söylenen bir çalışmada, çözüm önerisi olarak bir olaya cevap verme sürecini değiştirme esnekliği üzerinde durulmuştur. Yapılan bu çalışmada, bu sistem yerel makine üzerinde çalıştırılmış ve IBM Bluemix platformu yardımıyla da buluta getirilebileceğinden bahsedilmiştir [9]. Uzaktan kontrol edilebilen Wi-Fi, 3G, 4G ya da 5G işlevselliğine sahip akıllı aygıtların sayısı artmaktadır. IoT, bu tür aygıtların uzaktan bağlanmasını ve kontrol edilmesini sağlamaktadır [10]. Buluttaki aygıtların sayısı arttıkça, bunların yazılımının daha kontrollü güncellenmesi gerekir. Uzaktan güncellenmenin uygulanmasıyla ilgili [11]'de, sistem programlarının seçici olarak yüklenmesi yapılmıştır.

Yeni teknolojilerin gelmesi ve hızlı bir şekilde ilerlemesiyle, IoT'nin ortaya çıkışı günlük yaşamın her alanında önemli bir rol oynamaktadır. Böylece, ev otomasyonu, güvenlik alanındaki IoT çalışmaları ya da bazı özellikler canlıların yaşam tarzını da kolaylaştırır. Wi-Fi teknolojisi kullanılarak, ev otomasyonu kontrolünün uygulanması ve tasarlanmasında IoT, tümleşik, korumalı ve güvenli sisteme sahip aygıtları yönetir. Örneğin IoT ve mikro denetleyici tabanlı bir NodeMcu (Esp8266) ve bir Android mobil uygulaması kullanılarak güvenlik ve otomasyonda nasıl uygulanabileceği hakkında [12]'de bilgi verilmektedir.

Bulut hizmetleri ile IoT hizmetlerine küresel erişimin mümkün olduğu ve böyle hizmetler için sunucu bakımının zorluğunun ortadan kaldırılabildiği söylenmektedir. Özellikle, böyle sistemlerde genel IP'yi ayrı ayrı sağlamadan küresel erişim mümkündür, bu da onu bireysel ya da küçük işletme IoT hizmeti kuruluşu için çok uygun hale getirir [13]. Tasarım aşamasında bulut üzerinde uygulama çalıştırmanın maliyeti, oluşturulan sisteme göre [14]'te tahmin edilmektedir. Dell [15] tarafından kullanılan mimari ise, ağı kenarındaki verileri güvence altına almak amacıyla uygulamalar için özel ağ geçidi kullanılır.

IoT yönetim sistemlerinin esnekliği, hata toleransı, yüksek algılama doğruluğu, düşük maliyetli ve hızlı dağıtım özellikleri, uzaktan yönetim için birçok yeni ve hayatımızı kolaylaştıran uygulama alanı yaratır. Ancak IoT yönetim sisteminin gerçekleştirilmesi, hata toleransı, ölçeklenebilirlik, maliyet, donanım, çevre ya da güç tüketimi gibi faktörlerin getirdiği kısıtlamaları da karşılamalıdır. Bu kısıtlamalar IoT için yeni kablosuz geçici ağ oluşturma teknikleri oluşturulmasını gerektirir [16].

Uzaktan program yükleme ile ilgili yapılan bir çalışmada [17], sistem tasarımı için, genel IoT sistemleri, yerel sistem, yerel yönetim/uzaktan erişim sistemi, uzaktan yönetim sistemi ve bulut üzerinden dağıtılmış yönetim sistemi olarak incelenmiştir. Burada, sahadaki IoT uçbirimlere, yeni program yükleme işlemlerini firma adına güvenli bir şekilde yerine getiren bir sistem için "kullanıcılar (program kodu) ve OTA hizmeti" ya da "OTA hizmeti ve IoT uç birimleri (donanım)"

rasındaki güvenli haberleşmenin üzerinde durulur. Güvenlik problemleri, uçbirimin kötü amaçla saldırıya uğrayabilmesi ya da istenmeyen bir kod yükleme sorunlarının ortaya çıkması eklinde düşünülmektedir. Son yıllarda da OTA (Over the Air) ile ilgili bazı çalışmalar [18, 19, 20, 21] incelendiğinde veri letişimi, iletişim modeli, güvenlik ve protokoller kapsamında la giderek artan bir ilgi bulunmaktadır.

3. Kullanılan teknolojiler

Bu bölümde, nesnelerin interneti teknolojisi, bulut eknolojisi, uzaktan program yükleme, ESP8266, OTA :ütüphaneleri, fonksiyonları ve işlevleri konuları üzerinde lurulmuştur.

3.1. Nesnelerin interneti teknolojisi

Nesnelerin interneti teknolojisi, kesintisiz bir ortam ağlamak için, veri alışverişi yapmada birbirleriyle etkileşim çinde olan elektronik cihazları ya da nesnelere güvenli bir ekilde yönetmeyi amaçlar. Bunlar kablosuz ya da kablolu ağlar ullanılarak uzaktan algılanabilir ve kontrol edilebilir [22]. nternete bağlandıktan sonra, çeşitli hedeflere, kaynaklara veri üklenebilir ya da indirilebilir. Bu tür sistemler [1], bir merkezi ygytın bir sunucu olarak hareket ettiği ve aygıtlar arasında stekleri ilettiği bir sunucu istemci mimarisi kullanır.

3.2. Bulut teknolojisi

Bulut bilişim fikrinin temelleri 1950'li yıllarda ortaya tılarak veri merkezlerinin modernize edilmesiyle ilk gerçek ulut bilişim hizmeti oluşturulmuştur. Bulut bilişim eknolojisinde büyük veriler, internette depolanabilir ve stenirse bu verilere erişilebilir. Bulut teknolojisinin çeşitleri, şağıdaki şekilde verilmektedir [23].

Public Cloud (Genel Bulut): İnternet üzerindeki sunucular ile urulan bir bulut teknolojisidir.

Private Cloud (Özel Bulut): Bilgileri önemli olan büyük irketlerin tercih ettiği bir bulut teknolojisidir. Tüm bilgilere rişim güvenliği ve gizliliği yüksektir.

Hybrid Cloud (Melez Bulut): Genel ve Özel Bulut irleşiminden ortaya çıkan bulut teknolojisidir.

Community Cloud (Topluluk Bulut): Birkaç şirket ile ortak ullanılan hizmetleri barındıran bulut teknolojisidir. Topluluk iyeleri, uygulama ve verilere erişebilmektedir.

3.3. Uzaktan program yükleme

Wi-Fi ile internete çıkabilen *ESP8266* serisi tüm devre artları, hem boyut olarak küçük hem de fiyat olarak ucuz lduğundan yaygın olarak kullanılmaktadır. *ESP8266*'nın iretiliş amacı, öncelikle Arduino'yu *Wi-Fi* üzerinden internete ağlamaktır. Ancak şimdi, *Xbee*, *Ethernet kartı* gibi pahalı arçalar kullanmak yerine daha ucuz olan bu birimi kullanmak istem maliyetini azaltmaktadır. Arduino IDE üzerinden *ESP8266* kütüphanelerini, yükleyerek, *NodeMCU* kartlar rogramlanır. Bir kez programlandıktan sonra, internet

üzerinden OTA ile tekrar programlanabilir duruma gelir. Dosya sistemi; yapılandırma dosyalarını, Web sunucusu içeriğini ve diğer dosya verilerini depolayarak yönetir. Arduino ortamında kullanılan dosya yerleşimi Şekil 1'de [24] göstermektedir.



Şekil 1: Arduino Ortamında Kullanılan Dosya Yerleşimi

3.4. ESP8266

ESP8266, seri haberleşme ile kablosuz olarak internet ağına bağlanabilen bir birimdir. Ucuz ve kolay kullanımından dolayı IoT projelerinde çok yaygın olarak kullanılmaktadır. Arduino'yu internete bağlamanın en kolay ve en ucuz yolu *ESP8266 Wi-Fi* birimini kullanmaktır. Ortamda bulunan kablosuz ağlara bağlanabileceği gibi, kendi internet ağını yayarak diğer aygıtların bu ağa bağlanabilmesine de olanak sağlamaktadır [17].

3.5. OTA kütüphaneleri, fonksiyonları ve işlevleri

ESP8266httpUpdate kütüphanesinde, *ESPhttpUpdate* sınıfı bulunmaktadır. Bu sınıf güncellemeleri kontrol edebilir ve *http web* sunucusundan bir ikili dosya indirebilir. Güncellemeler, ağdaki ya da internetteki herhangi bir *ip* ya da alan adından indirilebilmektedir. Bu kütüphanede basit ve güvenli güncelleme işlemlerini yapan fonksiyonlar bulunmaktadır. Basit ve güvenli güncelleme işlemlerini yapan fonksiyonlar aşığıda verilmektedir.

a) Basit Güncelleme İşlemi

● *ESP8266HTTPUpdate::update(const char * url, const char * current_version, const char * httpsFingerprint)*

b) Güvenlikli Güncelleme İşlemi

● *ESP8266HTTPUpdate::update(const char * host, uint16_t port, const char * url, const char * current_version, bool https, const char * httpsFingerprint)*

● *ESP8266HTTPUpdate::update(String host, uint16_t port, String url, String current_version, bool https, String httpsFingerprint)*

Basit güncelleyici, işlev her çağrıldığında dosyayı indirir. Güvenlikli güncelleyici ise, güncelleme işlevi için sunucudaki bir komut dosyasını göstermesi mümkündür. Sunucu tarafı komut dosyası, güncelleme yapılıp yapılmayacağını kontrol etmektedir. Sunucu isteği işlemede, basit güncelleyici için sunucunun sadece güncelleme için ikili dosyayı vermesi gerekir. Güvenlikli güncelleme işlemini yapan fonksiyonlardaki *httpsFingerprint* parametresi, sertifikanın *SHA1* parmak izidir. Güvenlikli güncelleme yönetimi için bir *betiğin* (örneğin bir PHP betiği) sunucu tarafında çalıştırılması gerekir. Her güncelleme talebinde *ESP*, *HTTP* başlıklarındaki bazı bilgileri sunucuya gönderir [17]. Örnek başlık verileri aşığıdaki şekilde verilmektedir.

[HTTP_USER_AGENT] => ESP8266-http-Update

[HTTP_X_ESP8266_STA_MAC] => 18:FE:AA:AA:AA:AA

[HTTP_X_ESP8266_AP_MAC] => 1A:FE:AA:AA:AA:AA

```

HTTP_X_ESP8266_FREE_SPACE] => 671744
HTTP_X_ESP8266_SKETCH_SIZE] => 373940
HTTP_X_ESP8266_CHIP_SIZE] => 524288
HTTP_X_ESP8266_SDK_VERSION] => 1.3.0
HTTP_X_ESP8266_VERSION] => DOOR-7-g14f53a19

```

Bu bilgilerle *PHP betiği*, bir güncelleme gerekip gerekmediğini kontrol edebilir. *MAC* adresine göre farklı ikili dosyalar teslim etmek de mümkündür.

3.6. OTA işlemlerinde diğer güvenlik yöntemleri

OTA işlemlerinde güvenlik için bazı çözüm önerileri bulunmaktadır. Bunlar, güvenli önyükleme *V1*, güvenli önyükleme *V2* ve OTA aracılığıyla güncelleme şeklindedir.

- *Güvenli Önyükleme V1 (Secure Boot V1)*: Güvenli önyükleme, entegre devre üzerinde sadece kodunuzun alışabilmesini sağlayan bir özelliktir ve *AES* tabanlı güvenli önyükleme şemasını kullanılır. Flash'tan yüklenen veriler her fırlamada doğrulanır. Güvenli Önyükleme, Flash Şifreleme özelliğinden ayrıdır ve Flash içeriği şifrelenmeden güvenli önyüklemeyi kullanabilirsiniz. Fakat güvenli bir ortam için her kişinin de aynı anda kullanılması gerekmektedir. [25]

- *Güvenli Önyükleme V2 (Secure Boot V2)*: Güvenli önyükleme *V2*, *RSA* tabanlı uygulama ve önyükleyici doğrulamasını kullanır. Ayrıca, önyükleyiciyi imzalamadan *RSA* şemasını kullanarak uygulamaları imzalamak için bir eferans olarak da kullanılabilir. Güvenli Önyükleme, önyüklenmekte olan her bir yazılım parçasının imzalanmış olup olmadığını kontrol ederek bir aygıtı herhangi bir yetkisiz yani imzasız) kod çalıştırmaya karşı korur. Bir *ESP32*'de, bu yazılım parçaları, ikinci aşama önyükleyiciyi ve her bir uygulama ikili dosyasını içerir. İlk aşama önyükleyicinin *ROM* kodu olduğu için imza gerektirmediğini ve dolayısıyla değiştirilemeyeceğine dikkat edilmesi gerekmektedir. Güvenli önyükleme *V2*'nin avantajları aşağıdaki gibidir. [26]

- *RSA* ortak anahtarı cihazda depolanır. İlgili *RSA* özel anahtarı gizli bir yerde tutulur ve cihaz tarafından asla erişilmez.
- Üretim sırasında entegre devre üzerinde yalnızca bir ortak anahtar oluşturulabilir ve saklanabilir.
- Uygulamalar ve yazılım önyükleyici için aynı görüntü formatı ve imza doğrulama yöntemi uygulanır.
- Cihazda hiçbir sır saklanmaz. Bu nedenle, zamanlama veya güç analizi gibi pasif yan kanal saldırılarına karşı duyarsızdır.

- *OTA Aracılığıyla Güncelleme*: IoT cihazları dağıtıldıktan sonra, yeniden programlamak ya da güncellemek için fiziksel erişim olmayabilir. Önceden plan yapmak ve gömülü sistemi arada da IoT cihazlarını güncellemek için güvenli bir mekanizmaya sahip olmak çok önemlidir. OTA aracılığıyla güncelleme, donanım yazılımını (*Firmware*) şifreler. [27]

4. Yerel yönetim/uzaktan erişim sistemi üzerine bir uygulama

Tümleşik yönetim başlığı altında, genel IoT sistemlerinde tanıtılmış olan yerel yönetim/uzaktan erişim sisteminin [17] önerilen IoT hizmeti şeklinde uygulanması gerçekleştirilmiştir.

4.1. Tümleşik yönetim ortamı

Tümleşik yönetim; yönetimin yürütüldüğü bilgisayarlar ve yazılımlar, kullanıcılar, internet erişim ortamı ve kurulu sahada bulunan uçbirimlerden oluşan bir yapı üzerinde çalışır. Örnek kurulu sahada, uç birimler ve bir adet *PC*, veri tabanı, hizmet yönetimi ve *IoT* yönetimi bulunmaktadır. Burada *PC*'ye uzaktan bağlı bir yönetici vardır.

Tümleşik yönetim sisteminde *Xampp* kullanılmıştır. *Xampp*, yerel web sunucusu oluşturmayı sağlayan, *Apache* web sunucusu ve diğer uygulamaları kapsayan bir dağıtımdır. Bu isterlerle gerçekleştirilen uygulamada, sunucu yazılımı *PHP* dili ile yazılmıştır. Verileri tutmak için hem açık kaynak kodlu olan *PHP* ile hem de *PHP* ile çok iyi bir şekilde çalışan *MySQL* veri tabanı seçilmiştir. Uçbirimler için, *NodeMCU* cihazları kullanılmıştır. Uçbirimlerin yazılım ve donanım olarak program yüklemeye hazır olması gerekir.

4.2. Tümleşik yönetimde yapılan işlemler

Tümleşik yönetimde yapılan temel işlemler, kullanıcı işlemleri, hizmet yönetim işlemleri, IoT yönetim işlemleri ve uçbirim işlemleridir. Tablo 1'de, yapılan temel işlemler ve alt işlemleri verilmektedir.

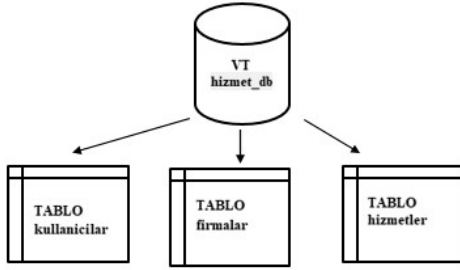
Tablo 1: Tümleşik Yönetimde Yapılan İşlemler

Yapılan Temel İşlemler	Alt İşlemler
Kullanıcı İşlemleri	<ul style="list-style-type: none"> • Kullanıcı kaydı • Firma kaydı/kendine ait olanları listeleme • Hizmet alma/kendine ait olanları listeleme • IoT uçbirim listesi • Yeni sürüm program gönderme • Uçbirim yeni sürüm program sorgulama/durum
Hizmet Yönetim İşlemleri	<ul style="list-style-type: none"> • Tüm kullanıcıların listesi • Tüm firmaların listesi • Tüm hizmetlerin listesi • Kullanıcıdan gelen hizmet talebini onaylama • IoT uçbirim listesi • Uçbirim kayıtları/durumları listesi • Kullanıcıdan gelen istekleri IoT yönetime bildirme

IoT Yönetim İşlemleri	<ul style="list-style-type: none">• Yeni sürüm program sorgulama/alma• Yeni sürüm program gönderimi (uçbirime)• Uçbirim kaydı alma• Uç birim kayıtlarını/durumlarını hizmet yönetimine bildirme
Uçbirim İşlemleri	<ul style="list-style-type: none">• Kendini kayıt etme• Yeni sürüm program sorgulama• Yeni sürüm program alma (OTA)

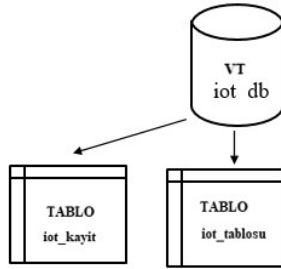
1.3. Tümleşik yönetim veri tabanı tasarımı

Tümleşik yönetimde, hizmet yönetimi için *hizmet_db* adlı veri tabanı oluşturulmuştur ve Şekil 2’de verilmektedir.



Şekil 2: Tümleşik Yönetimdeki *hizmet_db* Adlı Veri tabanı

Tümleşik yönetim sisteminin IoT yönetimi için *iot_db* adlı veri tabanı oluşturulmuştur ve Şekil 3’te verilmektedir.



Şekil 3: Tümleşik Yönetimdeki *iot_db* Adlı Veritabanı

1.4. Tümleşik yönetimde senaryolar

Tümleşik yönetimde senaryolar aşağıdaki şekilde oluşturulmuştur:

- 1) Kullanıcı kaydı, firma kaydı ve hizmet alımı olmayan kullanıcının sistemde işlem yapamaması.
- 2) Firma hizmet alım talebini gönderdikten sonra firmanın hizmeti kullanabilmek için yöneticinin onay vermesini beklemesi.
- 3) Uçbirimlerin bağlantısının kesilmesi durumunda bağlantı tekrar geldiğinde işlemine kaldığı yerden devam edebilmesi.
- 4) Uçbirimlerin sisteme kendini kaydettirmesi.
- 5) Kullanıcıların uçbirimlere doğrudan müdahale edememesi ve kullanıcılar isteklerini hizmet yönetimine bildirerek IoT yönetimi üzerinden uçbirimlere iletmesi.

4.5. Kullanıcının sisteme kayıt olma durumu

Geliştirilen sistem; kayıtlı firmalar üzerinden kullanıcılara hizmet sunmaktadır. Hizmet satın alan kullanıcılar, kendi sistemine dosya gönderebilir, uçbirimlere yeni sürüm yükleyebilir, uçbirimleri listeleyebilir ve uçbirimlerin durumlarını görebilir. Bu sistemde, kullanıcı ya da yönetici girişi yapılabilmektedir. Eğer kayıtlı bir kullanıcı değilse yeni kullanıcı kaydı yapılarak giriş yapılabilmektedir. Kullanıcı firma kaydı yapmışsa kayıtlı olan firmalarını listeleme yapabilmektedir. Kullanıcı firma seçerek o firma için hizmet alımı yapabilmektedir. Sistemdeki hizmet işlemleri panelinde, kullanıcı eğer hizmet alımı yaptıysa hizmetleri listeleyebilmektedir.

Sistemdeki firmaların hizmet listesinde hizmet talebi yapılmış fakat hizmeti kullanabilmek için ödeme durumunda yöneticinin onay vermesi beklenmektedir. Yönetici ödeme durumunu ödendi olarak değiştirirse ödemesi yapılan hizmet için kullanıcı, dosya gönderme, yeni sürüm yükleme, cihaz durumu ve cihaz listesi hizmetlerinden var olanları kullanabilmektedir.

4.6. Kullanıcı işlemleri

Kullanıcılar, dosya gönderme, yeni sürüm yükleme, cihaz durum ve cihaz listesi hizmetlerini aldığı ve yönetici ile ilgili gerekli anlaşmalar tamamlandığında firma adına bu hizmetleri kullanabilmektedir. Dosya gönderme hizmeti, kullanıcıların sisteme dosya yükleme yapabildikleri hizmettir. Kullanıcının sisteme gönderdiği dosyanın boyutunda kısıtlama yapılmıştır. Kullanıcı, 4 MB’ dan büyük dosyaları sisteme yükleyemez. Bu boyut yönetici tarafından değiştirilebilir.

Yeni sürüm yükleme hizmeti, kullanıcının sistemdeki dosyalardan istediğini istediği uçbirimine yükleme isteğini hizmet yönetimine bildirilmesidir. Hizmet yönetimi de IoT yönetimine bu isteği ileterek IoT yönetimi onay verirse uçbirime yükleme yapılmaktadır. Cihaz durum hizmeti, kullanıcı tarafından herhangi uçbirimin verilerinin gözlenebilmesidir. Burada programa göre kurulanmış sensörden gelen veriler eş zamanlı gözükmemektedir. Cihaz listesi hizmetinde, kullanıcının kendine ait uçbirimlerinin listesini görebilmesidir. Bu listede cihazın aktif ya da pasif olması durumları eş zamanlı gözükmemektedir.

Kullanıcı hizmet satın aldığı IoT yönetim paneline erişebilmektedir. Kullanıcı, sisteme dosya göndermek istediğinde hizmet satın alınmış ve yönetici tarafından onay verilmişse, dosya gönderme işlemi kullanıcı tarafından yapılabilmektedir.

4.7. Yönetici işlemleri

Yöneticinin yapabildiği işlemler, tüm kullanıcıları listeleme, tüm firmaları listeleme, hizmetleri listeleme, hizmet yönetimi, firma kaydı şeklindedir.

Tüm kullanıcıların listesine bakıldığında, yönetici ve kullanıcı şeklinde yetki alanı oluşturulmuştur. Yönetici isterse kullanıcıların bilgilerini güncelleyebilmektedir. Yönetici isterse istediği kullanıcıyı sistemden silebilir. Yönetici isterse hizmetlerin bilgilerini güncelleyebilmektedir. Yönetici isterse

istediği hizmeti sistemden silebilir. Kullanıcıların istediği hizmeti kullanabilmesi için hizmet talebi “Var” şeklinde ve ödeme durumu yönetici tarafından “Ödendi” olarak tanımlanmış olması gerekmektedir. Örneğin *kullanıcı_id* değeri *hizmet_id* değeri 30 olan kullanıcı ödeme durumu “Ödendi” olmasa da cihaz durum hizmetinde “Yok” yazdığı için cihaz durum hizmeti kullanılamaz.

4.8. Tümleşik Yönetimde Kullanılan Cihazlar ve Teknolojiler

Tümleşik yönetimde, kurulu saha içinde, veri tabanı, hizmet ve IoT yönetimlerini barındıran PC ve uç birim olarak NodeMCU cihazları kullanılmıştır. NodeMCU üzerine yüklenen uygulamalar Arduino’da yazılmıştır. Bu sistemde, web sunucu yazılımı olan Xampp ile yerel bir şekilde bilgisayarda çalışılmıştır. Xampp’da, phpmyadmin kurulu bir şekilde gelmektedir. Phpmyadmin, Php ile yazılmış açık kaynak kodlu bir araçtır. MySQL veri tabanının yönetimi bu araç üzerinden sağlanmaktadır.

4.9. Tümleşik yönetimde kullanılan fonksiyonlar ve kütüphaneler

Hizmet Fiyatını Hesaplayan Fonksiyon: Kullanıcı hizmet ücretini yaptıktan sonra fiyatını hesaplayan basit bir fonksiyon yazılmıştır. Bu fonksiyonda 4 adet hizmet durumu bulunur.

Tümleşik yönetim sistemi uygulaması için kullanılan fonksiyonlar Tablo 2’de açıklamalarıyla verilir.

Tablo 2: Kullanılan Fonksiyonlar

Kullanılan Fonksiyonlar	Açıklama
void wifi_baglan()	WiFi bağlantısı yapar
void iot_guncelle(String ver)	IoT güncelleme işleri yapar
void iot_islemler()	IoT okuma ve IoT yazma işlemi yapar
void updateUI()	Arayüz güncelleme
void handlePage()	El sıkışma

Bu sistemde kullanılan kütüphaneler ise Tablo 3’te verilmiştir.

Tablo 3: Kullanılan Kütüphaneler

Kullanılan Kütüphaneler	Açıklama
#include <ESP8266WiFi.h>	WiFi ile ilgili işlevleri yapmak için gereklidir.
#include <WiFiClient.h>	Web tarayıcısına istek göndermek için gereklidir.
#include <ESP8266WebServer.h>	ESP8266WebServer, web sunucusu
#include <ESP8266HTTPClient.h>	ESP8266HTTP, http İstemcisi
#include <ESP8266HTTPUpdateServer.h>	ESP8266HTTPUpdate Server, Güncelleme Sunucusu
#include <ESP8266httpUpdate.h>	ESP8266httpUpdate, http güncelleme
#include <EmberAJAX.h>	Ajax kütüphanesi

Bu çalışmada, IoT aygıtlarının yeni program güncellemesi kablosuz olarak yapılması gerekir. Bu da, aygıtların kötü amaçla saldırıya uğrayabileceği ya da başka bir program yüklenme ihtimallerini ortaya çıkarmaktadır. Saldırıya uğramanın olasılığını azaltmak için, bu yüklemeleri bir şifreyle, belirli bir OTA bağlantı noktası vb. seçerek korunmalıdır. Güvenliği artırmak için, Arduino OTA kütüphanesi ile sağlanan işlevsellik kontrol edilebilir [24].

```
void setPort(uint16_t port);
void setHostname(const char*
hostname);
void setPassword(const char* password);
```

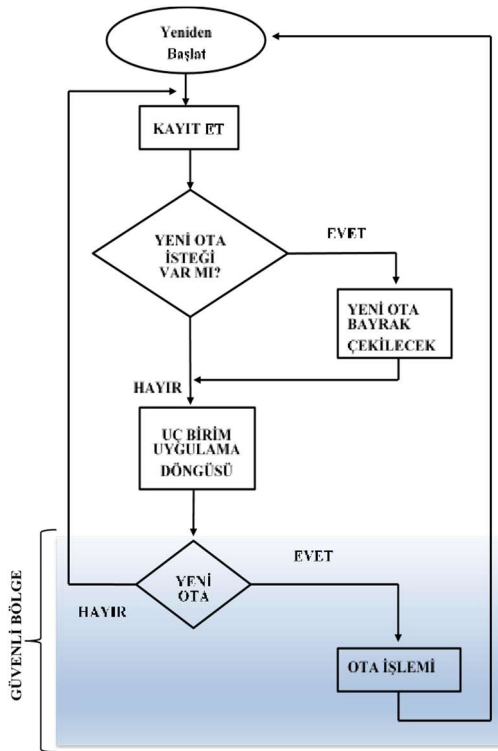
Bunun gibi, belli koruma işlevleri önceden oluşturulmuş ve geliştirici tarafından herhangi bir ek kodlama gerektirmez. *Arduino OTA* ve *espot.py*, karışık yüklemeyi doğrulamak için *Digest-MD5* kullanılır. Aktarılan verilerin bütünlüğü, *ESP* tarafında *MD5* kullanılarak doğrulanır [24].

4.10. Tümleşik yönetimin çalışma prensibi

Bu çalışmanın birinci aşamasında, hizmet yönetimi ve IoT yönetimi aynı PC üzerinde bulunmaktadır. Her iki yönetimin de ayrı ayrı veri tabanı oluşturulmuştur. Aslında tek bir veri tabanı da yeterli olur. Çünkü bütün sistem yereldedir. Sonraki aşama uygulamalarına yönelik veri tabanları ve yönetim sistemleri ayrı ayrı oluşturulur. Bu sistemde, kullanıcılar uzaktan sisteme erişebilmektedir. Kullanıcıların doğrudan IoT yönetime müdahale edebilmesi güvenlik nedeniyle istenmez. Sisteme çok fazla cihaz bağlanması durumunda, bu cihazlara tek tek elle program yüklemek iş yükünü artırır ve zaman kaybına neden olur. Belki de bu cihazlara yüklenmesi gereken programların eş zamanlı yüklenmesi gerekebilir. Parça parça programlar büyük bir sistemi oluşturabilir.

11. Uç birimde OTA sağlanması

Şekil 4'te verilen, uçbirim uygulama programı bir sonsuz öngü içinde çalışır. Uygulamanın kesintiye uğramaması için OTA işlemleri uçbirim uygulama programının izin verdiği güvenli bir bölgede yürütülür. Eğer bir OTA işlemi bir başka eğişle yeni bir program yüklenmesi gerçekleşecek ise uçbirim uygulama programının gereken önlemlerini örneğin aktif ikışlarının pasife alınması ve verilerini almasına, saklamasına izin verilir. Uygulama programının izin verdiği aşamada OTA gerçekleşir ve sistem yeniden başlat noktasından (Reset) almaya başlar.

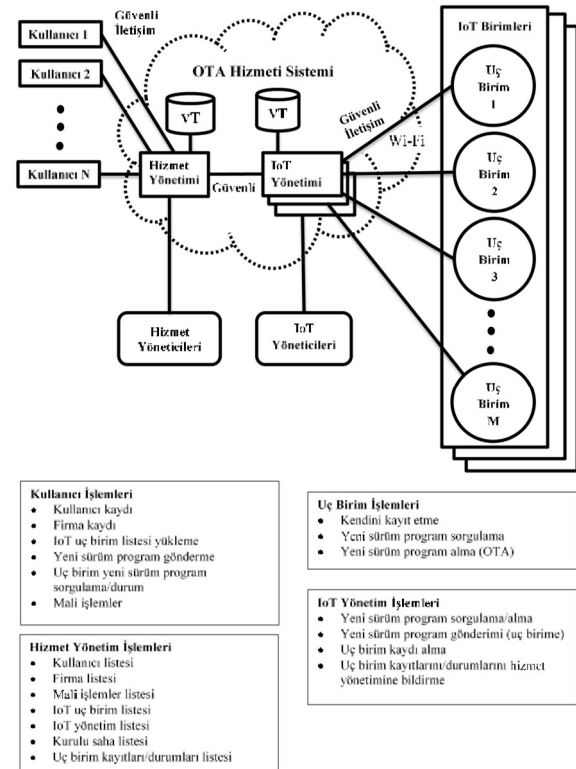


Şekil 4: Uçbirimde OTA Gerçekleştirilmesi

5. Önerilen uzaktan yönetim sistemi üzerine bir uygulama

Uzaktan program yükleme (OTA) hizmeti sistemi, ahadaki IoT uçbirimlere yeni program yükleme işlemini firmaya güvenilir bir şekilde yerine getiren bir sistemdir. Önerilen uzaktan program yükleme hizmetinin sistem tasarımı Şekil 5'te erilmektedir. OTA hizmeti sistemi; hizmet yönetimi, IoT önetimi, kullanıcılar, yöneticiler ve uçbirimlerden luşmaktadır. Hizmet ve IoT yönetimlerinin, ayrı ayrı hizmet e IoT yöneticileri vardır. OTA hizmeti sistemi olarak, çbirimlerle kullanıcı arasında, doğrudan veri alışverişi üvenlik nedeniyle kısıtlanmış ve işlemlerin hizmet yazılımı racılığı ile kullanıcılar, kendi uygulamalarına ait işlemlerinin, aberleşmesinin yapılması sağlamıştır. OTA hizmeti aberleşmesini ayrı bir ortam üzerinden yürütür. OTA

uygulanmasında, kullanıcı A'nın istediği uçbirime program yüklemesi için, kullanıcı A, "Sisteme kayıt yaptırdı mı?", "Kayıtlı ise sözleşmeleri imzaladı mı?" veya "Almak istediği hizmet için ücretini ödedi mi?" gibi mali aşamaları da geçmesi, sonra da isteğini hizmet yönetimine bildirmesi istenir. Eğer gelen uygun bir istek ise hizmet yönetimi isteği ve program dosyasını IoT yönetimine aktarır. IoT yönetimi de gelen programı uçbirimlere gönderir. Sonuç olarak, uçbirimde gerçek program yüklemesi yapılır.



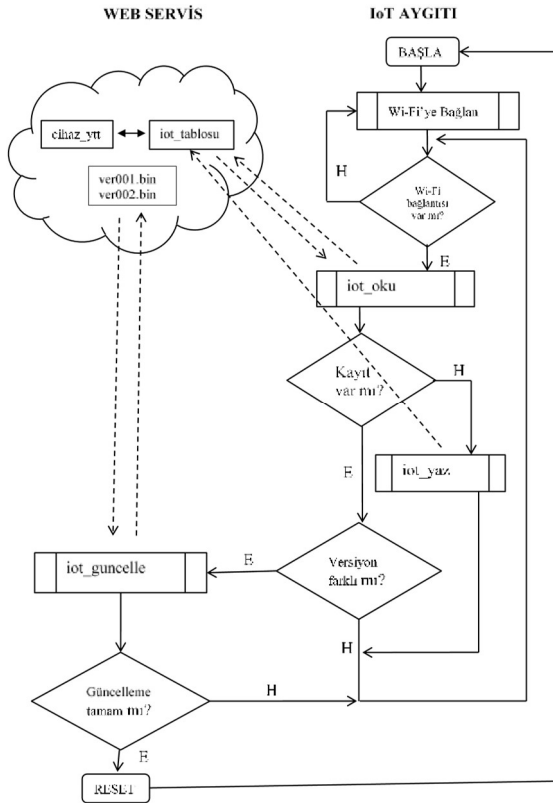
Şekil 5: Önerilen Uzaktan Program Yükleme Hizmeti

Burada Tümlüşik sisteme benzer olarak *PHP* ve *MySQL* tabanında uygulanması gerçekleştirilmektedir. Bu seçim; Uzaktan Yönetim Sisteminin bir PC üzerinde gerçekleştirilmesi sağlandığı gibi kolaylıkla Bulut üzerine alınarak Web Hizmeti Sunucuları üzerinde de gerçekleştirilmesine olanak sağlamaktadır. Çalışma öncelikle PC üzerinde uzaktan yönetim sisteminin gerçekleştirilmesi üzerinde tamamlanmıştır. Daha sonra bir Web Sunucu üzerine yazılımlar taşınarak yönetim sisteminin çalışması gözlenmiştir.

5.1. Önerilen uzaktan yönetim sisteminin çalışma prensibi

Önerilen uzaktan yönetim sisteminin çalışma prensibi Şekil 6'da gösterilmektedir. Bu sistem çalışmaya başladığında önce, IoT tarafında *Wi-Fi* bağlantısı fonksiyonu çalışır. *Wi-Fi* bağlantısı yoksa tekrar başa döner. Eğer *Wi-Fi* bağlantısı var ise *iot_oku* fonksiyonu çalışır. *iot_oku* fonksiyonu bulut üzerindeki *iot_tablosu* ile bağlantılıdır. *iot_oku* fonksiyonu,

uluta istek gönderir ve cevabını alır. Daha sonra *iot_oku* fonksiyonunun işleri bitince kayıt varsa ve sürüm farklıysa *ot_guncelle* fonksiyonu çalışır. Eğer güncelleme tamamsa cihaz *reset*'e gider ve sonra tekrar sistemin çalışması başlanır. Sistemin çalışmasındaki diğer bir yol ise, sistem alışmaya başladığında *Wi-Fi* bağlantısı varsa, *iot_oku* fonksiyonu işini bitirince eğer kayıt yoksa *iot_yaz* fonksiyonu çalışır. *iot_yaz* fonksiyonu işlerini bitirince *Wi-Fi* bağlantısı varsa bir noktaya geri döner. Sistemin çalışmasındaki diğer tüm adımlar şekil üzerinde gösterilmektedir. Bu sistemde, *ot_oku.php*, *iot_yaz.php* ve *iot_guncelle.php* dosyaları bulut üzerinde bulunmaktadır ve PHP dilinde yazılmıştır. Aynı zamanda *ver001.bin* ve *ver002.bin* uzantılı dosyaları da bulut üzerinde bulunmaktadır. *iot_guncelleme* fonksiyonu ile bulut üzerinde bulunan sürüm cihaz üzerindeki farklı ise güncelleme başarılı şekilde yapılabilmektedir.



Şekil 6: Önerilen Uzaktan Yönetim Sisteminin Çalışma prensibi

Aşağıdaki Tablo 4'te sistemde kullanılan tetikleyiciler ve SQL sorguları gösterilmektedir.

Tablo 4: Tetikleyiciler

Tetikleyiciler	Sql Kod
istekEkle	INSERT INTO cihaz_ytt(ip, iot_adi, ver, yeniver, Date, Time, durum, TimeStamp, islem) VALUES (NEW.ip, NEW.iot_adi, NEW.ver, NEW.yeniver, NEW.Date, NEW.Time, NEW.durum, NEW.TimeStamp, 'EKLE')
istekGuncelle	INSERT INTO cihaz_ytt(ip, iot_adi, ver, yeniver, Date, Time, durum, TimeStamp, islem) VALUES (NEW.ip, NEW.iot_adi, NEW.ver, NEW.yeniver, NEW.Date, NEW.Time, NEW.durum, NEW.TimeStamp, 'GÜNCELLE')
istekSil	INSERT INTO cihaz_ytt(ip, iot_adi, ver, yeniver, Date, Time, durum, TimeStamp, islem) VALUES (OLD.ip, OLD.iot_adi, OLD.ver, OLD.yeniver, OLD.Date, OLD.Time, OLD.durum, OLD.TimeStamp, 'SİL')

5.2. Önerilen uzaktan yönetim sistemindeki kullanıcı ekranı

Bu sistemde kullanıcılar, uzaktan bulut üzerinde bulunan istediği dosyayı cihazına uzaktan yükleyebilir ve kullanıcılar sistemini uzaktan takip edebilir veya bulut ortamına istediği yazılım dosyasını (OTA hizmeti bulunan ".bin" dosyası) gönderebilir ve isterse sisteme yüklediği bu dosyayı cihazına uzaktan yükleyebilir. Bu sistem bu tür hizmet almak isteyenler için hazırlanmış bir uzaktan yönetim sisteminin hizmet yazılımıdır. Sisteme kaydı olmayan sistemi hiç kullanamaz ya da sistemin sınırlı özelliklerini kullanabilir.

5.3. IoT cihaz yönetim paneli

Kullanıcılar veya yöneticiler, IoT cihaz yönetim panelinden sisteme bağlı cihazları görebilir.

5.4. IoT cihazların durum takibi

Bu sistemde IoT cihazların takibi yapılmaktadır. Cihazlar sisteme hazır duruma getirildikten sonra bu sisteme bağlandığında cihazların bilgileri veri tabanına otomatik olarak kaydedilir. Cihazın *ip* adresi, *MAC* adresi, üzerindeki sürüm adı, tarih, zaman ve durum bilgileri tutulur. Cihaz için yeni sürüm talebi yapıldığında belli bir süre sonra sistem yeni sürümü cihaza yükleyinceye kadar tekrar tekrar çalışacaktır. Eğer yeni sürüm talebi verildikten sonra internet bağlantısını kesersek ve sonra cihazı tekrar sisteme bağlarsak cihaz kaldığı yerden yeni sürüm talebini yükleyinceye kadar tekrar tekrar çalışacaktır.

5.5. Kullanıcıların sisteme dosya yükleyebilme ekranı

Kullanıcıların sisteme dosya yükleyebilecekleri ekranlar oluşturulmuştur ve nasıl yükleme yapılacağı bu ekranlardan görülmektedir.

5.6. Yönetici ekranı

Yönetici sisteme bağlı olan tüm cihazları yönetici ekranından görebilir. Sisteme 3 adet *NodeMCU* cihaz bağlandıktan sonra sistemde bu cihazların aktif olduğu gözlemlenmiştir. Bu sistemde cihazların sürümlerini değiştirebileceğimiz ekran da bulunmaktadır.

Yerel yönetim/uzaktan erişim sisteminde, IoT yönetimi PC üzerinde bulunmaktadır. Kullanıcılar PC'ye bağlı uygulamalar ya da programlar vasıtasıyla isteklerini IoT yönetimine iletirler. PC yerine *RaspberryPi* gibi cihazlar kullanılarak IoT yönetimi işlemleri daha küçük ve maliyeti daha az olan cihazlar da kullanılabilir. Aynı zamanda birden çok PC kullanmak yerine *RaspberryPi* kullanılması hizmet almak isteyen kişilerin ya da şirketlerin maliyetini düşürür.

5.7. Uzaktan yönetim sisteminin bir web sunucusuna taşınması

Bu çalışmada *nilguninceis.com* alan adı, web sunucusu hizmeti "www.ekonomikhost.net" [28] adresinden alınmıştır.

Öncelikle alınan hizmet karşılığında verilen <http://nilguninceis.com:8880> adresinden, *Plesk* web sunucusu paneline [29] girilerek, kullanıcı adı ve şifre ile giriş yapılmaktadır.

6. Önerilen uzaktan yönetim sisteminin geliştirilmesi

Önerilen uzaktan yönetim sisteminin geliştirilmesi için önerilerin birer bulut hizmeti yazılımına dönüştürülerek tamamen bulut üzerinde dağıtık bir sistem olarak oluşturulduğunda sistemde oluşabilecek kesintilerin nedenleri belirlenmiştir. Bunlar:

- IoT yönetimi ve uçbirimler arasında güvenli iletişimin kopması ya da iletişimin bilinmeyen güvensiz bir iletişime dönüşmesi,
- OTA hizmeti sistemi içindeki hizmet yönetimi ile IoT yönetimi arasında güvenlik protokolünün kopması ya da bilinmeyen bir protokole dönüşmesi,
- Kullanıcılar ve hizmet yönetimi arasında kullanıcıdan kaynaklı güvenli iletişimin bozulması,
- Kullanıcılar ve hizmet yönetimi arasında güvenli iletişimin kopması ya da iletişimin bilinmeyen güvensiz bir iletişime dönüşmesi,
- İletişimin gecikmesi,

olarak belirlenmiştir.

Daha güvenli bir sistem oluşturmak için güvenlik seviyeleri oluşturulmalı ve bu seviyelerde uygulanması gereken tedbirler belirlenerek hangi seviyede ise o seviyedeki tedbirler uygulanmalıdır.

7. Deneysel sonuçlar

Sistemin deneysel sonuçlarını görebilmek için oluşturulan sistem 21 gün boyunca incelenmiştir. Bu süre boyunca sisteme 4 adet *NodeMCU* cihazı bağlanmış ve sistemde bu cihazların aktif ya da pasif olduğu durumlar görülmektedir. Bu cihazların 455 işlemi aktif durumdayken 45 işlemi pasif durumdadır. Bunun yanında sistemde ekleme, silme ve güncelleme işlem türlerini ve 15 farklı *ip* bilgisini içeren toplam 500 işlem yapıldığı tespit edilmiştir.

Tablo 5'te görüldüğü gibi, sistem üzerindeki programların *Versiyon 1* ve *Versiyon 2* türlerinin işlem durumları incelenmiştir. *Versiyon 1*'deki işlemlerin ekleme sayısı 16, silme sayısı 13, güncelleme sayısı 299 iken, *Versiyon 2*'deki işlemlerin ekleme sayısı 13, silme sayısı 13, güncelleme sayısı 146 olmuştur. *Versiyon 1*, *Versiyon 2*'ye göre %91 daha fazla işleme sahiptir.

Tablo 5: Versiyonların İşlem Durumlarının Sayıları

	Versiyon 1	Versiyon 2
Ekleme	16	13
Silme	13	13
Güncelleme	299	146
Toplam İşlem	328	172

OTA kapsamındaki uygulamalarda; güvenlik, güvenilirlik, doğrulama, içerik dağıtım ağı (CDN) ve bulut yükü dengesi gibi güncel problemler için çözüm önerilerinin deneysel çalışmaları da yapılması gerekmektedir. Bu çalışmada, OTA işlemlerindeki güvenlik yöntemlerinin önemi vurgulanmaktadır.

8. Sonuçlar

Günümüzde kullanımı yaygınlaşmış IoT sistemlerine ve uçbirimlerine yönelik doğrudan program yükleme işlemleri firma içinde kapalı olarak yapılmaktadır. Firma içinde yapılmasının en önemli nedeni güvenli bir ortamda program yüklemenin basitçe gerçekleştirilmesidir. Ancak uygulamada çeşitli sahalara yerleştirilmiş IOT cihazlarına yeni bir program sürümünün doğrudan yüklenmesi maliyetli ve kolay olmayan bir işlem olacaktır. Bu çalışmada uzaktan program yüklemeyi karşılayan OTA işlemlerinin bir hizmet olarak sunulması önerilmiştir. Güvenli uzaktan program yükleme işlemlerinin firma içinde tasarlama, geliştirme ve bakım maliyetlerinin karşılanması gerekmektedir. Firma içinde çözülmesi gereken OTA işlemlerinin, her türlü çalışma türlerine göre kesintisiz ve hatasız yerine getirilmesini ve güvenlik koşullarını da sağlayan genel kullanıma açık, maliyeti düşük hizmetler olarak sunan bir bilişim sistemi tasarlanıp gerçekleştirilmiştir. Bu çalışma ile ilk defa bir açık kullanımlı uzaktan program yükleme hizmeti sistemi geliştirilmiştir. Geliştirilen bilişim sistemi benzer başka problemlere de uyarlanabilir. Sistemin faydalanıcıları olarak; özellikle gelişmiş OTA sistemi gerçekleştirme ve sürdürme maliyetlerine girmesi mümkün olmayan mikro düzeyde veya küçük düzeyde firmaların projelerinde kullanımına bir hizmet sunulmuş olmaktadır. Bu ortamda küçük adımlarla başlayan bir firma projeleri geliştikçe artan OTA hizmeti gereksinimi

arşılanmakta ve sadece kendisine yönelik bir alt sistem kurulmasına imkân verilecek şekilde büyümesi ölçülenebilmektedir. Çalışmada tasarlanan sistem, *MYSQL* veri tabanı kullanan *PHP* dilinde yazılmış bir uzaktan yönetim istemi yazılımıdır. Bu sistemin geliştirilmesi için yönetim yazılımları birer bulut hizmeti yazılımına dönüştürülebilir.

Güvenlik kapsamı bakımından program yükleme işlemi bir ifreyle ve belirli bir OTA bağlantı noktası seçimi ile orunmaktadır. Güvenliği daha da artırmak için, *Arduino OTA* ütüphanesi ile sağlanan işlevsellikler kontrol edilmektedir. Bu alışmanın mevcut çalışmalara olan üstün yanları, belli koruma şlevleri önceden oluşturularak, geliştirici tarafından her hangi bir ek kodlamaya gerek duyulmamasıdır. Ayrıca, Önerilen zaktan yönetim sisteminin kesintiye uğramaması için OTA şlevleri uçbirim uygulama programının izin verdiği güvenli bir bölgede yürütülmüştür. Gerçeklenen sistemde tüm işlevlerin sayısı arttıkça zaman bakımından kayıp vermeden daha güvenli bir sistemi oluşturma ve yönetmenin zorluğu artmaktadır. Çalışmada bunları karşılayacak ileri uygulama önerileri de verilmiştir.

9. Kaynaklar

- 1] S., Wagle, T., Sathe, G., Vamburkar, A., Gaikawai, "Regression Based Prediction Algorithm for Remote Controlling of IoT Based Applications", 2015 International Conference on Computing and Network Communications (CoCoNet), IEEE, 2015.
- 2] Wikipedia – Control Systems, 2021.
- 3] M., Bak, "Control systems with constraints", PhD Thesis, Technical University of Denmark, 2000.
- 4] K., Kang, Z., Pang, L. D., Xu, L., Ma, C., Wang, "An Interactive Trust Model for Application Market of the Internet of Things", IEEE Transactions On Industrial Informatics, VOL. 10, NO. 2, 2014.
- 5] A., Behura, A., Narayan, A. K., Ray S. K., Pani, "A Complete Model for IOT Application", Proceedings of the International Conference on Intelligent Sustainable Systems (ICISS 2017), ISBN:978-1-5386-1959- 9, IEEE Xplore Compliant - Part Number:CFP17M19-ART, 2017.
- 6] S. A., Al-Qaseemi, H.A., Almulhim, M.F., Almulhim, S.R., Chaudhry, "IoT Architecture Challenges and Issues: Lack of Standardization", Future Technologies Conference, San Francisco, United States, IEEE, 2016.
- 7] C., Wang, M., Daneshmand, M., Dohler, X., Mao, R. Q., Hu, H., Wang, "Guest editorial - special issue on Internet of things (IoT): Architecture protocols and services", IEEE Sensors Journal, vol. 13, no. 10, pp. 35053510, 2013.
- 8] M., Zdravkovic, M., Trajanovic, J., Sarraipa, R., Lezoche M., Jardim-Gonçalves, "Survey of Internet-of-Things platforms", 6th International Conference on Information Society and Technology, ICIST 2016, Kopaonik, Serbia, pp. 216-220, 2016.
- 9] A., Rajalakshmi, H., Shahnasser "Internet of Things using Node-Red and Alexa", 2017 17th International Symposium on Communications and Information Technologies (ISCIT), 2017.
- 10] S., Dey, A., Roy, S., Das, "Home automation using Internet of Things", Ubiquitous Computing, Electronics & Mobile Communication Conference (UEMCON), IEEE Annual, 2016.
- 11] G., Cuijuan, M., Changyun, W., Zhigang, X., Lina, "Research and Implementing of Remote Update for Network Telephone System Program Based on Ethernet", 2010 2nd International Conference on Signal Processing Systems (ICSPTS), 2010.
- 12] W., Tarneberg, V., Chandrasekaran, M., Humphrey, "Experiences creating a framework for smart traffic control using AWS IOT", IEEE/ACM 9th International Conference on Utility and Cloud Computing, 2016.
- 13] D. H., Kang, M. S., Park, H. S., Kim, D.Y., Kim, S.H., Kim, "Room temperature control and fire alarm/suppression IoT service using MQTT on AWS", International Conference on Platform Technology and Service, 2017.
- 14] H., He, Z. H., Ma, X., Li, H., Chen, W., Shao, "An approach to estimating cost of running cloud applications based on AWS", 19th Asia-Pacific Software Engineering Conference, 2012.
- 15] <https://www.businesswire.com/>, "Dell Enters Embedded PC Market with New Embedded Box PCs, Helping Smart Systems Connect to the Internet of Things", 06.03. 2021,
- 16] I.F., Akyildiz, W., Su, Y., Sankarasubramaniam, E., Cayirci, "Wireless sensor networks: a survey", Elsevier, Computer Networks, 38 (2002) 393–422, 2002.
- 17] N. İncereis, B. T., Akgün, "A Remote Program Loading Service Design and Implementation", Turkish National Software Engineering Symposium (UYMS), IEEE, 2020.
- 18] A., Kanda, T., Kurafuji, K., Takeda, T., Ogawa, Y., Taito, K., Yoshihara, M., Nakano, T., Ito, H., Kondo, T., Kono, "A 24-MB Embedded Flash System Based on 28-nm SG MONOS Featuring 240-MHz Read Operations and Robust Over-the-Air Software Update for Automotive Applications", IEEE Solid-State Circuits Letters, Vol. 2, NO. 12, 2019.
- 19] X., Cao, J., Xu, K., Huang, "Cooperative Interference Management for Over-the-Air Computation Networks", IEEE Transactions On Wireless Communications, Vol. 20, NO. 4, 2021.
- 20] A., Ghosal, S., Halder, M., Conti, "STRIDE: Scalable and Secure Over-The-Air Software Update Scheme for Autonomous Vehicles", ICC 2020 - 2020 IEEE International Conference on Communications (ICC), IEEE, 2020.
- 21] M. L., Manna, P., Perazzo, L., Treccozi, G., Dini, "Assessing the Cost of Quantum Security for Automotive Over -The-Air Updates", 2021 IEEE Symposium on Computers and Communications (ISCC), IEEE, 2021.
- 22] J. A., Stankovic, "Research directions for the internet of things", Internet of Things Journal, IEEE, 2014.
- 23] <https://www.endustri40.com/bulut-bilisim-cloudcomputing-nedir/>, 04.03.2021.
- 24] <https://media.readthedocs.org/pdf/arduinoesp8266/latest/arduinoesp8266.pdf>, Ivan Grokhotkov, ESP8266 Arduino Core Documentation Release 2.5.038-g95cf925, Feb 26, 2019.

- [25] <https://docs.espressif.com/projects/espressif/en/latest/esp32/security/secure-boot-v1.html>, 27.01.2022.
- [26] <https://docs.espressif.com/projects/espressif/en/latest/esp32/security/secure-boot-v2.html>, 27.01.2022.
- [27] <https://www.lab4iot.com/2021/02/21/esp32-secure-firmware-update-over-the-air-ota/>, 27.01.2022.
- [28] www.ekonomikhost.net, Ekonomikhost İnternet ve Bilişim Hizmetleri, 2021.
- [29] <https://www.plesk.com>, Plesk International GmbH, 2021.

Özgeçmişler



Bekir Tevfik Akgün, İstanbul D.M.M.A. Elektrik Mühendisliği Lisans eğitimini 1981 yılında, İstanbul Teknik Üniversitesi Kontrol ve Bilgisayar Mühendisliği Yüksek Lisans ve Doktora eğitimini 1984 ve 1991 yıllarında tamamlamıştır. 1992 yılında Yrd. Doç., 1996 yılında Doçent ve 2002 yılında Profesör unvanını almıştır. 1982-1986 yılları arasında Yıldız Teknik Üniversitesi'nde Araş. Gör., 1986-2000 yılları arasında İstanbul Teknik Üniversitesi'nde Araş. Gör. ve Öğretim Üyesi olarak çalışmıştır. 2000-2008 yılları arasında Yıldız Teknik Üniversitesinde Öğretim Üyesi olarak akademik ve yönetici görevlerini yürütmüş ve Dekanlık görevini tamamlayarak emekli olmuştur. 2009 yılından günümüze İstanbul Okan Üniversitesi Bilgisayar Mühendisliği Bölümünde Öğretim Üyesi olarak çalışmaktadır. Ohio State Üniversitesinde kısa süreli konuk Öğretim Üyesi olarak araştırma etkinliklerinde bulunmuştur. Uzmanlık alanları arasında Gömülü Sistemler, Akıllı Sistemler, Bilgisayarda Grafik ve Bilgisayar Oyunları yer almaktadır.



Nilgün İncereis, Ondokuz Mayıs Üniversitesi Fizik Öğretmenliği, Bilgisayar ve Öğretim Teknolojileri Öğretmenliği lisans eğitimlerini ve Fizik Yüksek Lisans eğitimini 2009, 2012 ve 2012 yıllarında, İstanbul Okan Üniversitesi Bilgisayar Mühendisliği Yüksek Lisans eğitimini 2019 yılında, Abant İzzet Baysal Bilgisayar Mühendisliği lisans eğitimini 2020 yılında tamamlamıştır. 2020 yılından beri İstanbul Okan Üniversitesi Bilgisayar Mühendisliği'nde doktora yapmaktadır. 2013-2020 yılları arasında İstanbul Okan Üniversitesi'nde, 2020-2021 yılları arasında Zonguldak Bülent Ecevit Üniversitesi'nde öğretim görevlisi olarak çalışmıştır. 2021 yılından günümüze Bartın Üniversitesi Uzaktan Eğitim ve Uygulama ve Araştırma Merkezinde öğretim görevlisi olarak çalışmaktadır. Çalışma alanları bulut bilişim, nesnelerin interneti, makine öğrenmesi ve derin öğrenme üzerinedir.

Tersine Mühendislik Yöntemi ile Test Senaryo Üreten ve Yürüten Çerçeve: Finansal Bir Uygulamada Vaka Çalışması

Test Case Generation and Execution Framework with Reverse Engineering Method: Case Study for a Financial Application

Emine Dumlu Demircioğlu¹, Oya Kalıpsız¹

¹Bilgisayar Mühendisliği
Yıldız Teknik Üniversitesi
eminedumlu@gmail.com, oyakalipsiz@gmail.com

Özet

bu makalede, birbirleriyle API mesajlarını kullanarak etişimde bulunan istemci-sunucu mimarisine dayalı istemler için, farklı veri formatlarını destekleyen bir mesaj üdümlü test senaryosu üreten ve yürüten çerçeve yaklaşımı nerilmektedir. Temel olarak, çerçeve ağ üzerinde istemci-sunucu uygulamaları arasındaki iletişimden elde edilen ağ log dosyasından tersine mühendislik yöntemi ile API mesajlarını elde ederek yürütülmesini sağlamaktadır.

üyük ölçekli iş uygulamalarının fonksiyonel doğruluğunun kararlı bir şekilde manuel olarak test edilmesi zaman alan ve ataya açık bir süreçtir. Bu sürecin uçtan uca (test senaryosu retiminden yürütülmesine, doğrulanması ve hata raporlanması kadar geçen sürecin) otomatikleştirilmesi azılım testinde verimliliği artırmaktadır. Günümüzde API testinde kullanılan mevcut test araçları, tüm iş alanlarına entegre edilememektedir. Dahası, var olan test otomasyon araçları daha çok HTTP protokolü üzerinden erişilebilen WEB-API'leri içindir. Bu çalışmanın motivasyonu da, etişim olarak API mesajlarını kullanan istemci-sunucu mimarisine dayalı uygulamalara yönelik regresyon testi tomasyonu çerçevesi azlığından kaynaklanmaktadır.

bu makalede önerdiğimiz yaklaşımımızın etkinliğini eğerlendirmek için finansal bir sisteme uyguladık.

anahtar kelimeler: Uygulama Programı Arayüzü Testi, Otomasyon Testi, İstemci-Sunucu Uygulamaları, Vaka Çalışması

Abstract

In this paper, a framework that generates and executes a message driven test scenario that supports different data formats is proposed for the systems based on client-server architecture that communicate with each other by using different data formats. Basically, the framework provides the generation of API messages by using reverse engineering method from the network log file obtained from the communication between client-server applications on the network. Repetitive manual testing of the functional

correctness of large-scale business applications is a time-consuming and error-prone process. Automating this process by ensuring end-to-end increases software testing efficiency. The studying is motivated due to the fact that there is a lack of regression test automation framework in a specific domain: client-server apps which uses API messages for the communication, such as financial applications. We have applied the proposed testing framework in this paper into a financial systems in order to evaluate the effectiveness of the framework.

Keywords: API Testing, Automation Testing, Client-Server applications, Case Study

1. Giriş

Yazılım testi, yazılım ürünündeki hataları tespit etmek, ürünün kalitesinden emin olmak amacıyla manuel veya otomatik olarak yürütülebilen yazılım geliştirme yaşam döngüsünde büyük öneme sahip olan bir süreçtir. Yazılım geliştirme süreç modeli olarak artırılmış süreç modelini kullanan şirketlerde artırılmış olarak geliştirilen yazılım, her artırımda gelen yeni gereksinimler veya yazılım değişikliği talepleri mevcut yazılımda değişiklik yapılmasını gerektirir. Yapılan değişiklikler ve geliştirilen yeni fonksiyonlar devreye alım öncesi doğrulanma ve etkili bir şekilde regresyon testlerinin gerçekleştirilmesi ihtiyacını ortaya çıkarmaktadır. Regresyon testi, yazılıma yeni eklenen özelliklerin veya yazılımdaki değişikliklerin mevcut sistemde herhangi bir yan etkiye sebep olup olmadığını doğrulamak amacıyla gerçekleştirilen testler [1] [2]. Günden güne artırımlı süreç modeli kullanımındaki artış, etkili bir regresyon testi stratejisi ihtiyacını da ortaya çıkarmıştır. Bu testleri özellikle büyük ölçekli iş uygulamalarında manuel şekilde gerçekleştirmek epey zordur [3] [4] [5]. Binlerce farklı test senaryosunun manuel oluşturulması, yürütülmesi ve doğrulanması insan kaynağına büyük yatırım yapmayı gerektirmektedir [26]. Yeni bir yazılım versiyonunun devreye alım öncesi yapılan bu testler, elle yazılmış veya öndecen kaydedilmiş istekleri yeni sürüme göndermek ve belirli yanıtları almak şeklinde gerçekleştirilebilmektedir. Bu süreç,

şitli test araçları ile desteklense bile zahmetli bir iştir. Bu : bir test tipinde, yeni sürümün kontrol edilmesi bazı iş larında tamamen otomatik olacak şekilde çrekleşmemektedir [21]. Bunun yanında, manuel testin şarısının, manuel testi yürüten kişinin o günkü ruh haline ğlı olduğu da bilinmektedir. Dikkat eksikliği, odak azalması gecikme gibi faktörler yazılım testinin verimliliğini çilemekte ve tüm projeye zarar verebilmektedir [8][9].

st otomasyonu, test senaryolarının (test cases) şturulmasından yürütülmesine, doğrulanması ve hata raporlaması da dahil olmak üzere uçtan uca otomasyon olarak şünülmelidir [9]. Otomatik olarak test senaryolarının nasıl şturulacağına ilişkin yapılan çalışmalar, otomasyon stinde önemli bir yere sahiptir ve hala günümüzde ştırma konusudur [11].

ı çalışmanın amacı da, istemci-sunucu mimarisine dayalı temeller için, sunucu üzerindeki API versiyonu ncellemeleri sonrası bir regresyonun oluşup oluşmadığını şpit etmek için bir regresyon test otomasyonu uygulaması klaşımı önermektedir. Motivasyonumuz, iletişim olarak AI mesajlarını kullanan sistemlere yönelik literatürde gresyon testi otomasyon çerçevesi azlığından şnaklanmaktadır.

alışmamız üç aşamadan oluşmaktadır:

1. Test senaryolarının üretilmesi,
2. Üretilen test senaryolarının otomatik olarak yürütülmesi,
3. Testlerin doğrulanması ve hata raporlama

ıklaşımımız test senaryolarının yeniden kullanımını ştelemekle birlikte API mesajları ile iletişimde bulunulan : TCP sunucusunun regresyon testlerinde %100 otomasyonu sağlamaktadır.

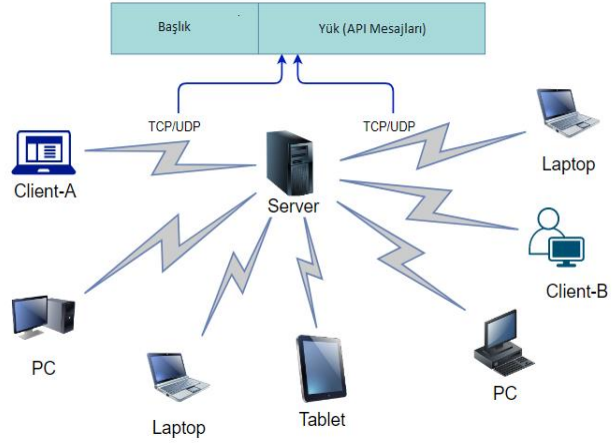
ı makalede ise, test senaryolarının otomatik olarak ştilmesi, yürütülmesi ve doğrulanmasını sağlayan çerçeve klaşımımız anlatılacaktır.

ı makalenin yazım organizasyonu şu şekildedir; Bölüm de; çalışmaya ilişkin temel kavramlar, Bölüm 3'te API stine yönelik literatür taraması yapılmıştır. Bölüm 4'te; erdiğimiz çerçeveye ilişkin detaylar, bölüm 5'te çerçevenin gulanması ve vaka analizine ilişkin sonuçlar ylaşılabacaktır. Bölüm 6'da ise sonuçlar ve gelecek lışmalarımız hakkında bilgi verilecektir.

2. Temel Kavramlar

z konusu hedef sistem mimarisini Şekil 1'de görebilirsiniz. emci-Sunucu arasındaki iletişim TCP veya UDP protokolü erinden kurulmaktadır. İstemci uygulaması, sunucu IP'si ve nucu üzerinde önceden tanımlanan port bilgisini kullanarak ğlantı gerçekleştirmektedir. TCP (Transmission Control otocol), internet üzerinde veri aktarımında kullanılan venilir, bağlantı temelli bir protokoldür. UDP (User tagram Protocol) ise, IP üzerinde çalışan bağlantısız nelli bir protokoldür. İstemci ve sunucu arasındaki iletişim, P veya UDP veri paketleri kullanılarak sağlanmaktadır. r veri paketi başlık ve veri alanı (payload) bölümünden şmaktadır. Başlık bölümü, kaynak/hedef port numaralarını rir. TCP başlığı ayrıca ne kadar verinin gönderildiğini çip etmek için sıra numaraları bilgisini de lundurmaktadır. Veri bölümü ise, iletişimde kullanılan

verileri (API mesajlarını) taşır [30].



Şekil 1 Hedef Sistem Mimarisi

Bu makalede önerilen yaklaşım, veriye paket seviyesinde ulaşmak ve test senaryolarını, tersine mühendislik yöntemi ile elde etmektir. Bu amaçla Wireshark aracı [12] kullanılarak istemci-sunucu arasındaki iletişimde kullanılan veri paketleri yakalanmıştır. Wireshark bir paket analizi aracıdır. Veri paketleri, bu araç kullanılarak bir PCAPs (Packet Captures) dosyasında saklanır. PCAPs dosyası, istemci-sunucu arasındaki iletişimi gösteren bir ağ log dosyasıdır. Örnek bir PCAPs dosyası içeriği Şekil 2'de gösterilmiştir. Dosyadaki her veri paketi, kullanılan taşıma katmanı protokolüne bağlı olarak bir TCP veya UDP veri paketidir ve bu paketler iletişimde kullanılan API mesajlarını içerir.

3. İlgili Çalışmalar

API testi, uygulama programı arayüzünün test edilmesini sağlayan ve iş mantığının işlevselliğini, güvenilirliğini, güvenliğini sağlamak için büyük önem taşıyan bir test türüdür. API'lerin, bulut teknolojilerinin ve birbirine bağlı uygulamaların sayısının artmasıyla birlikte API testi, yazılım testinin kritik bir parçası haline gelmiştir. Bu test, kullanıcı arayüzü olmadığı için mesaj seviyesinde gerçekleşir. İş mantığı katmanının içeriği, uygulamaların başarılı çalışması için çok önemlidir. Bir API mesajındaki hata büyük ölçekli yazılım hatalarına sebep olabilir. Bundan kaynaklı, API mesajlarının kalitesini sağlamak için API testi zorunlu hale gelmiştir. API testi ve bu amaç için var olan araç desteği konusunda araştırma topluluğunda daha fazla çalışmaya ihtiyaç bulunmakta ve endüstriyel uygulamada test otomasyonunun gerçek uygulamalarına ilişkin deneyim raporlarının nadir olduğuna inanılmaktadır [31].

Literatürde var olan API testi araçları çoğunlukla bir uygulama katmanı protokolü olan HTTP protokolü ile erişilebilen Web API'leri içindir; özellikle Rest-API en yaygın kullanılan API'dir [5][13][14]. REST tabanlı web uygulamaları temel olarak REST API yanıtları vermek için JSON veya XML formatlarını kullanır [13]. Bu tür test

raçları, kullanılabilirlik açısından tüm iş alanlarına entegre edilememektedir.

literatürde, SoapUI [25], Postman [24], jMeter ve diğerleri gibi regresyon testlerinde kullanılabilir pek çok test aracı bulunmaktadır. Bu tür test araçları ile sabit bir test havuzu oluşturulup, regresyon testleri yürütülebilir. Ancak test senaryolarının otomatik olarak üretilmesi hala araştırma konusudur. Bu tür test araçları daha çok HTTP protokolü ile erişilebilen Web tabanlı sunucu testlerinde kullanılmaktadır ve daha uygun olduğu bilinmektedir [21]. TCP sunucu testlerine entegre edilmesinde bir takım kısıtlamalar bulunmaktadır. Ayrıca var olan otomasyon araçlarını kullanmak için test script kodunun yazılması ve bunun eğişen gereksinimlerde bakımının yapılması gerekmektedir.

Ayrıca mevcut API testi araçlarının yüksek ek yük, uzun test hazırlama ve yeniden kullanım zorluğu gibi bazı özellikleri bulunmaktadır [15][19][20]. Günümüzde yaygın olarak kullanılan Jmeter test otomasyon uygulamasını ele aldığımızda da bir takım zorluklar gözlemlemekteyiz. Bu uygulama TCP sunucu testlerini desteklese bile söz konusu edef sistemimize uyarılma aşamasında başarısız olmuştur. Manuel olarak oluşturulan test senaryolarının onaylanma aşamasında bir takım kısıtlamalar ile karşılaşmıştır.

GitHub'da "goreplay" [27], "pollyjs" [28] ve "node-replay" [29] gibi ağ paketlerini yakalayıp, test sistemine karşı oynatan araçları da bulunmaktadır. Bu araçlar, daha çok yük testleri için kullanılmakta ve HTTP trafiğini tekrar oynatmaktadır. Uygulamanın fonksiyonel işlevselliği test edilmemektedir. Önerdiğimiz yaklaşım ile ağ paketleri test sistemine karşı tekrar oynatılmakta ve test sisteminin fonksiyonel işlevselliği test edilmektedir. Literatür aramasına göre, ağ paketlerinden testlerin oluşturulması, regresyon testinde uygulanması ve kullanılmasına yönelik bir çalışmaya rastlayamadık. Ağ log dosyası standart bir dosya olup, çalışmamıza özel değildir. Ağ log dosyası API isteği ve yanıt mesaj çiftlerini içermektedir.

Bu makalede, yukarıda tanımlanan sistemler için literatürde mevcut API test aracı azlığından dolayı ağ üzerinde paket seviyesinde mesajları yakalayan ve regresyon testinde kullanılacak test senaryoları üreten bir tersine mühendislik yaklaşımı önermektedir. Kullanılacak verinin paket seviyesinde yakalanması fikri, hem daha uygulama bağımsız olmayı hedeflememiz hem de farklı istemcilerden gelen istek mesajlarını en kolay şekilde elde etmemizi sağlamasından kaynaklanmaktadır.

4. Test Senaryo Üreten Çerçeve

Bu bölümde, ağ log dosyasından API mesajların elde edilmesine ilişkin uyguladığımız yöntemin ana iş akışına yer vermekteyiz. Elde ettiğimiz API mesajları, test senaryolarına dönüştürülüp gelmektedir. Önerdiğimiz çerçeveyi Java'da geliştirdik. Ağ log dosyasını okuyabilmek için "pkts.io" açık kaynak kodlu kütüphaneyi kullandık [16]. Temel olarak, önerdiğimiz çerçeve istemci-sunucu arasındaki iletişim paketlerinin yakalanıp saklandığı bir Pcaps dosyasını girdi dosyası olarak alır. Bu dosya, çerçeve tarafından analiz edilir

ve istemci-sunucu arasındaki haberleşme mesajlarını elde etmek için tersine mühendislik yaklaşımını uygulanır. Böylece test edilecek sisteme doğru bu dosyayı tekrar oynatmak için (replay) test senaryolarından oluşan test grubu (test suite) üretilmiş olmaktadır. Bir PCAPs dosyasında, farklı protokollere ait API mesajları olabilir. Bu durumda çerçeve her farklı protokol için farklı test grupları oluşturur. Test grubu içerisinde yer alan her test senaryosu istemciden sunucuya gönderilen istek mesajını ve sunucudan istemciye dönen yanıt mesajlarını içerir. Çerçeve bu eşleştirmeyi Kaynak IP:Port ve Hedef IP:Port bilgisine bakarak yapmaktadır.

PCAPs dosyasında yer alan bir veri paketi okunduğunda, çerçeve bu veri paketini analiz etmeye başlar. İlk olarak, iletişimde hangi taşıma katmanı protokolünün (TCP/UDP) kullanıldığını belirler. Eğer TCP kullanılmış ise, çerçeve bu veri paketinin yeniden iletilen (retransmitted packet) bir paket olup olmadığına karar verir. Bir paketin yeniden iletilen paket olup olmadığı bilgisi, paketin üzerinden yer alan sıra numaralarından ve verinin boyutu bilgisinden hesaplanmaktadır. Eğer bir paketin yeniden iletilen bir paket olduğu tespit edilirse, ilgili paketin önceden test grubuna eklendiği bilindiği için o pakette yer alan mesajlar yeni bir test senaryosu olarak test grubuna eklenmez. Bu durum aynı test senaryosunun üretilmesinin önüne geçer. UDP bağlantısız temelli bir protokol olduğundan, yeniden iletim söz konusu değildir.

Bu aşamadan sonra, hedef sistem için iletişimde hangi uygulama katmanı protokollerinin kullanıldığı tespit edilmektedir. Bu aşamada sezgisel arama yöntemi (heuristic search methods) uygulanmıştır. Belirlenen mesaj desenleri, paketin veri bölümünde aranır. Örneğin, finansal verinin iletimi için kullanılan FIX protokolüne göre, her FIX protokolü mesajı "8 = FIXT" ile başlar ve "10 = XYZ" ile biter [17]. Bir veri paketinin payload bölümünde, FIX protokolüne ait bir API mesajının olup olmadığı aşağıdaki desen uygulanarak arama yapılmıştır:

```
Pattern.compile("8=FIXT.*?\\x0110=.{3}\\x01")
```

Sezgisel arama yöntemi, sırayla ağ log dosyasından elde edilen veriden ilgili mesaj desenini üretmeye çalışır. Farklı uygulama alanları için, farklı desenler belirlenerek çerçeveye entegre edilebilir.

Kullanılan uygulama katmanı protokolü tespit edildikten sonra, paket içerisinde yer alan veri çıkarılır ve söz konusu sistem için belirlenen mesaj formatına göre mesajlar yeniden oluşturulur. Bir mesaj oluşturulurken, paketin içerisindeki veri bölümü parçalanmış olabilir. Çünkü paket üzerindeki veri bölümünün taşıyabileceği maksimum veri boyutu bulunmaktadır. Eğer parçalanma tespit edilirse, veri bölümü hafızada saklanır ve anlamlı mesaj oluşabilmesi için bir sonraki paketin veri bölümü ile birleştirilir.

Son olarak, paketin varış zamanı, Kaynak IP:Port, Hedef IP:Port bilgileri de paket üzerinden elde edilir. Bu bilgiler doğrultusunda mesajların istemci tarafından üretilen bir istek mesajı veya sunucudan alınan bir yanıt mesajı olup olmadığına karar verilir. Yukarıda verdiğimiz bilgiler

doğrultusunda çerçeveyi geliştirmek için kullandığımız algoritma aşağıda verilmiştir.

```

Algorithm 1: createTestSuite
it: pcapFile
stat
    1. packet ← getNextPacket();
    2. extractPacketDetail (packet);
    3. messages ← constructMessagesInPacket(packet);
    4. addToTestSuite(messages);
end of pcapFile

```

Algoritma 1, girdi olarak PCAPs dosyasını alan ve dosyada yer alan her paketi okuyarak dosya sonuna kadar döngü kuran createTestSuite rutini gösterir. Her iterasyonda bir sonraki paketi almak için getNextPacket() fonksiyonu çağrılır. İkinci satırda paketin varış zamanı, Kaynak/Hedef IP/Port ve kullanılan taşıma katmanı protokolü (TCP/UDP) bilgilerini elde etmek için extractPacketDetail(packet) fonksiyonu çağrılmaktadır. 3. satırda ise paketin veri bölümünde yer alan API mesajları, hedef sistem için belirlenen mesaj desenleri kullanılarak sezgisel arama yöntemi ile uygun mesaj formatlarına dönüştürülerek test senaryoları oluşturur. 3. adımda elde edilen API mesajları test grubuna eklenir.

Bu yaklaşım farklı uygulama alanlarına kolay bir şekilde adapte edilebilir. Bunun için constructMessagesInThePacket metodu söz konusu hedef sistemin mesaj yapısına uygun olarak uygulanması gerekmektedir. Bu yaklaşımı kullanarak test senaryoları paket düzeyinde otomatik olarak oluşturulabilir. Her test senaryosu, istemciden sunucuya gönderilen istek mesajları ve sunucudan gelen beklenen yanıt mesajlarını içerir.

Bazı uygulama katmanı protokolleri, ortam ile ilgili çeşitli veriler içerir ve bu nedenle bu veriler tekrar kullanılamaz. Örneğin, HTTP yanıtı, hedef sayfanın son değiştirilme zamanını, yanıt tarihini veya oturum bilgilerini içerir. Tüm paketleri herhangi bir analiz yapmadan kullanmak, bu değişken değerler nedeniyle onaylanma hatasına (doğrulama hatasına) neden olabilir. Bu yaklaşım kullanılarak geliştirilecek test otomasyonunda, bu tür çevre ile ilgili değerlerin, değişken verilerin çıkarılması gerekir. Bu nedenden ötürü, tüm TCP/UDP paketlerini kaydetmek ve bunları test ortamına karşı yürütmek yerine, yukarıda bahsedilen uygulama katmanı mesajlarının çıkarılması adımları gerçekleştirilir.

5. Vaka Çalışması

Önerilen yaklaşımın etkinliğini ölçmek amacıyla, borsalarda iletişim protokolleri olarak kullanılan FIX ve OUCH API'yi geliştirdiğimiz çerçeveye uyarladık. İletişim protokolleri olarak kullanılan FIX-API ve OUCH-API protokolleri tamamen birbirinden farklı yapıda mesaj formatlarına sahiptir. FIX (Financial Information Exchange), finansal verinin değişiminde kullanılan bir iletişim protokolüdür. FIX protokolü mesaj yapısına ait tüm bilgiler FIX spesifikasyonu dökümanında yer almaktadır [17]. OUCH protokolü de iletişimde kullanılan bir emir iletimi protokolü olup,

istemcinin emir girmesine, mevcut emirlerini iptal etmesine, güncellenmesine ve bunlara ilişkin işlem bilgilerini almasına izin veren bir protokoldür. OUCH protokolü, istemci uygulaması ile OUCH sunucusu arasında geçen mantıksal mesajlardan oluşmaktadır [18]. FIX protokolü metin (text) tabanlı, OUCH protokolü ise binary tabanlı bir protokoldür.

5.1. Verinin Hazırlanması

Çerçevede kullanılacak PCAPs dosyasının elde etmek için, keşif testi uygulanarak test senaryolarının bir listesi hazırlanmıştır. İnsan bilgisine dayalı olarak manuel olarak oluşturulan test senaryosu tasarımı, keşif testi olarak bilinir [9]. Testçiler hazırlanan test senaryolarını test edilen sisteme manuel olarak yürütürken, ağ paketleri Wireshark aracıyla yakalanır. Böylelikle PCAPs dosyası elde edilerek, geliştirilen çerçeveye girdi olarak verilir.

PCAPs dosyası oluşturmanın bir başka yolu ise, üretim/canlı ortamdaki istemci-sunucu arasındaki trafik dinlenerek gerçekleştirilebilir. Böylece gerçek veriler elde edilerek, gerçek verilerden test senaryoları oluşturulur. Bu yöntem ile bir istemcinin üretim ortamındaki sunucuya karşı olan davranışı da yakalanmış olur. Böylece gerçek ortamda bir istemcinin davranışı kaynaklı oluşabilecek bir hatanın hızlı bir şekilde tespiti için, ilgili istemcinin davranışını test ortamına karşı simüle edilmesi sağlanabilir.

5.2. Çerçevenin Uygulanması

Bu çalışmada, hem FIX protokolü hem de OUCH protokolüne ait API mesajlarını içeren TestSuite.pcap dosyası kullanılmıştır. Şekil 2, TestSuite.pcap dosyasındaki ilk 10 TCP paketini göstermektedir. Çerçeve bu dosyayı okuyarak 2 farklı test grubu oluşturur. Tablo 1'de OUCH protokolüne ait TestSuite.pcap dosyasından üretilen seçilmiş 5 adet test senaryosu gösterilmektedir. Tablodaki her satır, istemciden sunuya gönderilen istek mesajını ve sunucudan alınan yanıt mesajını gösterir. Örneğin 1. test senaryosuna göre, tablodaki verileri kullanarak "LoginRequestPacket" mesajı test sunucusuna tekrar gönderilirse, sunucunun da yanıt olarak "LoginAcceptedPacket" mesajı dönmesi beklenecektir. 2. test senaryosuna göre, "UnsequencedData-NewMsg" paketi tablodaki veriler ile sunucuya gönderilirse, sunucunun da "SequenceData-AcceptedMsg" paketi dönmesi beklenmektedir.

Tablo 2'de ise FIX protokolü için seçilmiş 5 adet test senaryosunu görebilirsiniz. Örneğin 1. test senaryosundaki veriler, yeni sürüm yüklenen test sistemine karşı yürütüldüğünde, sunucudan alınan mesajın, tabloda yer alan mesaj ile uyumlu olması beklenir. Beklenmedik bir mesajın gelmesi durumunda regresyon olduğu düşünülmektedir. Tablodaki test senaryoları, test sistemine karşı otomatik yürütülmeden önce, bazı değişken verilerin (örneğin mesajın oluşturulma zamanı, checksum bilgisi gibi) olabileceği bilinmektedir. Bu değerler, API spesifikasyon dökümanından belirlenmiş ve doğrulama hatalarından kaçınmak için validasyon aşamasında çıkarılmıştır.

10.A.B.C: 1200	CancelMsg: 8=FIXT.1.1 35=F 34=2 49=X 50=F6 52=20211019-10:32:15 56=TEST 11=23 37=6363BF122228 38=22 54=1 55=A.E 60=20211019-10:32:15.380 10=184	ExecutionReport: CanceledMsg 8=FIXT.1.1 35=8 34=2 49=TEST 56=X 57=F6 1=6 6=0 11=23 14=0 17=158 22=M 37=6363BF122228 38=22.0000000 39=4 41=10 48=616 54=1 55=A.E 70=ASD 150=4 151=0 60=20211019-10:32:15.450 10=252
10.A.B.C: 1200	NewMsg: 8=FIXT.1.1 35=D 34=3 49=X 50=F6 52=20211019-10:32:09 56=TEST 1=XY 11=11 38=77 40=2 44=11.000 54=1 55=A.E 59=0 60=20211019-10:32:16.200 70=ASD 10=022	ExecutionReport: AcceptedMsg 8=FIXT.1.1 35=8 34=3 49=TEST 56=X 57=F6 1=6 6=0 11=11 14=0 17=157 22=M 37=6363AC111111 38=77.0000000 39=0 40=2 44=11.0000000 48=616 55=A.E 59=0 70=ASD 119=220.0000000 150=0 151=20.0000000 60=20211019-10:32:16.500 10=0:
10.A.B.C: 1200	UpdateMsg: 8=FIXT.1.1 35=G 34=4 49=X 56=TEST 50=F6 52=20211019-10:32:16.43=N 37=6363AC11111181 11=12 55=A.E 60=20211019-10:32:16.800 38=27 59=0 54=1 40=2 44=11.000 10=035	ExecutionReport: UpdatedMsg 8=FIXT.1.1 35=8 49=TEST 56=X 34=4 57=F6 37=6363AC11111181 11=12 17=89485 150=5 39=1=XY 55=A.E 48=616 22=M 54=1 38=27.0000000 44=11.000 59=0 151=27.0000000 14=0 6=0 60=20211019-10:32:16.900 10=166
10.A.B.C: 1200	CancelMsg: 8=FIXT.1.1 35=F 34=5 49=X 50=F6 52=20211019-10:32:15.492 56=TEST 11=13 37=6363AC11111181 38=20 54=1 55=A.E 60=20211019-10:32:17.200 10=184	ExecutionReport: CanceledMsg 8=FIXT.1.1 35=8 34=5 49=TEST 56=X 57=F6 1=6 6=0 11=13 14=0 17=158 22=M 37=6363AC111111 38=20.0000000 39=4 41=40360 48=616 54=1 55=A 70=ASD 150=4 151=0 60=20211019-10:32:17.250 10=252

tanımlanmıştır.

Tüm API mesajlarını oluşturup eşleştirdikten sonra, çerçeve bu test senaryolarını test ortamında yeniden oynatmaya başlar. Her test senaryosunun yukarıdaki tabloda da gözükeceği gibi hedef IP adresi ve Port bilgisi vardır. Bu bilgileri kullanarak çerçeve hedef IP:Port'a bağlanır ve test sunucusuna, test senaryolarında yer alan istek API mesajlarını göndermeye başlar. PCAPs dosyasından çıkarılan her test senaryosu Tablo 1 ve Tablo 2'de de görüleceği gibi beklenen/cevap API mesajına sahiptir. Çerçeve test ortamından dönen gerçek yanıt mesajlarını aldıktan sonra, gerçek ve beklenen mesajları karşılaştırarak her test senaryosunu doğrular.

Hangi mesaj alanlarının doğrulanma sürecine dahil edileceğini, spesifikasyona dayalı doğrulama yaklaşımı kullanarak belirledik. Bu aşamada her API protokolü için XML dosyaları oluşturduk. OUCH API için hazırladığımız örnek bir XML dosyasının içeriğini Tablo 3'de görebilirsiniz. Oluşturulan OUCH_API.xsd ve FIX_API xsd dosyaları çerçeveye input olarak verilmiştir ve çerçevenin derlenme aşamasında XML dosyasından ilgili mesaj sınıfları otomatik olarak üretilmiştir. Bununla birlikte her protokolda yer alan mesajların hangi alanlarının doğrulama sürecine dahil edileceği bilgisi de use="required" özelliği ile

Tablo 3. OUCH protokolü için doğrulama aşamasında kullanılan XML dosyası

OUCH API.xsd
<pre><!--element name="CanceledMsg"--> <xs:complexType> <xs:attribute name="msgType" fixed="C"/> <xs:attribute name="timeStamp" type="xs:long"/> <xs:attribute name="orderToken" type="xs:string" /> <xs:attribute name="orderBookId" type="xs:int" "required" /> <xs:attribute name="side" type="xs:string" "required" /> <xs:attribute name="orderId" type="xs:long" /> <xs:attribute name="canceledReason" type="xs:int" "required" /> </xs:complexType> </xs:element> element name="AcceptedMsg"/> element name="ReplacedMsg"/> element name="RejectedMsg"/></pre>

Doğrulama süreci tamamlandıktan sonra, çerçeve test sonuçlarının özetini bir rapor olarak üretmekte ve ilgili kişilere bildirim göndermektedir.

6. Sonuç ve Gelecek Çalışmalar

Tekrarlı bir şekilde yapılan manuel testler özellikle büyük ölçekli iş uygulamalarında oldukça zordur. Bu tür uygulamalarda istemci davranışını simüle etmek için binlerce farklı test senaryosu olabilir ve bu senaryoların manuel olarak gerçekleştirilmesi zaman alıcı bir süreçtir. Bu tür uygulamaların test edilmesinde test otomasyonu kritik bir öneme sahiptir. Literatüre göre HTTP protokolü dışında kendi uygulama katmanı protokollerine sahip TCP sunucular için var olan test otomasyon uygulamalarının tüm iş alanlarına entegre edilemediğini görmekteyiz ve entegrasyonunda bir takım kısıtlamalar ile karşılaştık. Bu nedenle, bu tür sistemlerin regresyon testleri için istemci ve sunucu arasındaki ağ paketlerini kullandığımız yeni bir yaklaşım önerdik.

Bu makalede istemci-sunucu mimarisine dayalı sistemler için test senaryosu üretimi yapan ve test sistemine karşı tekrar yürüten bir yaklaşım önerdik. Bilgilerin paket düzeyinde kullanılması, uygulama bağımsızlığını sağlamıştır. Bu çerçeveye, test senaryolarını otomatik olarak paket seviyesinde oluşturarak, API testindeki otomasyonu artırıyoruz. Ayrıca yaklaşımımız, test senaryolarının yeniden kullanımını da sağlamaktadır.

Gelecek çalışmalar olarak iki çalışma yapmayı planlamaktayız. İlk olarak, farklı iş alanlarına yönelik yeni bir API protokolünü çerçeveye tanıtmak ve uyarlamaktır. İkinci olarak ise, üretim ortamından alınan gerçek veri paketlerini test sürecinde kullanmaktır. Bu sayede gerçek verilerden test senaryoları oluşturulabilecek ve böylece bir istemcinin gerçek ortamdaki davranışı, test ortamında otomatik olarak simüle edilebilecektir.

7. Kaynaklar

- [1] A. K. Sultania : Developing software product and test automation software using Agile methodology, Proceedings of the 2015 Third International Conference on Computer, Communication, Control and Information Technology (C3IT), Hooghly, pp. 1-4. (2015)
- [2] S.Dalal, K.Solanki, : Challenges of Regression Testing: A Pragmatic Perspective in International Journal of Advanced Research in Computer Science, vol.9, no.1, February (2018)
- [3] Z. Liu, Q. Chen and X. Jiang : A Maintainability Spreadsheet-Driven Regression Test Automation Framework, IEEE 16th International Conference on Computational Science and Engineering, Sydney, NSW, pp. 1181-1184. DOI= 10.1109/CSE.2013.175 (2013)
- [4] Bangare, Sunil & Borse, Seema & Bangare, Pallavi & Nandedkar, Shital. (2012). AUTOMATED API TESTING APPROACH. International Journal of Engineering Science and Technology. 4.
- [5] Isha, A. Sharma and M. Revathi, "Automated API Testing," 2018 3rd International Conference on Inventive Computation Technologies (ICICT), Coimbatore, India, 2018, pp. 788-791.
- [6] R. M. Sharma, : Quantitative Analysis of Automation and Manual Testing, International Journal of Engineering and Innovative Technology (IJEIT) Volume 4, Issue 1, (2014)
- [7] X. Han, N. Zhang, W. He, K. Zhang and L. Tang, "Automated Warship Software Testing System Based on LoadRunner Automation API," 2018 IEEE International Conference on Software Quality, Reliability and Security Companion (QRS-C), Lisbon, 2018, pp. 51-55.
- [8] Gonçalves, Wellington & Barreto de Almeida, Carlos & Araújo, Ladyanny & Ferraz, Mateus & Xandú, Rogerio & Junior, Ivaldir. (2017). The Impact of Human Factors on the Software Testing Process: The Importance of These Factors in a Software Testing Environment. Journal of Information Systems Engineering & Management. 2. 10.20897/jisem.201724.
- [9] V. Garousi and F. Elberzhager, : Test Automation: Not Just for Test Execution, in IEEE Software, vol. 34, no. 2, pp. 90-96, Mar.-Apr. DOI= 10.1109/MS.2017.34. (2017)
- [10] J. Itkonen and M.V. Mantyla,; Are test cases needed? Replicated comparison between exploratory and test-case based software testing, Empirical Software Engineering (2014)
- [11] Fernandez-Sanz, L., & Misra, S. (2012). Practical application of UML activity diagrams for the generation of test cases. Proceedings of the Romanian academy, Series A, 13(3), 251-260.
- [12] Wireshark Aracı: <https://www.wireshark.org/> (son erişim 09 Şubat 2022)
- [13] K. Sneha and G. M. Malle, : Research on software testing techniques and software automation testing tools, International Conference on Energy, Communication, Data Analytics and Soft Computing, Chennai, pp. 77-81. DOI= 10.1109/ICECDS.2017.8389562 (2017)

- 14] N. Bhateja, : A Study on Various Software Automation Testing Tools 2015 International Journal of Advanced Research in Computer Science and Software Engineering Volume 5, Issue 6, June (2015)
- 15] D. Xu, W. Xu, M. Kent, L. Thomas and L. Wang, "An Automated Test Generation Technique for Software Quality Assurance," in IEEE Transactions on Reliability, vol. 64, no. 1, pp. 247-268, March 2015, doi: 10.1109/TR.2014.2354172.
- 16] Java Library for reading and writing PCAPs., <https://github.com/aboutsip/pkts> (son erişim 08 Şubat 2022)
- 17] FIXAPI-Protocol: <https://www.borsaistanbul.com/files/genium-inet-fix-protocol-specification.pdf>
- 18] OUCHAPI-Protocol: https://www.borsaistanbul.com/files/OUCH_ProtSpec_BIST_va2414.pdf
- 19] Y. Chen, Y. Gao, Y. Zhou, M. Chen and X. Ma, "Design of an Automated Test Tool Based on Interface Protocol," 2019 IEEE 19th International Conference on Software Quality, Reliability and Security Companion (QRS-C), Sofia, Bulgaria, 2019, pp. 57-61, doi: 10.1109/QRS-C.2019.00024
- 20] K. V. Aiya and H. Verma, "Keyword driven automated testing framework for web application," 2014 9th International Conference on Industrial and Information Systems (ICIIS), Gwalior, 2014, pp. 1-6, doi: 10.1109/ICIINFS.2014.7036478.
- 21] Patrice Godefroid, Daniel Lehmann, and Marina Polishchuk. 2020. Differential regression testing for REST APIs. In Proceedings of the 29th ACM SIGSOFT International Symposium on Software Testing and Analysis (ISSTA 2020). Association for Computing Machinery, New York, NY, USA, 312–323. DOI:<https://doi.org/10.1145/3395363.3397374>
- 22] E. Viglianisi, M. Dallago and M. Ceccato, "RESTTESTGEN: Automated Black-Box Testing of RESTful APIs," in 2020 IEEE 13th International Conference on Software Testing, Validation and Verification (ICST), Porto, Portugal, 2020 pp. 142-152.
- 23] H. Ed-Douibi, J. L. C. Izquierdo, and J. Cabot. Automatic generation of test cases for REST APIs: A specificationbased approach. In 2018 IEEE 22nd International Enterprise Distributed Object Computing Conference (EDOC), pages 181–190. IEEE, 2018.
- 24] Postman-API Development Environment. <https://www.getpostman.com/>
- 25] SOAP: <https://www.soapui.org/>
- 26] E. Çelik, S. Eren, E. Çini and Ö. Keleş, "Software test automation and a sample practice for an enterprise business software," 2017 International Conference on Computer Science and Engineering (UBMK), Antalya, 2017, pp. 141-144, doi: 10.1109/UBMK.2017.8093583.
- 27] GoReplay: <https://github.com/buger/goreplay> (son erişim 03 Ocak 2022)
- 28] Pollyjs: <https://github.com/Netflix/pollyjs> (son erişim 10 Ocak 2022)
- 29] NodeReplay: <https://www.npmjs.com/package/replay> (son erişim 7 Şubat 2022)
- 30] TCP/UDP: <https://www.cs.nmt.edu/~risk/TCP-UDP%20Pocket%20Guide.pdf> (son erişim 7 Şubat 2022)
- 31] V. Garousi et al., "Automated Testing of Simulation Software in the Aviation Industry: An Experience Report," in IEEE Software, vol. 36, no. 4, pp. 63-75, July-Aug. 2019, doi: 10.1109/MS.2018.227110307.

Özgeçmişler



Emine Dumlu Demircioğlu, lisans eğitimini Ege Üniversitesi Bilgisayar Mühendisliği, yüksek lisans eğitimini ise Sabancı Üniversitesi Bilgisayar Bilimleri ve Mühendisliği'nde tamamlamıştır. Şuanda Yıldız Teknik Üniversitesi Bilgisayar Mühendisliği'nde doktora öğrencisidir ve Borsa İstanbul'da yazılım geliştirme uzmanı olarak çalışmaktadır.



Oya Kalıpsız, yüksek lisans eğitimini İstanbul Teknik Üniversitesi'nde tamamlamıştır. Doktora derecesini ise İstanbul Üniversitesi Sayısal Yöntemler alanında almıştır. Şuanda Yıldız Teknik Üniversitesi Bilgisayar Mühendisliği bölümünde Profesör olarak çalışmalarına devam etmektedir. İlgili alanları: Yazılım Mühendisliği, Veritabanı Sistemleri, Veri Madenciliği, Sistem Analizi ve Yönetim Bilişim Sistemleri'dir.

Bazı Alt Uzaylarda Kriptografik Açıdan Eniyilenmiş Büyük S-kutuları Cryptographically Optimized Large S-boxes in Some Subspaces

Selçuk Kavut 

Bilgisayar Mühendisliği Bölümü, Balıkesir Üniversitesi, Balıkesir, Türkiye
skavut@balikesir.edu.tr

Öz

Arama uzayının büyüklüğünden dolayı sezgisel arama algoritmaları, güçlü kriptografik özelliklere sahip S-kutularını elde etmek için literatürde genellikle sekiz ve daha küçük boyutlardaki uzaylarda uygulanmıştır. Bununla birlikte, boyutun artmasıyla doğrusal olmama, farksal birbçimlilik ve cebirsel bağımsızlık özelliklerinin iyileşebileceği bilinmektedir. Çalışmamızda bu durum ele alınarak, bildiğimiz kadarıyla ilk defa on boyutlu uzay için arama gerçekleştirilmiştir. Özel olarak, kriptografik açıdan zengin olan bazı alt uzaylarda rastgele ve sezgisel aramalar yürütülerek, her iki alt uzay için elde edilen en iyi sonuçlar AES S-kutusunun kriptografik özellikleri ile karşılaştırılmıştır. Bunun sonucunda, cebirsel inşaa yöntemlerinin yanı sıra, rastgele veya sezgisel arama algoritmaları ile on boyut için bahsedilen alt uzaylarda bulunan S-kutularının doğrusal, farksal ve cebirsel riptanalize karşı AES S-kutusundan daha dayanıklı labileceği deneysel olarak gösterilmiştir. Ayrıca, sezgisel arama algoritmasının ters fonksiyondan başlayarak arama yaptığında, ters fonksiyon ile aynı veya çok yakın kriptografik özelliklere sahip S-kutularını üretebildiği gözlenmiştir.

Anahtar Kelimeler: S-kutusu, sezgisel arama, doğrusal olmama, farksal birbçimlilik, cebirsel bağımsızlık

Abstract

Due to the size of the search space, heuristic search algorithms are applied for the spaces in dimensions less than ten to obtain cryptographically strong S-boxes in literature. However, it is known that increasing dimension can improve nonlinearity, differential uniformity and algebraic immunity properties. We here perform a search in dimension ten for the first time to our knowledge. Specifically, implementing random and heuristic searches within some cryptographically rich subspaces, the best obtained results are compared with cryptographic properties of AES S-box. Consequently, beside algebraic constructions, we show that the S-boxes found by random or heuristic searches in the mentioned subspaces for dimension ten can be more resistant than AES S-box against near, differential and algebraic cryptanalyses. Further, we observe that when heuristic search is started by the inverse function, S-boxes having the same or almost the same properties as those of the inverse function can be generated.

Key Words: S-box, heuristic search, nonlinearity, differential uniformity, algebraic immunity

1. Giriş

S-kutuları (yer değiştirme kutuları) simetrik kriptosistemlerde genellikle doğrusal olmama uygulayan tek bileşenlerdir ve farksal [1], doğrusal [2], cebirsel [3, 4] ve yüksek mertebeden farksal kriptanaliz [5] gibi saldırı yöntemlerinin başarısı S-kutularının kriptografik dayanıklılığına bağlıdır. Bu nedenle kullanılan S-kutusunun kriptografik özellikleri, tüm kriptosistemin güvenliği açısından kritik bir öneme sahiptir. S-kutusu tasarımı simetrik kriptografide karşılaşılan en zor problemlerden birisidir ve literatürde bulunan güçlü kriptografik özelliklere sahip S-kutusu inşaları [6] azdır. $n \times m$ büyüklüğünde bir S-kutusu, n bit m bite gönderen bir fonksiyon olarak tanımlanır. Çalışmamızda, $n \times n$ büyüklüğünde bijektif S-kutuları, diğer bir ifadeyle n boyutlu $GF(2)^n$ vektör uzayındaki permutasyonlar ele alınmıştır.

Kriptosistemlerde kullanılan S-kutularının sağlaması gereken ve (bir özelliği iyileştirirken başka bir özelliğin kötüleşmesi anlamında) birbiriyle çelişen birçok kriptografik özellik bulunduğundan, bütün kriptografik özellikler bakımından en iyi S-kutusu tasarlamak mümkün değildir [7]. Bu nedenle, kriptografik özellikler arasında dengeleme yapılması kaçınılmazdır. S-kutuları rastgele üretme, cebirsel inşaa ve sezgisel/evrimsel arama yöntemleri ile elde edilebilmektedir. Bunlardan rastgele üretme kolay ve hızlı bir yöntem olmasına rağmen, bulunan S-kutularının kriptografik özellikleri çoğunlukla zayıftır. Günümüzde en popüler S-kutusu büyüklüğü olan 8×8 durumu için, rastgele arama yöntemi doğrusal olmama değeri $98'$ e kadar [8] (bilinen en iyi değer 112) ve farksal birbçimlilik değeri 10 ile 18 arasında [9] (bilinen en iyi değer 4) S-kutuları üretebilmektedir. Cebirsel inşalar [6] ise genellikle güçlü temel kriptografik özelliklere sahiptir. Örneğin, AES S-kutusunun [10] kullandığı $GF(2)^8$ uzayında tanımlı ters fonksiyon [11], doğrusal olmama ve farksal birbçimlilik gibi kriptografik özellikler bakımından literatürde bilinen en iyi değerlere sahiptir. Bununla birlikte, bu tür inşaa yöntemleri literatürde fazla bulunmamaktadır ve etkisi henüz günümüzde sınırlı kalmakla beraber, kullanılan cebirsel yapıların cebirsel saldırılar [3, 4] açısından zayıflığa yol açabileceği bilinmektedir. S-kutusu tasarımında yaygın olarak kullanılan (bahsedildiği gibi, AES S-kutusunun da kullandığı) ters fonksiyon, cebirsel bağımsızlık açısından en iyi dayanıklılığı sağlamamaktadır. Ayrıca, ters fonksiyonun yan kanal analizi karşısında dayanıklı olmadığı bilinmektedir [7, 12]. Diğer bir yaklaşım olan sezgisel arama yöntemleri, cebirsel yapıya daha karmaşık S-kutuları üretebilmekte, fakat arama uzayının çok büyük olmasından dolayı (bkz. Tablo 1), genellikle $n \leq 8$ için uygulanmaktadır. Doğrusal olmama ve farksal birbçimlilik

Temel kriptografik özellikler açısından ele alırsak, sezgisel yöntemleri ile elde edilen sonuçlar, rastgele arama yöntemlerinin ürettiği sonuçları iyileştirmekte; bununla birlikte, un artmasıyla cebirsel inşa yöntemleri ile ulaşılan en iyi lara ulaşamamaktadır. Özel olarak, 8 boyutlu durum için sal olmama değeri 104'e kadar [9] ve farksal imliliği 6'ya kadar [13] olan S-kutuları elde ilmektedir. Cebirsel inşa yöntemlerinin bahsedilen grafik özellikleri daha iyi olabilmektedir; bununla e, sezgisel arama yöntemleri ile yeni S-kutularının nını gerektiren senaryolar mevcuttur. Bunların başında, şin, daha önce belirtilen yan kanal analizine karşı ıklılık veya cebirsel bağımsızlık gibi) cebirsel inşa mlerinin sağlayamadığı kriptografik özellikleri, ters düşen temel kriptografik özelliklerle birlikte dengelemek veya emek gerekliliği düşünülebilir. Temel kriptografik klerin en iyi olmasından çok, tüketilen güç, donanım alanı cikme gibi gerçekleşme açısından en iyi performansı S-kutusunun tasarımı bir başka senaryo olabilir. Ayrıca, grafik özellikleri bakımından cebirsel inşa yöntemlerine özelliklere sahip (örneğin, belirli bir şirket veya kuruma an) S-kutularının tasarlanması amacıyla sezgisel arama mleri kullanılabilir.

S-kutusu tasarımı sezgisel arama algoritmaları için de boyut arttıkça zorlaşan bir problemdir. Yakın ıde, Jacobovic vd. [14, 15] tarafından Boole fonksiyonları kutuları tasarımının neden zor bir problem olduğunu ak için maliyet ortamı analizi yapılmıştır. Özel olarak, S- ırı için gerçekleştirilen çalışmada [14] seçilen maliyet yonları ve komşuluk türleri için, neredeyse her başlangıç sının farklı bir yerel en iyiyi gittiği gözlenmiş ve maliyet nda verimli bir şekilde gezinmenin zorluğu deneysel : gösterilmiştir. S-kutusu tasarımında sezgisel algoritma an ilk çalışma, Milan [8] tarafından yapılan tepe ma yöntemi ile rastgele üretilen 8×8 büyüklüğündeki S- ırının doğrusal olmama değerlerinin iyileştirilmesidir. ında Milan vd. [16] genetik algoritma ile birlikte tepe ma yöntemi kullanarak doğrusal olmama ve mutlak ge değerlerini iyileştirmişlerdir. Bu iki çalışmada, sal olmama ve mutlak gösterge değerleri doğrudan et fonksiyonu olarak kullanılmıştır. Clark vd. [17], t-Hadamard spektrumundaki tüm değerleri eniyileyen bir et fonksiyonu kullanarak, tepe tırmanmayla takip edilen na benzetimi algoritması ile [16] çalışmasındaki sonuçları ırmışlerdir. Tesař [18], tüm ağaç arama tekniği ile irdiği genetik algoritmayı $n = 6, 7, 8$ için uygulamış ve i sonuçlardan daha iyi doğrusal olmama değerleri elde ir. Kazymyrov vd. [19] dereceli azalma yöntemi ile sal olmama, farksal birbçimlilik, cebirsel derece ve el bağımsızlık özellikleri bakımından en iyi olan 8×8 lüğündeki S-kutuları için arama gerçekleştirmişlerdir. a bu çalışmada, başlangıç fonksiyonu olarak ters yonun seçilmesi durumunda, [18] çalışmasında daha k doğrusal olmama değerine sahip S-kutularının duğu belirtilmiştir. Doğrusal olmama ve farksal imlilik özellikleri güçlü olan fakat permütasyon olmayan uvvet fonksiyonlarından sezgisel arama ile bijektif S- ı elde etme yöntemi Mamadolimov vd. [20] tarafından ıştır. Bu yöntem, Isa vd. [21] tarafından tüm kuvvet yonlarına genelleştirilmiş ve S-kutusunun bijektif hale ık için geliştirdikleri (fazlalık giderme olarak ındirilen) algoritma $GF(2)^8$ uzayında uygulanmıştır. Isa [2] daha sonra arıların sallanma dansından esinlenerek ıdıkları sezgisel arama algoritmasını, başlangıç yonunu olarak seçtikleri ters fonksiyona eşdeğer olan üç i bir polinoma uygulayarak önceki sonuçları ırmışlerdir. Ivanov vd. [23], ters fonksiyondan elde

ettikleri başlangıç popülasyonunu kullanan genetik algoritma ile 8×8 büyüklüğündeki S-kutuları için en yüksek doğrusal olmama değeri olan 112'ye ulaşmışlardır. Aynı çalışmada, benzer yaklaşımla 16×16 büyüklüğündeki S-kutuları için de güçlü kriptografik özellikler elde edilmiştir. Bahsedilen çalışmalardan başlangıç olarak rastgele üretilen S-kutularının kullanıldığı arama algoritmalarının tümü, 8×8 büyüklüğündeki tüm bijektif S-kutularının oluşturduğu (büyüklüğü 2^{1684} olan) arama uzayında koşulmuştur. Bu şekilde yürütülen (ters fonksiyondan başlayarak veya belirli bir matematiksel inşa yöntemini kullanarak arama yapmayan) sezgisel aramaların ürettiği S-kutularının en iyi doğrusal olmama ve farksal birbçimlilik değerlerinin sırasıyla 104 ve 6 olduğu görülmektedir. Bununla birlikte, Döngüsel Simetrik S-Kutuları (DSSK'lar), DSSK'ların bağlaşımları ve k -DSSK'ların (burada $k, n \times n$ büyüklüğündeki S-kutusu için n 'yi bölen ve 1'den büyük sabit bir tamsayıdır) oluşturduğu alt uzaylarda yapılan aramalar sonucunda daha yüksek doğrusal olmama değerleri elde edilebilmektedir [13, 24].

Tablo 1. Bijektif S-kutuları için arama uzaylarının büyüklükleri.

Arama Uzayı	Değişken Sayısı (n)		
	6	8	10
Tüm uzay	2^{296}	2^{1684}	2^{8769}
DSSK uzayı	$2^{47.9}$	$2^{208.3}$	$2^{872.4}$
Bağlaşım uzayı	$2^{61.3}$	$2^{243.7}$	$2^{976.1}$
2-DSSK uzayı	$2^{97.4}$	$2^{412.2}$	$2^{1754.3}$
($n/2$)-DSSK uzayı	$2^{141.2}$	$2^{824.7}$	$2^{4345.2}$

DSSK'lar ilk olarak 2008'de Rijmen vd. [25] tarafından tanımlanmıştır. Bu tanım tek çıkışlı döngüsel simetrik Boole fonksiyonları (DSBF) tanımının çok çıkışlı Boole fonksiyonları olan S-kutularını kapsayacak şekilde genişletilmesi olarak görülebilir. Bir $n \times n$ S-kutusu, $1 \leq i \leq n$ olmak üzere, her bir girişi i kere döngüsel olarak kaydırıldığında karşılık gelen çıkışı da i kere döngüsel olarak kayıyorsa döngüsel simetrik olarak isimlendirilir; diğer bir ifadeyle, $n \times n$ DSSK'lar $\pi(x_0, x_1, \dots, x_{n-1}) = (x_1, x_2, \dots, x_{n-1}, x_0)$ permütasyonuna göre simetrik S-kutuları olarak düşünülebilir. Benzer şekilde, büyüklüğü $n \times n$ olan k -DSSK'lar ise $\pi(x_0, x_1, \dots, x_{n-1}) = (x_k, x_{k+1}, \dots, x_{n-1}, x_0, x_1, \dots, x_{k-1})$ permütasyonuna göre simetrik S-kutuları olarak tanımlanır. DSSK'ların kuvvet fonksiyonlarından ve bunların toplamından üretilen S-kutuları ile doğrusal ilişkili olduğu gösterilmiştir [25]. Temel kriptografik özellikler doğrusal dönüşüm altında değişmediğinden, yüksek doğrusal olmama, düşük farksal birbçimlilik ve yüksek cebirsel derece gibi istenilen kriptografik özellikleri barındıran ters fonksiyon, Dobbertin, Gold, Kasami fonksiyonları ve benzeri inşalar [6], birer DSSK olarak düşünülebilir. Bu yüzden DSSK sınıfı bahsedilen kriptografik özelliklere sahip S-kutuları açısından zengin bir sınıf oluşturmaktadır. İki tane $(n-1) \times (n-1)$ DSSK'nın bağlaşımları olarak tanımlanan [24] $n \times n$ S-kutuları, $\pi(x_0, x_1, \dots, x_{n-1}) = (x_0, x_2, \dots, x_{n-1}, x_1)$ permütasyonuna göre simetrik S-kutularıdır. $n = 6$ için DSSK'lar ve bağlaşımlar üzerine daha önce yapılan çalışmalarda [24, 26], verimli bir tüketici arama algoritması gerçekleştirilmiş ve bu alt uzaylarda ters fonksiyonla aynı doğrusal olmama ve farksal birbçimlilik değerlerine sahip olan, aynı zamanda ters fonksiyonla afin ilişkili olmayan S-kutuları elde edilmiştir. Ayrıca, bağlaşımlar yöntemi ile oluşturulan 8×8 S-kutuları için gerçekleştirilen arama algoritması ile doğrusal olmama değeri 106 olan S-kutuları üretilmiştir [24]. 8×8 büyüklüğündeki simetrik S-kutuları üzerine yapılan çalışmada [13] ise, DSSK'lar için uygulanan arama algoritması ile 108 doğrusal olmama değerine ulaşılmıştır.

Blok şifreler ağırlıklı olarak 8 ve daha küçük boyutlu uzaylarda tanımlı olan S-kutularını kullanmaktadır. Bununla birlikte, daha büyük boyutlarda S-kutusu kullanan blok şifreler bulunmaktadır (örneğin, Kasumi [27] 9×9 S-kutusu bulunmaktadır). Bu çalışma, bildiğimiz kadarıyla, 10×10 S-kutuları için rastgele veya sezgisel aramanın gerçekleştirildiği çalışma niteliğindedir. Özel olarak, 10 boyutlu durumda m uzayı büyüklükleri sırasıyla $2^{872.4}$ ve $2^{976.1}$, $2^{1754.3}$ ve $2^{45.2}$ olan DSSK'ların, bağlaşımların, 2-DSSK'ların ve 5-SK'ların oluşturduğu alt uzaylarda, bijektif S-kutuları rastgele arama yöntemi ve en dik iniş prensibine dayalı arama algoritması [28] ile aranmıştır. AES S-kutusunun giriş ve çıkışları arasındaki en yüksek doğrusal ilişki olasılığının 0.5625 en yüksek farksal olasılığının (S-kutusunun girişine giren bir fark ile çıkışında elde edilen farkın aynı kalma olasılığı) 0.015625 olduğu bilinmektedir. Gerçekleştirdiğimiz çalışma sonucu üretilen 10×10 büyüklüğündeki S-kutuları için saplanan en iyi doğrusal ve farksal olasılıkları ise sırasıyla 546875 ve 0.0078125 olarak bulunmuştur. AES S-kutusunun daha düşük olan olasılık değerleri, arama yöntemi bahsedilen alt uzaylarda üretilen S-kutularının doğrusal ve farksal kriptanalize karşı daha dayanıklı olabildiğini göstermektedir. Bunun yanı sıra, AES S-kutusunun cebirsel yapı açısından (8 boyutlu durum için) en iyi özellikleri bilmediği bilinmektedir. Çalışmamızda elde edilen S-kutularının ise hem AES S-kutusunun daha iyi cebirsel özelliklere sahip oldukları hem de 10 boyutlu durum için cebirsel bağımsızlık açısından en iyi oldukları bulunmuştur. Ayrıca, büyük S-kutularının yan kanal analizine karşı dayanıklılığı artırabildiği bilinmektedir [29] ve DSSK'lar lineer yörünge temsilcileri ile ifade edilebildiğinden donanım yazılımı açısından verimli bir şekilde gerçekleştirilebilirler [25]; nedenle, çalışmamızda elde edilen sonuçlar pratik açıdan da önem taşımaktadır. Diğer taraftan, sezgisel arama algoritmasının başlangıç S-kutusu $GF(2)^{10}$ uzayında tanımlı bir fonksiyon olarak alındığında, ters fonksiyon ile aynı veya aynı fonksiyonun kriptografik özelliklere sahip S-kutularının da elde edilebileceği gözlemlenmiştir.

S-kutularının kriptografik özellikleri, arama algoritmasında kullanılan maliyet fonksiyonu ve simetrik S-kutuları üzerine bir sonraki bölümde sunulan temel bilgilerden sonra, Bölüm 3'te tanımladığımız arama algoritmasının genel yapısı ile birlikte gerçekleştirme detayları verilmektedir. Bölüm 4'te arama algoritması ile elde edilen kriptografik özellikler sunularak AES S-kutusunun özellikleri ile karşılaştırılmış ve sonuç bölümü ile makalemiz sonlandırılmıştır.

2. Temel bilgiler

Bir Boole fonksiyonu $f: GF(2)^n \rightarrow GF(2)$, n biti bir biteden oluşan bir fonksiyondur ve tek çıkışlı Boole fonksiyonu olarak da isimlendirilir. f fonksiyonunun Hamming ağırlığı, doğruluk tablosundaki birlerin sayısı olarak tanımlanır. Doğruluk tablosunda birlerin sayısı sıfırların sayısına eşit olan bir fonksiyonuna dengeli denir. Kriptografik açıdan kullanılabilir olması için, Boole fonksiyonun dengeli olması gerekmektedir. İki Boole fonksiyonu arasındaki Hamming uzaklık, doğruluk tablolarında aynı pozisyonlarda bulunan bitlerin sayısı olarak tanımlanır.

$n \times m$ büyüklüğünde bir S-kutusu $S: GF(2)^n \rightarrow GF(2)^m$ ise, n biti m bite gönderen çok çıkışlı bir Boole fonksiyon olarak tanımlanır. Herhangi bir S-kutusu S , $x = (x_0, x_1, \dots, x_{n-1}) \in GF(2)^n$ olmak üzere, n -değişkenli Boole fonksiyonlarının oluşturduğu bir kombinasyon, diğer bir ifadeyle $S(x) = (f_0(x), f_1(x), \dots, f_{m-1}(x))$ olarak düşünülebilir. Buradaki f_i fonksiyonları

($i = 0, 1, \dots, m-1$) koordinat fonksiyonları, bu fonksiyonların sıfırdan farklı ($2^m - 1$ tane) lineer kombinasyonları ise bileşen fonksiyonları olarak isimlendirilir. Sıfır vektöründen farklı bir $\omega = (\omega_0, \omega_1, \dots, \omega_{m-1}) \in GF(2)^m$ için karşılık gelen bileşen fonksiyonu f_ω ile gösterilir ve aşağıdaki eşitlik ile elde edilir:

$$f_\omega(x) = \omega_0 f_0(x) \oplus \omega_1 f_1(x) \oplus \dots \oplus \omega_{m-1} f_{m-1}(x). \quad (1)$$

Bu bölümde S-kutuları için verilen doğrusal olmama, mutlak gösterge ve cebirsel derece özellikleri, tek çıkışlı Boole fonksiyonları için tanımlanan kriptografik özelliklerin m -bit çıkışlı S-kutularına genişletilmesi olarak görülebilir.

2.1 Cebirsel derece

Herhangi bir Boole fonksiyon $f: GF(2)^n \rightarrow GF(2)$, çıkış bitlerinin oluşturduğu 2^n uzunluğundaki doğruluk tablosu ile veya cebirsel normal biçim olarak isimlendirilen, $GF(2)$ üzerinde çok değişkenli bir polinom ile eşsiz şekilde gösterilebilir. Değişken sayısı n için, cebirsel normal biçimin genel ifadesi aşağıdaki gibidir:

$$f(x) = a_0 \oplus a_1 x_0 \oplus \dots \oplus a_n x_{n-1} \oplus a_{12} x_0 x_1 \oplus a_{13} x_0 x_2 \oplus \dots \oplus a_{12\dots n} x_0 x_1 \dots x_{n-1}, \quad (2)$$

burada $a_0, a_1, \dots, a_{12}, a_{13}, \dots, a_{12\dots n} \in GF(2)$ eşsiz sabitlerdir ve Möbius dönüşümü ile doğruluk tablosundan elde edilebilir. f Boole fonksiyonunun cebirsel derecesi d_f , cebirsel normal biçimindeki terimlerin sahip olduğu en yüksek değişken sayısıdır. Derecesi en fazla bir olan fonksiyonlar afin fonksiyonlar, sabit terimi sıfır ($a_0 = 0$) olan afin fonksiyonlar ise doğrusal fonksiyonlar olarak adlandırılır.

$n \times m$ büyüklüğünde bir S-kutusu S için cebirsel derece (d_S) değeri, bileşen fonksiyonların aldığı kriptografik açıdan en kötü değer olarak tanımlanır. Diğer bir ifadeyle,

$$d_S = \min_{\omega \neq 0 \in GF(2)^m} d_{f_\omega}. \quad (3)$$

Bir S-kutusunun yüksek mertebeden farksal kriptanaliz [5] yöntemine karşı dayanıklı olabilmesi için yüksek cebirsel dereceye sahip olması beklenir.

2.2 Doğrusal olmama

f Boole fonksiyonunun Walsh-Hadamard dönüşümü (veya spektrumu), tüm doğrusal fonksiyonlar ile korelasyonunu görmemizi sağlayan bir dönüşümdür:

$$W_f(w) = \sum_{x \in GF(2)^n} (-1)^{f(x)} (-1)^{w \cdot x}. \quad (4)$$

NL_f doğrusal olmama değerini, spektrumdaki mutlak değerce en büyük değer belirler ve aşağıdaki gibi hesaplanır:

$$NL_f = 2^{n-1} - \frac{1}{2} \max_{w \in GF(2)^n} |W_f(w)|. \quad (5)$$

Diğer bir ifadeyle, bir Boole fonksiyonun doğrusal olmama değeri, tüm afin fonksiyonlara olan Hamming uzaklıklarının en küçüğüdür. Çift değişken sayısı n için, doğrusal olmama değeri açısından en iyi olan Boole fonksiyonları büyük fonksiyonlar olarak isimlendirilir ve (Parseval teoreminden) n -değişkenli bir büyük fonksiyonun tüm spektrum değerleri mutlak değerce $2^{n/2}$ 'ye eşittir. Fakat büyük fonksiyonlar dengeli değildir ve cebirsel dereceleri düşüktür.

Herhangi bir $n \times m$ S-kutusu S için doğrusal olmama (NL_S) değeri, bileşen fonksiyonlarının aldığı en düşük doğrusal olmama değeri olarak tanımlanır. Diğer bir ifadeyle,

$$NL_S = \min_{\omega \neq 0 \in GF(2)^m} NL_{f_\omega}. \quad (6)$$

Bir Boole fonksiyonun doğrusal olmama özelliği, tüm afin fonksiyonlara uzaklıklarının en küçüğü olarak tanımlandığından, doğruluk tablosundaki $2^n - NL_f$ tane bitin afin bir fonksiyonla aynı olduğu ve bu nedenle afin bir fonksiyonla aynı çıktıyı üretme olasılığının (diğer bir ifadeyle doğrusallık olasılığının) $(2^n - NL_f)/2^n$ olduğu görülmektedir. Doğrusal ilişkinin azalması için, bu değer 0.5 'e yaklaşması gerektiğine dikkat edilmelidir. Bir S-kutusu için ise doğrusallık olasılığı, bileşen fonksiyonlarının en kötü (en yüksek) doğrusallık olasılığıdır ve bu değer p_d ile gösterilir. Doğrusal criptanaliz [2] karşısında dayanıklılık için, S-kutusunun yüksek doğrusal olmama değerine sahip olması beklenir.

Bir S-kutusunun bileşen fonksiyonlarının tüm doğrusal fonksiyonlara yakınlıkları, Doğrusal Yaklaşım Tablosu (DYT) [2, 30, 31] ile ölçülmektedir. $n \times m$ büyüklüğündeki bir S-kutusu S için karşılık gelen DYT, $2^n \times 2^m$ büyüklüğündedir ve bu tablonun her bir elemanı aşağıdaki eşitlik ile bulunur:

$$DYT(u, v) = \#\{x \in GF(2)^n : u \cdot x = v \cdot S(x)\} - 2^{n-1}, \quad (7)$$

burada $u \in GF(2)^n$, $v \in GF(2)^m$ ve “ \cdot ” işlemi iç çarpım işlemidir. Diğer bir ifadeyle, $v \cdot S(x)$ bileşen fonksiyonunun $u \cdot x$ doğrusal fonksiyonuna eşit olma olasılığı $DYT(u, v)/2^n + 0.5$ olur. Ayrıca, S-kutusunun doğrusal olmama değeri, DYT değerleri kullanılarak aşağıdaki eşitlikle bulunabilir:

$$NL_S = 2^{n-1} - \max_{(u,v) \neq (0,0)} |DYT(u, v)|. \quad (8)$$

DYT'deki mutlak değer bakımından en yüksek değer ne kadar küçükse, p_d olasılığının da 0.5 'e o kadar yakındır.

2.3 Farksal birbçimlilik

Herhangi bir $n \times m$ S-kutusu S 'nin farksal birbçimlilik değeri δ_S , $S(x) \oplus S(x \oplus \gamma) = \beta$ eşitliğini sağlayan $x \in GF(2)^n$ girişlerinin en yüksek sayısıdır ve bu durumda S 'ye farksal- δ_S birbçimlidir denir. Bu tanımdan, S-kutusunun girişine uygulanan bir fark ile karşılık gelen çıkış farkının değişmeme olasılığının $\delta_S/2^n$ olduğu görülmektedir. Bu değer p_f ile gösterilir ve en düşük 2^{n-1} olabilmektedir. Bir S-kutusunun farksal kriptanalize [1] karşı dayanıklı olabilmesi için düşük farksal birbçimlilik değerine sahip olması beklenir.

Her bir giriş ve çıkış farkı (γ, β) çifti için $S(x) \oplus S(x \oplus \gamma) = \beta$ eşitliğini sağlayan x girişlerinin sayısı Fark Dağılım Tablosu (FDT) ile verilmektedir [1, 30, 31]. S 'nin FDT'si $2^n \times 2^m$ büyüklüğündedir ve tablo elemanları aşağıdaki eşitlik ile bulunur:

$$FDT(\gamma, \beta) = \#\{x \in GF(2)^n : S(x) \oplus S(x \oplus \gamma) = \beta\}. \quad (9)$$

Farksal birbçimlilik değeri, FDT değerleri kullanılarak aşağıdaki gibi bulunabilir:

$$\delta_S = \max_{(\gamma, \beta) \neq (0,0)} FDT(\gamma, \beta). \quad (10)$$

2.4 Cebirsel bağışıklık

S-kutularının giriş ve çıkış bitleri arasında düşük dereceye sahip çok değişkenli polinomlar ile tanımlanan ilişkilerin varlığı, cebirsel saldırılarda kullanılabilir. Büyüklüğü $n \times m$ olan herhangi bir S-kutusu S , $(x_0, x_1, \dots, x_{n-1}) \in GF(2)^n$ giriş bitlerini ve $(y_0, y_1, \dots, y_{m-1}) \in GF(2)^m$ çıkış bitlerini temsil etmek üzere, aşağıda verilen (r tane) eşitliklerden oluşan bir sistem ile tanımlanabilir:

$$\begin{aligned} g_0(x_0, x_1, \dots, x_{n-1}, y_0, y_1, \dots, y_{m-1}) &= 0, \\ g_1(x_0, x_1, \dots, x_{n-1}, y_0, y_1, \dots, y_{m-1}) &= 0, \\ &\vdots \end{aligned} \quad (11)$$

$$g_{r-1}(x_0, x_1, \dots, x_{n-1}, y_0, y_1, \dots, y_{m-1}) = 0.$$

S-kutusunun cebirsel bağışıklığı (I_S) sistemdeki tüm polinomların en düşük derecesi olarak tanımlanır:

$$I_S = \min_{0 \leq i \leq r-1} \deg(g_i). \quad (12)$$

Sistemi oluşturan bağışık eşitliklerin sayısı ise N_S parametresi ile verilmektedir. Bir S-kutusunun cebirsel saldırılar karşısında dayanıklı olması için cebirsel bağışıklık değerinin yüksek ve bununla birlikte eşitlik sayısının düşük olması beklenir. Çalışmamızda ele aldığımız 8×8 ve 10×10 S-kutuları için ulaşılabilecek en iyi (I_S, N_S) değerleri sırasıyla (3, 441) ve (3, 327)'dir [32, 33].

2.5 Mutlak gösterge

Özilinti fonksiyonu $r_f(d)$, f Boole fonksiyonu ile girişine $d \in GF(2)^n$ farkı uygulandığında elde edilen versiyonu arasındaki korelasyonu verir:

$$r_f(d) = \sum_{x \in GF(2)^n} (-1)^{f(x)} (-1)^{f(x \oplus d)}. \quad (13)$$

Özilinti spektrumuyla ilişkili olan ve global çığ etkisi karakteristiği [34] olarak adlandırılan iki önemli kriptografik özellik, mutlak gösterge ve kareler toplamı göstergesidir. Mutlak gösterge AI_f (özilinti fonksiyonu $d = (0, \dots, 0)$ için her zaman 2^n 'ye eşit olduğundan) $r_f(0, \dots, 0)$ haricinde özilinti spektrumunda bulunan mutlak değerce en büyük değer olarak tanımlanır:

$$AI_f = \max_{d \neq 0 \in GF(2)^n} |r_f(d)|, \quad (14)$$

burada $0 = (0, \dots, 0)$.

$n \times m$ büyüklüğünde bir S-kutusu S için mutlak gösterge (AI_S) değeri, bileşen fonksiyonların mutlak gösterge değerlerinin en düşüğü olarak tanımlanır:

$$AI_S = \min_{\omega \neq 0 \in GF(2)^m} AI_{f_\omega}. \quad (15)$$

Çalışmamızda maliyet fonksiyonu seçiminde kullanılan ve global çığ etkisi karakteristiklerinden diğeri olan kareler toplamı göstergesi, özilinti spektrumundaki değerlerin karelerinin toplamıdır:

$$\sum_{d \in GF(2)^n} r_f^2(d). \quad (16)$$

Mutlak ve kareler toplamı göstergelerinin düşük olması, S-kutusunun iyi difüzyon özellikleri taşıdığını gösterir.

2.6 Maliyet fonksiyonu

Kareler toplamı göstergesi ile Walsh-Hadamard spektrumu aşağıda verilen teorem ile ilişkilendirilir.

Teorem 1 [35].

$$\sum_{d \neq 0 \in GF(2)^n} r_f^2(d) = 2^{-n} \sum_{w \in GF(2)^n} (W_f^2(w) - 2^n)^2. \quad (17)$$

Teorem 1'den, özilinti değerlerindeki (mutlak değerce) minimizasyonun, aynı zamanda Walsh-Hadamard değerlerini (doğrusal olmama yönünden en iyi olan) bir bükük fonksiyon spektrumuna yaklaştıracığı görülmektedir. Bu nedenle, arama algoritmamızda S-kutusunun bileşen fonksiyonlarının kareler

toplamı göstergeleri minimize edilmeye çalışılmış ve maliyet fonksiyonu olarak bu göstergelerin toplamı seçilmiştir.

2.7 Simetrik S-kutuları

Herhangi bir S-kutusu $S : GF(2)^n \rightarrow GF(2)^n$, $\pi(x_0, x_1, \dots, x_{n-1})$ bir permütasyon olmak üzere, her $x = (x_0, x_1, \dots, x_{n-1}) \in GF(2)^n$ için $S(\pi(x)) = \pi(S(x))$ koşulunu sağlıyorsa π permütasyonu altında simetrik S-kutusu olarak isimlendirilir. π permütasyonuna göre, bir x vektörü tarafından üretilen yörünge

$$G_n(x) = \{\pi^k(x) \mid 1 \leq k \leq n\} \quad (18)$$

ile tanımlanır ve yörüngede bulunan vektörlerin sözlüksel (leksikografik) sıralanışında ilk sırada yer alan vektör yörünge temsilcisi olarak isimlendirilir. $n \times n$ büyüklüğünde simetrik bir S-kutusu için toplam yörünge sayısı g_n ile gösterilir.

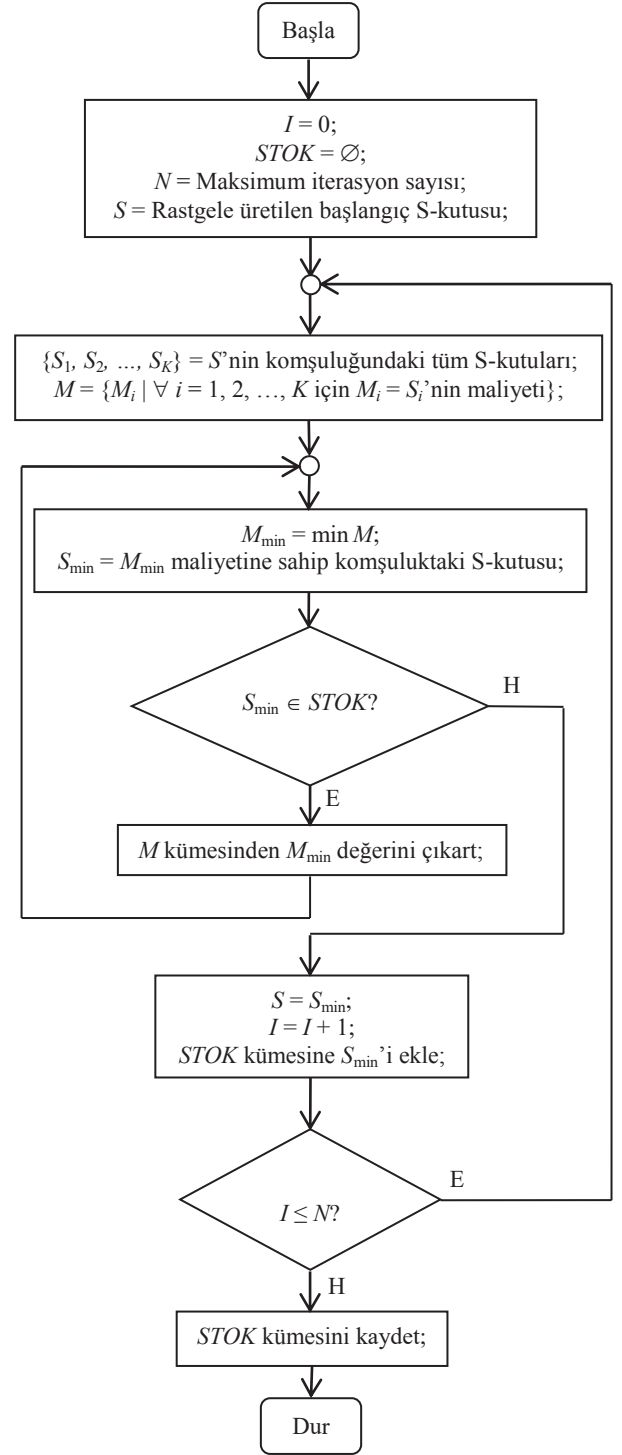
DSSK'lar $\pi(x_0, x_1, \dots, x_{n-1}) = (x_1, x_2, \dots, x_{n-1}, x_0)$ permütasyonu altında ve bağlaşımlar $\pi(x_0, x_1, \dots, x_{n-1}) = (x_0, x_2, \dots, x_{n-1}, x_1)$ permütasyonu altında simetrik S-kutuları olarak düşünülebilir. Değişken sayısı n çift olmak üzere, 2-DSSK'lar ve $(n/2)$ -DSSK'lar ise sırasıyla $\pi(x_0, x_1, \dots, x_{n-1}) = (x_2, x_3, \dots, x_{n-1}, x_0, x_1)$ ve $\pi(x_0, x_1, \dots, x_{n-1}) = (x_{n/2}, x_{n/2+1}, \dots, x_{n-1}, x_0, x_1, \dots, x_{n/2-1})$ permütasyonlarına göre simetriktrir. $n = 10$ durumunda $GF(2)^{10}$ vektör uzayı, DSSK'lar için 1, 2, 5 ve 10 büyüklüğünde sırasıyla 2, 1, 6 ve 99 yörüngeye, bağlaşımlar için ise 1, 3 ve 9 büyüklüğünde sırasıyla 4, 4 ve 112 yörüngeye bölüntülenmektedir.

3. Arama algoritması

DSSK'lar ve bağlaşımlar için gerçekleştirilen en dik iniş prensibine dayalı sezgisel arama algoritmasının akış diyagramı Şekil 1'de verilmiştir. Algoritma, DSSK'lar veya bağlaşımların oluşturduğu alt uzayda rastgele üretilen bir S-kutusu (S) ile başlamaktadır ve arama aynı alt uzayda gerçekleşmektedir. İterasyon sayısı (N) denemelerimizde 400 olarak alınmıştır. Aynı iterasyon çıktılarının üretilmesini engellemek için her iterasyon çıktısı $STOK$ kümesine kaydedilir. Algoritmanın her bir iterasyonunda, iterasyon girişindeki S-kutusunda aşağıda verilen değişiklikler yapılarak, iterasyon çıktısı için aday S-kutularının bulunduğu ve bunların her biri için maliyet fonksiyonunun hesaplandığı bir komşuluk oluşturulmaktadır.

- Büyüklüğü birden fazla olan çıkış yörüngelerinin olası tüm permütasyonları ile yer değiştirmesi. Diğer bir ifadeyle, her $1 \leq k < t$ değeri için çıkış yörüngesinde bulunan tüm $S(x)$ vektörleri $\pi^k(S(x))$ olarak değiştirilir, burada t değeri $\pi^t(x) = x$ eşitliğini sağlayan en küçük değerdir. Örneğin, DSSK'lar için 10 büyüklüğünde 99 yörünge bulunmaktadır; buna göre, böyle bir yörüngedeki vektörler en fazla 9 kere kaydırılabilir ve böylelikle $9 \times 99 = 891$ komşu elde edilir. Bu adımda DSSK'lar için 916 ve bağlaşımlar için 904 komşu üretilir.
- Aynı büyüklükte iki farklı çıkış yörüngesinin permütasyonları göz önüne alınmadan birbiri ile değiştirilmesi. Örneğin bu şekilde, DSSK'lar için 10 büyüklüğündeki 99 yörüngeden $99 \times 98/2 = 4851$ komşu elde edilir. Böylelikle DSSK'lar için 4867, bağlaşımlar için 6228 komşu bulunur.

Bu iki adımın sonunda komşulukta bulunan S-kutularının toplam sayısı (Şekil 1'deki K parametresi) DSSK'lar için 5783 ve bağlaşımlar için 7132 bulunmaktadır. Her iterasyonda, iterasyon girdisi S 'nin komşuluğunda bulunan S-kutularının



Şekil 1. En Dik İniş Prensibine Dayalı Arama Algoritması.

maliyetleri hesaplanır ve $STOK$ kümesinde bulunmayan en düşük maliyetli S-kutusu, iterasyon çıktısı olarak $STOK$ kümesine eklenir.

Komşuluğundaki herhangi bir S-kutusu için algoritmada kullanılan maliyet fonksiyonu, $(6 \times 6$ ve 8×8 S-kutuları için yapılan çalışmalarda [13, 26] iyi sonuçlar veren bileşen fonksiyonlarının kareler toplamı göstergelerinin toplamıdır:

$$\sum_{\omega \neq 0 \in \text{GF}(2)^n} \sum_{d \neq 0 \in \text{GF}(2)^n} r_{f_\omega}^2(d), \quad (19)$$

burada $d = 0$ için özilinti değeri sabit olduğundan hesaplamaya katılmamaktadır.

Algoritma C dilinde gerçekleştirilmiş ve Windows 8.1 Pro işletim sistemi, Intel(R) Xeon(R) CPU E5-1650 v3 @ 3.50GHz işlemci ve 16 GB RAM'e sahip bir bilgisayarda bütün çekirdekler kullanılarak iki hafta çalıştırılmıştır. $N = 400$ için algoritmanın tek çekirdek üzerinde bir kere koşulması DSSK'larda 2 saat sürerken, bağlaşımlarda 2.5 saat, 2-RSSB'lerde 9 saat ve 5-RSSB'lerde ise yaklaşık 6 gün sürmektedir. Algoritmanın kodları [36]'da verilen bağlantıdan indirilebilmektedir.

3.1 Zaman ve bellek karmaşıklığı

Algoritma kısır döngüye girmemek için, her iterasyon sonucunu önceki iterasyon sonuçları ile karşılaştırmaktadır. Bu nedenle, genel olarak $n \times n$ büyüklüğündeki S-kutuları için algoritmanın koşulduğu düşünülürse, N iterasyon için $2^n N(N-1)/2$ karşılaştırma işlemi yapılmaktadır. Herhangi bir iterasyonda, önceki iterasyon sonuçlarından birisi üretilirse karşılaştırma işlemi tekrar etmektedir; bununla birlikte, yapılan tekrarın işlem yükü açısından etkisi sınırlıdır. Ayrıca, her iterasyonda her bir komşuluk için (19) ile verilen maliyet fonksiyonu hesaplanmaktadır. Maliyet fonksiyonunu bileşen fonksiyonlarının kareler toplamı göstergelerini kullanarak hesaplamak, özilinti değerlerini elde etmek için iki kere Walsh-Hadamard dönüşümü almayı gerektirir. Bunun yerine, ((17) eşitliğinden) doğrudan Walsh-Hadamard spektrumlarını kullanarak hesaplamak daha verimlidir. n değişkenli bir Boole fonksiyonun Walsh-Hadamard dönüşümünün $n2^n$ toplama ve çıkarma işlemi ile elde edilebildiği bilinmektedir. Mutlak Walsh-Hadamard değerlerinin dağılımı afin dönüşüm altında değişmez olduğundan, simetrik bir S-kutusunun maliyet fonksiyonunu hesaplamak için bütün bileşen fonksiyonlar yerine sadece birbiri ile afin ilişkili olmayan ($g_n - 1$ tane) bileşen fonksiyonların Walsh-Hadamard spektrumlarını elde etmek yeterlidir. Bu spektrumların tümü elde edildikten sonra, (17) eşitliğini kullanarak maliyet fonksiyonunun hesaplanması için, kare alma işlemlerinin yapılması gerektiği görülmektedir. Buna karşın, olası tüm Walsh-Hadamard dönüşümü değerleri için $(W_f^2(w) - 2^n)^2$ işleminin karşılık gelen sonuçları önceden bir diziyeye atılarak, çarpma işlemi yapılmadan $2^n(g_n - 1)$ toplama işlemi ile maliyet fonksiyonu hesaplanabilir. Bunun sonucunda, N iterasyon ve K komşu için $(n+1)2^n(g_n - 1)NK$ toplama ve çıkarma işleminin yapılması gerektiği görülmektedir. Bu nedenle, simetrik S-kutuları için komşu sayısı $K \approx \binom{g_n}{2} + ng_n$ olduğundan, sabit iterasyon sayısı için asimptotik zaman karmaşıklığı $O(n2^n g_n^3)$ olarak elde edilir.

Kriptografik elemanların tasarımında yaygın olarak kullanılan tavlama benzetimi ve tepe tırmanma gibi diğer benzer arama yöntemleri ile karşılaştırıldığında, en dik iniş prensibine dayalı arama algoritmasında olduğu gibi tüm komşulukta arama yapmadıkları için, bu yöntemlerin daha verimli oldukları düşünülebilir. Bununla birlikte, tepe tırmanma algoritmasının zayıf yönü yerel minimumdan kaçamamasıdır. Tavlama benzetimi algoritması ise tüm komşulukta arama yapmamaktadır ve bu nedenle daha iyi sonuçları kaçırma olasılığı bulunmaktadır. Ayrıca, başlangıç sıcaklığı, soğutma çarpanı, (bir iterasyonda rastgele üretilen) komşu sayısı gibi parametrelerinin ayarlanmasına ihtiyaç duymaktadır. Gerek tavlama benzetimi gerek tepe tırmanma yöntemlerinde, belirli

bir komşu üretme operatörü ile elde edilebilen tüm komşuluğa bakıldığı varsayıldığında, asimptotik karmaşıklıklarının en dik iniş prensibine dayalı arama algoritmasınıninkine ile aynı olduğu görülmektedir. Burada elde edilen avantaj, yerel minimuma takılmadan her zaman komşuluk içerisindeki en iyi çözümün üretilmesidir. Bellek açısından değerlendirdiğimizde, en dik iniş prensibine dayalı arama algoritması her iterasyon çıktısını kaydetmektedir ve bu yüzden belirlenebilecek en yüksek iterasyon sayısı kullanılan bellek kapasitesi ile sınırlıdır. İterasyon çıktılarını kaydetmek için ihtiyaç duyulan bellek miktarının $n2^n N$ bit olduğu kolaylıkla görülebilir. Bunun yanı sıra, simetrik S-kutuları yörünge temsilcileri ile temsil edilebildiğinden, sadece $ng_n N$ bit, tüm iterasyon çıktılarını kaydetmek için yeterlidir. Örneğin, dögüsel simetrik S-kutuları için $g_n \approx \frac{2^n}{n}$ olduğundan, gerek duyulan belleğin $2^n N$ bit olduğu görülür. Bu gereksinim, genellikle makul büyüklükteki S-kutuları ve iterasyon sayıları için karşılanabilir niteliktedir.

4. Bulgular

En dik iniş prensibine dayalı sezgisel arama ve rastgele arama algoritmalarından elde edilen en iyi sonuçlar ile birlikte AES S-kutusunun kriptografik özellikleri Tablo 2'de sunulmuştur. Tablo 2'den, bağlaşımlar için elde edilen sonuçların, DSSK'lar için elde edilen sonuçlara yakın olduğu gözlenmektedir. Sezgisel aramanın rastgele aramadan daha iyi sonuçlar verdiği, her iki alt uzayda da en yüksek olmama değerinin 456, en düşük farksal birbiciimliliğin 8 ve en düşük mutlak göstergenin 168 bulunduğu görülmektedir; bununla birlikte DSSK alt uzayında bulunan 456 doğrusal olmama değerine sahip sonucun farksal birbiciimlilik değeri ($\delta_s = 10$) daha iyi çıkmıştır.

Tablo 2. (N_L, A_I, δ_s, d_s), (p_d, p_f) ve (I_s, N_s) sonuçlarının karşılaştırılması.

	DSSK'lar	Bağlaşımlar
Rastgele arama	(450, 200, 12, 9) (448, 200, 10, 9) (440, 176, 14, 9)	(450, 304, 12, 9) (448, 334, 10, 9) (440, 176, 12, 9)
En iyi (p_d, p_f)	(0.560546875, 0.009765625)	
En iyi (I_s, N_s)	(3, 327)	
Sezgisel arama	(456, 192, 10, 9) (454, 184, 8, 9) (448, 168, 10, 9)	(456, 192, 12, 9) (454, 184, 8, 9) (448, 168, 10, 9)
En iyi (p_d, p_f)	(0.5546875, 0.0078125)	
En iyi (I_s, N_s)	(3, 327)	
	2-DSSK'lar	5-DSSK'lar
Rastgele arama	(448, 224, 10, 9) (444, 184, 10, 9) (442, 176, 12, 9)	(442, 232, 14, 9) (440, 216, 12, 9) (432, 200, 12, 9)
En iyi (p_d, p_f)	(0.5625, 0.009765625)	
En iyi (I_s, N_s)	(3, 327)	
Sezgisel arama	(454, 208, 8, 9) (454, 176, 10, 9) (444, 176, 8, 9)	(450, 200, 10, 9)
En iyi (p_d, p_f)	(0.556640625, 0.0078125)	
En iyi (I_s, N_s)	(3, 327)	
AES S-kutusu	(112, 32, 4, 7)	
(p_d, p_f)	(0.5625, 0.015625)	
(I_s, N_s)	(2, 39)	

Rastgele üretme yöntemi ile elde edilen sonuçlardan mutlak göstergesi en düşük ($A_I = 176$) olanların doğrusal olmama değerleri düşük ($N_L = 440$) olduğundan, AES S-

utusunun daha kötü doğrusallık olasılığına ($p_d = 1024-440)/1024 = 0.5703125$) sahip oldukları gözlenmektedir. 48 doğrusal olmama değeri AES S-kutusu ile aynı ($p_d = .5625$) ve 450 doğrusal olmama değeri ise AES S-kutusundan daha iyi ($p_d = 0.560546875$) doğrusallık olasılığı vermektedir. Farksal birbiçimlilik açısından bakıldığında ise rastgele üretilen ve bulunan 10, 12 ve 14 değerlerinin tümü AES S-kutusundan daha düşük p_f olasılığı üretmektedir. Sezgisel arama algoritmasının her iki alt uzay için de kriptografik özellikleri iyileştirerek, AES S-kutusundan daha iyi doğrusallık ve farksal lasılıkları bulduğu görülmektedir.

Diğer taraftan, n çift olmak üzere, $GF(2)^n$ uzayında tanımlı ters fonksiyonun $2^{n-1}-2^{n/2}$ doğrusal olmama değerine sahip farksal-4 birbiçimli olduğu bilinmektedir [11]. Sezgisel arama algoritmasında, başlangıç S-kutusu olarak rastgele üretilen bir S-kutusu (DSSK veya bağlaşım) yerine ters fonksiyon kullanıldığında, ters fonksiyon ile aynı veya yakın kriptografik özelliklere sahip S-kutuları üretilmiştir. Özel olarak, arama algoritması 400 iterasyon için koşulduğunda, bulunan doğrusal olmama değerleri 470, 472, 474, 476, 478, 480 ve farksal birbiçimlilik değerleri 4, 6, 8, 10, 14 olarak elde edilmiştir.

Karşılaştırma amaçlı olarak 2-DSSK'ların ve 5-DSSK'ların oluşturduğu alt uzaylarda yürüttüğümüz arama sonuçlarına bakıldığında, (Tablo 1'de sunulan) özellikle 5-DSSK'lar için arama uzayının büyüklüğünden dolayı diğer alt uzaylarda elde edilen sonuçlara ulaşamadığı; bununla birlikte her iki alt uzay için de sezgisel arama algoritmasının, rastgele üretilen yöntemle elde edilen sonuçları iyileştirdiği gözlenmektedir. Tablo 1'de sunulan sonuçlar cebirsel bağışıklık açısından ele alındığında, 10 boyutlu alt uzayların tümü için elde edilen S-kutularının cebirsel bağışıklıklarının en iyi olduğu ve AES S-kutusundan daha iyi cebirsel bağışıklık sağladıkları görülmektedir.

Tablo 2'de verilen sonuçlardan DSSK'lar için elde edilen en iyi) 456 ve 454 doğrusal olmama değerlerine sahip S-kutularını sırasıyla S_1 ve S_2 ile, bağlaşım için elde edilen en iyi doğrusal olmama değerlerine sahip S-kutularını sırasıyla S_3 ve S_4 ile, ve AES S-kutusunu AES ile gösterelim. Bu S-kutularının FDT ve DYT'leri, S-kutuları ile birlikte [36]'da verilen bağlantıdan indirilebilmektedir. Bu tablolar çok büyük olduğundan, burada (10 boyutlu durum için her biri 64×1024 , 8 boyutlu durum için ise her biri 16×256 büyüklüğünde) 16 arçaya bölüntülenerek, her bir bölüntüdeki mutlak değerce en yüksek değer FDT için Tablo 3'te ve her bir bölüntüdeki en yüksek değer DYT için Tablo 4'te sunulmuştur.

Tablo 3. Elde edilen en iyi sonuçların ve AES S-kutusunun FDT'lerinin karşılaştırılması.

Bölüm #	S_1	S_2	S_3	S_4	AES
1	8	8	10	8	4
2	10	8	10	8	4
3	10	8	10	8	4
4	8	8	10	8	4
5	10	8	10	8	4
6	10	8	10	8	4
7	8	8	10	8	4
8	8	8	10	8	4
9	10	8	12	8	4
10	8	8	8	8	4
11	10	8	8	8	4
12	8	8	8	8	4
13	8	8	8	8	4
14	8	8	8	8	4
15	8	8	8	8	4
16	8	8	12	8	4

Tablo 4. Elde edilen en iyi sonuçların ve AES S-kutusunun DYT'lerinin karşılaştırılması.

Bölüm #	S_1	S_2	S_3	S_4	AES
1	56	58	56	58	-16
2	-56	-58	-56	58	-16
3	-56	-58	56	58	-16
4	56	58	56	-58	-16
5	56	-58	56	58	16
6	56	-58	56	-58	16
7	56	-56	56	-58	-16
8	-56	58	-56	-58	-16
9	56	58	56	56	16
10	-56	-58	56	58	16
11	56	-58	-56	56	-16
12	56	-56	56	58	-16
13	56	58	56	58	16
14	-56	56	-56	56	-16
15	-56	58	56	58	-16
16	-56	58	-56	58	16

FDT ve DYT dağılımları incelendiğinde, farksal birbiçimlilik değeri 8 olan S-kutularının, farksal birbiçimlilik değeri 10 ve 12 olan S-kutularına göre daha tekdüze FDT'lere sahip oldukları; benzer şekilde, doğrusal olmama değeri 456 olan S-kutularının, doğrusal olmama değeri 454 olan S-kutularına göre daha tekdüze DYT'lere sahip oldukları görülmektedir. AES S-kutusunun doğrusal olmama ve farksal birbiçimlilik değerlerinin en iyiye yakın olmasından dolayı, tabloların bütününe [36] bakıldığında hem FDT hem de DYT'sinin arama algoritması ile elde edilen S-kutularına göre daha tekdüze olduğu gözlenmektedir.

5. Sonuç

10×10 büyüklüğündeki S-kutuları için DSSK'lar ve bağlaşımın sırasıyla $2^{872.4}$ ve $2^{976.1}$ olan arama uzaylarında uyguladığımız rastgele veya sezgisel arama yöntemleri ile bulunan S-kutularının, doğrusal, farksal ve cebirsel kriptanalize karşı AES S-kutusundan daha dayanıklı olabileceği gösterilmiştir. Bu çalışmada elde edilen kriptografik özelliklerin ve kullanılan metodun, büyük S-kutularının aranmasında farklı sezgisel arama yöntemlerinin geliştirilmesine motive edebilecek nitelikte olduğu düşünülmektedir. Gözlemlerimiz, elde edilen S-kutularının AES S-kutusuna göre üstünlüğünü yansıtmaktan çok, S-kutusu büyüklüğünün doğrusal olmama, farksal birbiçimlilik ve cebirsel bağışıklık gibi kriptografik özelliklerin sağladığı kriptanaliz karşısında dayanıklılığa etkisinin bağımsız biçimde onaylanması olarak yorumlanmalıdır.

Kaynakça

- [1] E. Biham, A. Shamir. Differential cryptanalysis of DES-like cryptosystems. Journal of Cryptology, 4(1):3-72, 1991.
- [2] M. Matsui. M. Linear cryptanalysis method for DES cipher. In: EUROCRYPT'93, LNCS, vol. 765, pp. 386-397, Springer, 1994.
- [3] N.T. Courtois, J. Pieprzyk. Cryptanalysis of block ciphers with overdefined systems of equations. In: Advances in Cryptology - ASIACRYPT 2002, LNCS, vol. 2501, pp. 267-287, Springer, 2002.
- [4] N.T. Courtois. General principles of algebraic attacks and new design criteria for cipher components. In: Advanced Encryption Standard - AES 2004, LNCS, vol. 3373, pp. 67-83, Springer, 2005.

- 5] X. Lai. Higher order derivatives and differential cryptanalysis. In: "Symposium on Communication, Coding and Cryptography", in honor of J. L. Massey on the occasion of his 60th birthday, The Springer International Series in Engineering and Computer Science, vol. 276, pp. 27-233, Springer, 1994.
- 6] C. Carlet. Vectorial Boolean functions for cryptography. In: Yves Crama, Peter L. Hammer (Eds.), Chapter of the Monography "Boolean Models and Methods in Mathematics, Computer Science, and Engineering", Cambridge University Press, pp. 398-469, 2010.
- 7] C. Carlet. On highly nonlinear S-boxes and their inability to thwart DPA attacks. In: Proceedings of INDOCRYPT'05, LNCS, vol. 3797, pp. 49-62, Springer, 2005.
- 8] W. Millan. How to improve the nonlinearity of bijective S-boxes. In: Australasian Conference on Information Security and Privacy, vol. 1438, pp 181-192, Springer, 1998.
- 9] S. Picek, M. Cupici L. Rotim. A New Cost Function for Evolution of S-Boxes. *Evolutionary Computation*, 24(4):695-718, 2016.
- 10] J. Daemen, V. Rijmen. AES Proposal: Rijndael. NIST Publication, 1999.
- 11] K. Nyberg. Differentially uniform mappings for cryptography. In: Proceedings of EUROCRYPT'93, LNCS, vol. 765, pp. 55-64, Springer, 1994.
- 12] M. A. Evcı, S. Kavut. DPA resilience of rotation-symmetric S-boxes. In: Proceedings of IWSEC 2014, LNCS, vol. 8639, pp. 146-157, Springer, 2014.
- 13] S. Kavut, S. Tutdere. Highly nonlinear (vectorial) Boolean functions that are symmetric under some permutations. *Advances in Mathematics of Communications*, 14 (1):127-136, 2020.
- 14] D. Jakobovic, S. Picek, M. S. R. Martins, M. Wagner. A characterisation of S-box fitness landscapes in cryptography. In: Proceedings of Genetic and Evolutionary Computation Conference – GECCO'19, pp. 285-293, 2019.
- 15] D. Jakobovic, S. Picek, M. S. R. Martins, M. Wagner. Toward more efficient heuristic construction of Boolean functions. *Applied Soft Computing*, vol. 107, 107327, 2021.
- 16] W. Millan, L. Burnett, G. Carter, A. Clark, E. Dawson. Evolutionary heuristics for finding cryptographically strong S-boxes. In: International Conference on Information and Communications Security, LNCS, vol. 1726, pp 263-274, Springer, 1999.
- 17] J. A. Clark, J. L. Jacob, S. Stepney. The design of S-boxes by simulated annealing. *New Generation Computing*, 23(3):219-231, 2005.
- 18] P. Tesař. A new method for generating high non-linearity s-boxes. *Radio Engineering*, 19(1):23-26, 2010.
- 19] O. V. Kazymyrov, V. N. Kazymyrova, R. V. Oliynykov. A method for generation of high-nonlinear S-Boxes based on gradient descent. *Mat. Vopr. Kriptogr.*, 5(2):71-78, 2014.
- 20] A. Mamadolimov, H. Isa, M. S. Mohamad. Practical Bijective S-box Design, arXiv:1301.4723v1, 2013.
- 21] H. Isa, N. Jamil, M. R. Z'aba. S-box construction from non-permutation power functions. In: Proceedings of the 6th International Conference on Security of Information and Networks, pp. 46-53, 2013.
- 22] H. Isa, N. Jamil, M. R. Z'aba. Construction of cryptographically strong S-boxes inspired by bee waggle dance. *New Generation Computing*, 34(3):221-38, 2016.
- 23] G. Ivanov, N. Nikolov, S. Nikova. Reversed genetic algorithms for generation of bijective s-boxes with good cryptographic properties. *Cryptography and Communications*, 8:247-276, 2016.
- [24] S. Kavut, S. Baloğlu. Results on symmetric S-boxes constructed by concatenation of RSSBs. *Cryptography and Communications*, 11:641-660, 2019.
- [25] V. Rijmen, P. S. L. M. Barreto, D. L. G. Filho. Rotation symmetry in algebraically generated cryptographic substitution tables. *Information Processing Letters*, 106:246-250, 2008.
- [26] S. Kavut. Results on rotation-symmetric S-boxes. *Information Sciences*, 201:93-113, 2012.
- [27] 3rd Generation Partnership Project, Technical Specification Group Services and System Aspects, 3G Security, Specification of the 3GPP Confidentiality and Integrity Algorithms; Document 2: KASUMI Specification, V.3.1.1, 2001.
- [28] M. Bartholomew-Biggs. Chapter 5: The steepest descent method, nonlinear optimization with financial applications. pp. 51-64. Springer, 2005.
- [29] L. Goubin, A. Martinelli, M. Walle. Impact of sboxes size upon side channel resistance and block cipher design. In AFRICACRYPT'13, LNCS, vol. 7918, pp. 240-259, Springer, 2013.
- [30] B. Aslan, M. T. Sakalli, E. Bulus. Classifying 8-bit to 8-bit S-Boxes based on power mappings from the point of DDT and LAT Distributions. In: Proceedings of Arithmetic of Finite Fields – WAIFI 2008, LNCS, vol. 5130, pp. 123-133, Springer, 2008.
- [31] H. Heys, C. M. Adams. A tutorial on linear and differential cryptanalysis. *Cryptologia*, 26(3):189-221, 2002.
- [32] O. Kazymyrov. Methods and tools for analysis of symmetric cryptographic primitives. PhD thesis, The Selmer Center, Department of Informatics, University of Bergen, Norway, 2014.
- [33] A. M. Eilertsen, O. Kazymyrov, V. Kazymyrova, M. Storetvedt. A Sage library for analysis of nonlinear binary mapping. In: Pre-proceedings of Central European Conference on Cryptology – CECC'14, pp. 69-78, 2014.
- [34] X. M. Zhang and Z. Yheng. GAC – the criterion for global avalanche characteristics of cryptographic functions, *Journal for Universal Computer Science*, 1(5):316-333, 1995.
- [35] M. D. Yücel. Alternative nonlinearity criteria for Boolean functions. Electrical and Electronics Engineering Department, Middle East Technical University, Memorandum No. 2001-1, 2001.
- [36] GitHub, URL: <https://github.com/Selcuk-kripto/sbox10>, (Erişim tarihi: 27, 02, 2022).

Özgeçmişler



Selçuk Kavut, Ankara Üniversitesi Elektronik Mühendisliği Bölümü'nden lisans derecesini 1998 yılında, Orta Doğu Teknik Üniversitesi Fen Bilimleri Enstitüsü Elektrik ve Elektronik Mühendisliği Anabilim Dalı'ndan yüksek lisans ve doktora derecelerini sırasıyla 2002 ve 2008 yıllarında almıştır. 2009-2014 yılları arasında Gebze Yüksek Teknoloji Enstitüsü'nde Öğr. Gör. Dr. olarak çalıştıktan sonra Balıkesir Üniversitesi'ne geçmiş olup, halen Bilgisayar Mühendisliği Bölümü'nde Doç. Dr. olarak çalışmaktadır. Çalışma alanları kriptoloji ve kodlama teorisi üzerinedir.

Şebekeden Bağımsız Güneş/Rüzgâr/Biyogaz/Yakıt Hücresi/Batarya Tabanlı Hibrit Enerji Sisteminin Tekno-Ekonomik Analizi: Muğla Zaferler Köyü Vaka Çalışması

Techno-Economic Analysis of an Off-Grid Solar/Wind/Biogas/Fuel Cell/Battery Based Hybrid Energy System: Muğla Zaferler Village Case Study

Aykut Fatih Güven¹, Cüneyt Hatipoğlu²



^{1,2} Yalova Üniversitesi, Mühendislik Fakültesi, Enerji Sistemleri Mühendisliği Bölümü,
Yalova/TÜRKİYE

afatih.guven@yalova.edu.tr, hatip.cuneyt@gmail.com

Öz

Üniversite çapında hızla artan enerji tüketimi, fosil yakıtlar ve fosil gazları nedeniyle sürdürülebilir bir dünya için alternatif enerji kaynaklarına ihtiyaç duyulmaktadır. Geleneksel enerji kaynaklarına bağımlılığı azaltmak için şebekeden bağımsız yenilenebilir enerji çerçevesi kullanılabilir. Bunun yanında hibrit Yenilenebilir Enerji Sisteminin (HRES) ani yük değişimlerine karşı duyarlı ve düşük maliyetli olması içinde en iyi şekilde boyutlandırılması gerekmektedir. Bu bağlamda çalışmada, 220 hane ve 590 kişiden oluşan, 2021 yılına ait ortalama 1.087,26 kWh/gün ve 162,15 kW elektrik pik yükü lebine sahip Muğla ili Köyceğiz ilçesine bağlı olan Zaferler köyü için şebekeden bağımsız HRES 3 farklı senaryo oluşturularak araştırılmıştır. HOMER (Hybrid Optimization Model for Electric Renewable) programı kullanılarak seçilen bölgenin enerji ihtiyacının HRES ile 3 farklı senaryoya göre optimal olarak sağlanıp sağlanamayacağı analiz edilmiştir. Şebekeden bağımsız HRES için yakıt Hücresi ve jeneratör içeren ama dizel jeneratör içermeyen senaryo 3 en uygun sonuç olarak değerlendirilmiştir. Optimizasyon sürecinde, sistemin birim enerji maliyeti ve net bugünkü değer maliyeti 0,152 \$ ve 2.69 milyon \$ olarak hesaplanmıştır. Ayrıca, güneş paneli % 78.9, rüzgar türbini % 1.52, biyogaz jeneratörü % 1.15 ve yakıt hücresi jeneratörü % 18.4 katkı oranı ile ihtiyaç olan toplam enerjiyi karşılamaktadır. Genel olarak çalışmada yenilenebilir enerji alanında kurulabilecek hibrit enerji sistemlerine iyi bir örnek teşkil ederek özellikle ke olarak bu alanda büyük bir potansiyelimiz olduğunu göstermekte ve araştırmacıların da bu alanda çalışma potansiyelini teşvik edici özelliktedir.

Anahtar Kelimeler: Hibrit enerji sistemleri, yenilenebilir enerji optimizasyonu, maliyet analizi, HOMER.

Abstract

Alternative energy sources are needed for a sustainable world due to rapidly increasing energy consumption, fossil fuels and greenhouse gases worldwide. Off-grid renewable energy framework can be used to reduce dependency on traditional energy assets. In addition, the Hybrid Renewable Energy System (HRES) should be optimally sized to be sensitive to sudden load changes and low cost. In this context, in the study, 3 different off-grid HRES scenarios were created for Zaferler village, which consists of 220 households and 590 people, and has an average electricity demand of 1,087.26 kWh/day and 162.15 kW electricity peak load for 2021, which is connected to the town of Köyceğiz in Muğla province. By using the HOMER (Hybrid Optimization Model for Electric Renewable) program, it has been analyzed whether the energy need of the selected pilot region can be optimally met with HRES according to 3 different scenarios. For off-grid HRES, scenario 3 with fuel Cell and generator but no diesel generator was evaluated as the most optimal result. As a result of the optimization, the unit energy cost and net present value cost of the system were calculated as \$0.152 and \$2.69 million. Here, solar panel 78.9%, wind turbine 1.52%, biogas generator 1.15% and fuel cell generator 18.4% contribute to the total energy needed. In general, the study sets a good example for hybrid energy systems that can be established in the field of renewable energy, showing that we have a great potential in this field, especially as a country, and it encourages researchers to work in this field.

Keywords: Hybrid energy systems, renewable energy optimization, cost analysis, HOMER.

1. Giriş

Enerji insanların yaşam tarzını ve kalitesini belirleyen önemli bir faktör olup, ekonominin temel girdisini oluşturmada ve medeniyetin sürekliliğindeki en önemli gereksinimdir. Dünya nüfusu ve bağlantılı olarak enerji ihtiyacı sürekli olarak artmaktadır. Gelişmekte olan ülkelerin enerji ihtiyacı, kırsal alanların kalkınması için önemli bir gereksinimdir. Geleneksel kaynaklar bu enerjiyi kesintisiz olarak karşılamak için yeterli değildir. Son zamanlarda dünya genelinde enerji kaynaklarının tükenmesi enerji krizleri ortaya çıkmaya başlamıştır. Bu nedenle yenilenebilir enerji kaynakları bugün ve gelecekte tek umut kaynağımız olacaktır [1]. Dünya genelinde farklı formlarda ve miktarlarda her ülkede yenilenebilir enerji kaynağı mevcuttur. Türkiye'nin yenilenebilir enerji potansiyeli ve düşen radyasyon değerlerine bakıldığında ülkenin tüm bölgelerinin birbirlerine göre avantajları olmakla birlikte güneş enerjisi için uygun olduğu görülmektedir. Bu bağlamda Türkiye birçok yenilenebilir enerji kaynağını bünyesinde barındırmaktadır. Bu yenilenebilir enerji kaynakları coğrafi bölgeye uygun olarak değerlendirilerek, farklı bölgelerde farklı yenilenebilir enerji kaynaklarının kombinasyonlarından yararlanarak hibrit sistem kurmak da mümkündür.

Yenilenebilir enerji kaynakları içerisinde güneş ve rüzgar enerjisi kaynakları, güneş ışınımı ve rüzgar hızı değerleri saatler veya günler arasında büyük ölçüde değişebilir. Bu aynı zamanda, özellikle bu tür sistemlerin büyük ölçekli yatırımları gerçekleştirildiğinde, güvenilir ve istikrarlı bir enerji sistemi için sorunlara neden olan ölçülemez bir belirsizlik yaratır. Yenilenebilir enerji kaynaklarının değişken doğasından dolayı ortaya çıkan belirsizlikler, yedekleme üniteleri kullanma zorunluluğunu da beraberinde getirmektedir. Bu da üretim maliyetini artırmaktadır [2]. Bu nedenle, yenilenebilir enerji kaynaklarına ait sayısal verilerin ölçülmesi, elektrik enerjisi ve enerji üretim sistemlerinin planlanması, yönetimi ve verimli çalışması sağlanarak belirsizlik azaltılır. Yenilenebilir enerji kaynaklarının istikrarsız ve değişken doğasının üstesinden gelmek için temel ve ana çözüm, HRES olarak adlandırılan sistemlerden fazla yenilenebilir enerji kaynağı kullanmaktır. Bir enerji sisteminde daha fazla enerji kaynağının kullanılmasıyla, ihtiyaç duyulan enerji, tek bir yenilenebilir enerji kaynağına göre daha az maliyetle, ihtiyaç duyulan saatler ve mevsimler için üretilir. Bununla birlikte, belirli bir konumda yük talebini karşılamak için en uygun boyutlandırmanın belirlenmesi, enerji kaynaklarının değişken doğası, başarılı bir maliyet modelinin hesaplanmasının zorluğu ve optimum boyutlandırma optimizasyon algoritmalarının uzun işlem süreleri nedeniyle zordur [3]. Bu zorluğun üstesinden gelmek için yazılım programlarına ihtiyaç duyulmaktadır. İteratif bir süreçte birçok optimizasyon sürecine fayda sağlayan yazılımların olmasına rağmen, bu yazılımların içinde HOMER yazılımı fazla kullanılan, farklı kombinasyonların daha kolay ve verimli şekilde değerlendirilen bir yazılımdır.

HRES'lerde şebekeye bağlı veya şebekeden bağımsız olarak tasarlanmış sistemin en iyi çalışma koşullarını elde etmek için HOMER yazılımının kullanıldığı farklı çalışmalar bulunmaktadır [4-11]. Akan çalışmada, Türkiye'de Tekirdağ ilinin kırsal bir bölgesinde şebekeden bağımsız bir müstakil konut için rüzgâr-güneş yenilenebilir enerji kaynakları ile oluşturulan bir hibrit sistemin tekno-ekonomik analizlerini HOMER yazılımı ile gerçekleştirilerek, güneş enerjisi %61,8, rüzgar enerjisi %38,2 katkı oranı ile yük talebini karşılamıştır [12]. Rajbongshi ve arkadaşları Hindistan'ın Jhawani köyünde elektriksiz hanelerin ihtiyacını karşılamak üzere, HOMER yazılımı kullanarak hibrit sistem tasarlamışlardır. Çalışma sonucu olarak, güneş paneli/biyokütle/dizel tabanlı hibrit sistemin çok uzak köyler şebekeden bağımsız olarak uygulanabilir ve güvenli olduğunu göstermiştir. Ancak önerilen hibrit sistemlerin pratik zorluklarını anlamak için uygulamaya ihtiyaç duyulduğu da ayrıca vurgulanmıştır [13]. Shadid Jaman, yapmış olduğu çalışmada Bangladeş'e bağlı St. Martin adasının bulunduğu konuma göre en optimum hibrit sistem olan güneş paneli/yakıt hücresi önermiş ve sistemin tekno-ekonomik bileşenlerinin analizini ve boyutlandırılmasını HOMER yazılımı ile gerçekleştirilerek simülasyonlarda önemli ölçüde CO2 emisyonunu azaldığını gözlemlemiş ve kırsal alanlar için hidrojen temelli hibrit sistemin şebeke bağlantılı mümkün olabileceğini belirtmiştir. Khan ve Iqbal, Newfoundland, Kanada'daki uygulamalar için hidrojeni enerji taşıyıcı olarak kullandıkları bir hibrit enerji sistemi için fizibilite çalışması hazırlamışlardır. Benzetim ve optimizasyon için HOMER programını kullanarak çeşitli yenilenebilir ve konvansiyonel enerji çözümleri ve farklı enerji depolama yöntemleri değerlendirilmiştir. Çalışma sonuçlarında bugünkü fiyatlarla rüzgar-dizel akümülatör sistemi uygun çözüm görünmüştür ancak yakıt pillerinde % 15 civarında bir maliyet düşüşü yaşandığı takdirde rüzgar-yakıt pili sistemini daha cazip hale geleceği belirtilmiştir [14].

Bu çalışmada ise Muğla ilinin Köyceğiz ilçesine bağlı Zaferler köyünün 2020 yılındaki elektrik kullanım istatistiklerine bakılarak bölgenin enerji ihtiyacının karşılanması için şebeke bağlantısız Rüzgâr türbini/Güneş paneli/Jeneratör/Batarya hibrit enerji sistemi tasarımı ve tekno-ekonomik analizi HOMER yazılımı kullanılarak yapılmıştır. Sistem tasarımlarında kullanılan jeneratör bileşeninin 3 farklı türü olan biyogaz, yakıt hücresi ve dizel kullanılarak 3 farklı senaryo uygulanmıştır. Oluşturulan senaryolar arasında en uygun senaryo seçilmiştir. Seçilen senaryolarda, her bir bileşenin sisteme olan etkileri teknik ve ekonomik açıdan incelenmiş ve en optimum sonuç ortaya konulmuştur. Sonuç olarak, ekonomi ve çevre açısından en uygun sistem tasarımı ve optimizasyonu ortaya çıkarılmıştır.

2. Materyal ve Yöntem

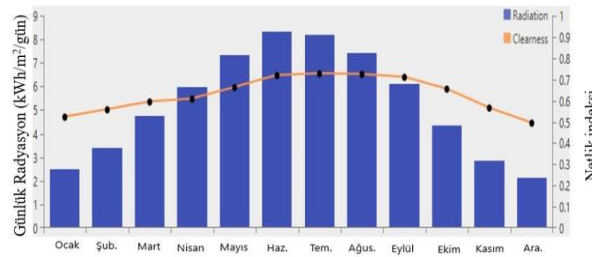
Bu çalışmada, Türkiye'nin Ege Bölgesinde bulunan Muğla ili Köyceğiz ilçesinde yer alan Zaferler köyünün (36°57.5'N, 28°37.0'E) enerji ihtiyacının karşılanması adına hibrit sistem ekonomik analizi yapılmıştır. Zaferler köyünde 220 hane mevcuttur ve 590 kişi köyde yaşamaktadır. Çalışmanın uygulanacağı yörede yaşayan yerel halk geçinimini çiftçilikle sağlamaktadır. Yöre halkı tüm yıl boyunca erken saatlerde kalkmakta, öğlene kadar çalışmakta, birkaç saatlik dinlenmenin ardından tekrar çalışmaya koyulmaktadır. Akşam saatlerine kadar çiftçilikle uğraşan yerel halk gece erken saatler de yatmaktadır.

Yöre halkının 2021 yılı aylık enerji kullanımına ait veriler Aydem Elektrik Dağıtım A.Ş.'den alınmıştır. Bu veriler kullanılarak köyün günlük ortalama enerji ihtiyacı 1087,26 kWh olup, günlük tepe değeri ise 162,15 kW olarak hesaplanmıştır. Köy halkının yıl içerisinde en fazla enerji kullanımı Eylül ayı, en düşük ise Mart ayında gerçekleşmektedir. Yıl içerisinde yaz mevsiminde gerçekleşen tarla sulama enerji ihtiyacında artışa neden olmaktadır. Bu nedenle 5 aylık günlük enerji kullanımı diğer aylara göre fazladır.

Tablo 1: Zaferler Köyü aylık ortalama enerji kullanım değerleri

Tarih	Enerji Kullanımı(kWh)	Tarih	Enerji Kullanımı(kWh)
01/2021	784,6666667	07/2021	1261,3333333
02/2021	932,8	08/2021	1386
03/2021	718,6666667	09/2021	1562
04/2021	982,6666667	10/2021	1232
05/2021	1173,3333333	11/2021	902
06/2021	1144	12/2021	960,6666667

HOMER'da kullanılan meteorolojik veriler "NASA "Yüzeysel Meteoroloji ve Güneş Enerjisi" veri tabanından elde edilmiştir. Buradan elde edilen solar ışımaya ve hava sıcaklığı değerleri için 22 yıllık (Temmuz 1983-Temmuz 2005) verilerin ortalaması, rüzgâr hızı değerleri için 10 yıllık (1983-1993) verilerin ortalaması alınmaktadır. Çalışmada ele alınan bölgenin solar enerji potansiyeli yaz aylarında fazlayken, kış aylarında azalmaktadır. Bölgenin yıllık ortalama günlük solar enerji potansiyeli Şekil 2'de de görüldüğü gibi 5,27 kWh/m²/gün olarak belirlenmiştir.



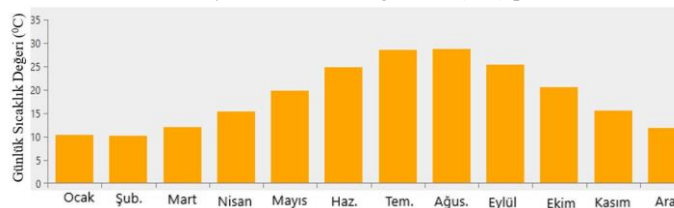
Şekil 1: Aylık ortalama solar radyasyon (kWh/m2/gün) profili

Bölgenin aynı şekilde rüzgâr hızı profili NASA'dan elde edilmiştir. Bu verilere göre bölgenin ortalama rüzgâr hızı 4,34 m/s'dir. Bölgenin rüzgâr hızı profili Şekil 3'te gösterilmiştir. Solar enerjinin yetersiz kaldığı durumlarda rüzgâr enerjisinin

tamamlayıcı enerji kaynağı olacağı göz önündedir. Be nedenden dolayı hibrit sistemlerde en çok kullanılan enerji kaynakları olmuşlardır.



Şekil 2: Aylık ortalama rüzgâr hızı (m/s) profili



Şekil 3: Bölgenin aylara göre günlük sıcaklık değerleri (°C).

Çalışma yapılacak bölgenin yıllık sıcaklık ortalaması 8,58°C olarak gözlemlenmiştir. Bölgenin aylara göre günlük ıcaklık değerleri Şekil 4'te gösterilmiştir.

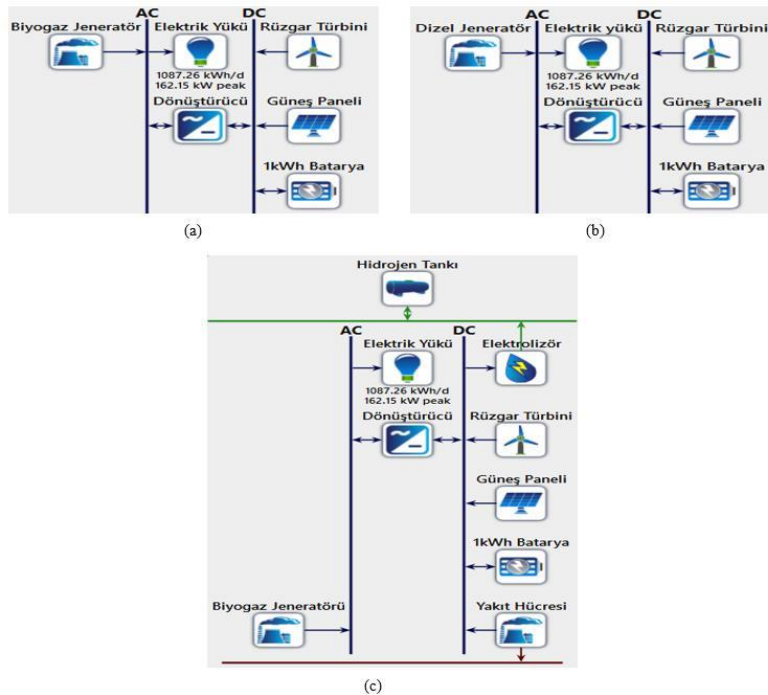
2.1 HOMER (Hybrid Optimization of Multiple Electric Renewables) programı

Temel bir bilgisayar yazılımı olan HOMER programı, Birleşik Devletler Ulusal Yenilenebilir Enerji Laboratuvarı (NREL) tarafından geliştirilmiş bir mikro güç optimizasyon programıdır. HOMER programı dünyanın en gelişmiş modelleme yazılımıdır [15]. Bu program, sistemlerin fiziksel davranışlarını, işletme ve kurma maliyeti toplamı olan yaşam ömürü maliyeti ve enerji birim maliyetini (COE) farklı kombinasyonlar için bulmaktadır. Ek olarak, sistem modellenirken yapılan herhangi bir değişikliğin ve belirsizliğin anlaşılmasına yardımcı olur. HOMER yazılımı bir yükü besleyen rüzgar türbinlerinin, fotovoltaik panellerin, hidroelektrik santrallerin, yakıt hücrelerinin, pistonlu motor jeneratörlerinin, biokütle gücünün, akülerin ve hidrojen depolama sistemlerinin bulunduğu şebeke bağlantılı ve şebeke bağlantısız çalışan sistemleri modelleyebilir. Sistem tasarımı yapılırken birçok değişken vardır. HOMER yazılımı tasarımı kolaylaştıran bu gibi sorunların önüne geçmesi için tasarlanmış olup üç temel görevi gerçekleştirirler. Bunlar; hassaslık, simülasyon ve optimizasyon analizleridir. Hassaslık analizi kapsamında HOMER programı, girişlerdeki değişikliklerin ve belirsizliklerin sistem üzerindeki etkilerini ölçmek için çok sayıda optimizasyon işlemi gerçekleştirir. Optimizasyon

işlemi, sistemi tasarlayan kişinin belirlediği bütün değişkenlerin optimum değerlerini belirler. Hassaslık analizinde ise kişinin elinde olmayan değişkenlerin etkilerinin değerlendirilmesinde yardımcı olur. Simülasyon süreci kapsamında ise HOMER programı yılın her saati için sistem konfigürasyonu performansını, sistemin teknik fizibilitesini ve yaşam süresi maliyetini belirleyebilmek için modeller.

2.2 Hibrit sistem bileşenleri

Hibrit sistemin temel bileşenleri içinde güneş panelleri, rüzgar türbinleri, dizel jeneratörler, yakıt hücresi, biyogaz jeneratörler, dönüştürücüler ve bataryalar mevcuttur. Dönüştürücüler, istenilen elektrik yüküne bağlı olarak alternatif akıma (AA) veya doğru akıma (DA) dönüştürmek için kullanılır. Tasarlanacak olan sistemde alternatif akıma ihtiyaç vardır. Bu nedenle sisteme dönüştürücü eklenmiştir. Sistem talep edilen yükü karşılamak için yakıt hücresi, rüzgâr türbini ve güneş panelleri kullanılmaktadır. Fakat bu bileşenler enerji ihtiyacını karşılamakta yetersiz kalırsa dizel jeneratör ve biyogaz jeneratörü devreye girecektir. Bütün bu bileşenler sisteme dahil edilmiş ve HOMER programında simülasyonları elde edilmiştir. Ele alınan bölgenin yük ihtiyacını karşılamak için 3 farklı simülasyon yapılmıştır. Bunlar; güneş paneli-rüzgâr türbini-dizel jeneratör-batarya, güneş paneli-rüzgâr türbini-biyogaz jeneratör-batarya ve güneş paneli-rüzgâr türbini-yakıt hücresi-biyogaz jeneratör-batarya şeklindedir. Bu farklı senaryolara ait HOMER şematik diyagramı Şekil 4'te verilmiştir.



Şekil 4: (a) Güneş paneli-rüzgâr türbini-biyogaz jeneratör-batarya (b) güneş paneli-rüzgâr türbini-dizel jeneratör-batarya (c) güneş paneli-rüzgâr türbini-yakıt hücresi-biyogaz jeneratör-batarya hibrit sistem modeli

2.2.1. Rüzgâr türbini

Rüzgâr türbinleri, rüzgâr hızıyla pervanelerin önmesinden oluşan mekanik enerjiyi elektrik enerjisine dönüştüren yenilenebilir bir enerji kaynağıdır. Genel olarak rüzgâr türbinleri, kule jeneratör, hız dönüştürücüleri, elektrik ve elektronik devreler ve pervanelerden oluşan ekipmanlar üstünden meydana gelir. Her enerji kaynağı türüne göre enerji maliyeti değişkenlik göstermektedir [16]. Birim enerji maliyetini düşürmek için en uygun yollardan birisi de rüzgâr türbinleridir. Fakat rüzgâr türbinlerinin kurulum maliyeti yüksek olduğu için düşük kapasiteli rüzgâr türbinleri tercih edilmektedir. Bu nedenle, çalışmada rüzgâr türbinleri 10 W'lık kullanılmıştır. Bu seçimle kurulum maliyetini düşürmesinin yanında aynı zamanda bölge için verimli bir enerji kaynağı olmuştur. Çalışmada, rüzgâr türbininin ömrü 20 ve 25 yıl, türbin yüksekliği ise 24 ve 30 m farklı değerlerde seçilmiştir. Rüzgâr türbinin ekonomik özellikleri Tablo 2'de verilmiştir.

Tablo 2: Rüzgâr türbininin ekonomik verileri.

Rüzgâr türbini	Generic 10 kW
Kurulum maliyeti/kW	7.000 \$
Kurulum maliyeti	50.000 \$
Yenileme maliyeti	50.000 \$
Yıllık operasyon ve bakım maliyeti	500 \$
Ömrü	20 ve 25 yıl
Türbin yüksekliği	24 ve 30 m

2.2.2. Güneş paneli

Güneş enerji kaynağının en önemli parçalarından birisi güneş panelidir. Güneş panelindeki fotovoltaik hücreler, gelen ışınımı direkt olarak doğru akıma çevirirler. Güneş enerjisi üyanın enerji ihtiyacını karşılayabilecek bir yenilenebilir enerji kaynağıdır [17]. Doğal olarak, Türkiye'nin de güneş enerjisi potansiyeli yüksek olmasından dolayı tercih edilebilecek en uygun yenilenebilir enerji sistemidir [18]. HOMER programının kullanılmasıyla tasarlanacak sistemde Peimer SGM360M paneli tercih edilmiştir. Sistemde kullanılan panelin ömrü 30 yıl olarak alınmıştır. Kullanılacak panelin 1 kW için maliyeti 650\$, yenileme maliyeti 650\$, bir yıl için operasyon ve bakım maliyeti 20\$ olarak kabul edilerek HOMER programında simülasyonlar gerçekleştirilmiştir. Sistemde kullanılacak olan panelin azaltma faktörü yani kir, ıslaklık, gölge ve eskime gibi nedenlerden dolayı çıkışında oluşacak kayıpların dikkate alınmasını sağlayan değer %80 olarak alınmıştır. Peimer SGM360M panelinin teknik özellikleri aşağıda Tablo 3'te verilmiştir.

Tablo 3: Peimer SGM360M güneş panelinin teknik özellikleri.

Panel tipi	Düz plaka
Değerlendirilen kapasite (kW)	1

Sıcaklık katsayısı	-0,352
Verimlilik (%)	18,5
Ağırlık (kg)	22,5
STC güç derecesi (W)	360

2.2.3. Batarya

Sistem modellemesinde bataryalar, yenilenebilir enerji kaynakları tarafından üretilen enerjiyi, üretilen enerji yük ihtiyacından fazla olduğu zaman depolayan ve aynı zamanda üretilen enerji sisteme yeterli olmadığı zaman depoladığı enerjiyi sisteme aktaran elemanlardır. Bataryalar tarafından depolanan enerji ve sisteme aktarılan enerji DA gerilimindedir. Bataryaların maliyeti oldukça fazla olmasından dolayı batarya sayısının sisteme olan etkisi oldukça önemlidir [19]. Sistemde kullanılacak olan bataryaların 1 kWh başına maliyeti 450\$, yenileme maliyeti 450\$, yıllık operasyon ve bakım maliyeti ise 20\$ olarak kabul edilerek simülasyona dahil edilmiştir. Bataryaların ömrü 15 ve 25 yıl olarak eklenmiştir. Aynı zamanda bataryanın deşarj derinliği %80 olarak simülasyonda kullanılmıştır. Sistemde kullanılan bataryanın teknik özellikleri Tablo 4'de verilmiştir.

Tablo 4: Generic 1 kWh Li-Ion batarya teknik özellikleri.

Nominal Voltaj (V)	6
Nominal kapasite (kWh)	1
Nominal kapasite (Ah)	167
Gidiş-dönüş verimliliği (%)	90
Maksimum şarj akımı (A)	167
Maksimum deşarj akımı (A)	500

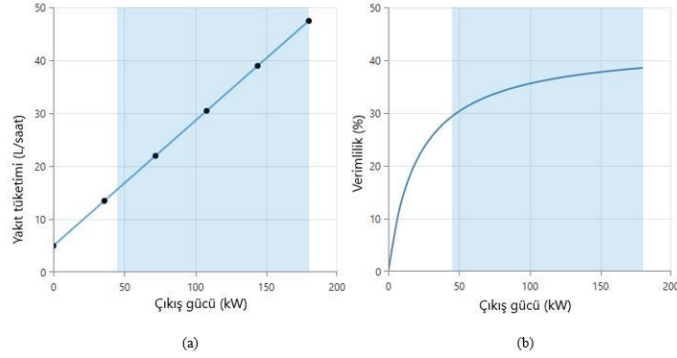
2.2.4. Dizel jeneratör

Çalışmada kullanılan jeneratörlerden biri dizel jeneratördür. HOMER programında tanımlı Autosize Genset jeneratör alınmış olup, sistemde 180 kW'lık dizel jeneratör kullanılmıştır. Dizel jeneratörün kW başına maliyeti 550\$, yenileme maliyeti 550\$ olarak alınmıştır. Aynı zamanda birim saatte operasyon ve bakım maliyeti 0,030\$ olarak alınmıştır. Jeneratörün çalışma ömrü ise 15.000 saat olarak alınmıştır. Dizel jeneratör saatte 4,96 litre yakıt harcamaktadır. Dizel jeneratörde kullanılacak dizelin fiyatı 20 Aralık 2021 tarihinde Merkez Bankası'ndan alınan değerler kullanılarak (1\$=17 TL) 0,68\$/L değeri alınmıştır. Dizel yakıtın emisyon ve yakıt özellikleri aşağıda Tablo 5'te verilmiştir.

Tablo 5: Sistemde kullanılan dizel yakıtın emisyon ve özellikleri.

Emisyon değerleri		Yakıt özellikleri	
CO (g/L yakıt)	16,5	Alt ısı değeri (MJ/kg)	43,2
Partikül miktarı (g/L yakıt)	0,1	Yoğunluk (kg/m ³)	820
NOx (g/L yakıt)	15,5	Karbon içeriği (%)	88
Yanmayan HC (g/L yakıt)	0,72	Sülfür içeriği (%)	0,4

Dizel jeneratörün tüketeceği yakıtı göre elde edeceği çıkış gücü ve çıkış gücüne göre verimliliği Şekil 5'te verilmiştir.



Şekil 5: (a) dizel jeneratörün tüketeceği yakıtı göre çıkış gücü (b) dizel jeneratörün çıkış gücüne göre verimliliği.

2.2.5. Biyogaz jeneratörü

Sistemde kullanılan diğer bir jeneratör tipi biyogaz jeneratörüdür. Biyogaz jeneratörünün yakıtı kızılçam odun pelletidir. Çalışma yapılacak bölgede kızılçam ormanları mevcuttur. Kızılçam ormanlarından hasat edilen dal odunları Ağla il merkezinde bulunan ticari pelet üretimi gerçekleştiren Yücel Kereste İşletmesinde kızılçam peleti haline getirilmektedir. Üretilen kızılçam peletlerinin özkütlesi, kül bırakma yüzdesi ve uçucu madde miktarı sırasıyla 0,671 t/cm³, %4,91 ve %73,9 olarak bulunmuştur. Aynı zamanda C, I, O, N miktarları ise sırasıyla %47,52, %5,15, %42,16, %0,26 olarak bulunmuştur. Kızılçam peletinin ısı değeri ise 7-18 MJ/kg aralığındadır [20]. Simülasyona kızılçam pelletinin ısı değeri 17 MJ/kg olarak dahil edilmiştir. Biyogaz jeneratörü için kızılçam peleti işletmeden istenilen miktarda alınacaktır. Kızılçam peletinin 1 ton için maliyeti 50\$ olarak hesaplanıp simülasyonlar gerçekleştirilmiştir. Tercih edilen biyogaz jeneratörünün 1kW için maliyeti 1000\$, yenileme maliyeti 1000\$ ve operasyon-bakım maliyeti 1 saat için 0,30\$ olarak hesaplanmıştır. Sistemde kullanılan biyogaz jeneratörü 10kW kapasitelidir. Jeneratörün kullanım ömrü ise 20.000 saat olarak belirlenmiştir.

2.2.6. Yakıt Hücresi

Yakıt hücresi, kaynak olarak hidrojen kullanan ve kullanılan hidrojenin ısı ve elektrik üreten elektrokimyasal bir sistemdir. HOMER programında tanımlı olan Generic Fuel Cell yakıt hücresi sisteme dahil edilmiştir. Kullanılan yakıt hücresinin kapasitesi 30 kW, kullanım ömrü 50.000 saat, kurulum maliyeti 2000\$/kW, operasyon ve bakım maliyeti 0,010\$/saat/kW, yenileme maliyeti 2000\$/kW olarak simülasyon işlemleri gerçekleştirilmiştir.

2.2.7. Elektrolizör

Elektroliz işlemini gerçekleştiren ve işlem sonunda hidrojen oluşumunu sağlayan sistem bileşenine elektrolizör

denir. Sistemde kullanılan Elektrolizör HOMER programında tanımlı Generic Elektrolizör olup, verimliliği %85, kullanım ömrü 15 yıl olarak alınmıştır. Elektrolizörün kapasitesi 100 kW olarak sisteme dahil edilmiştir. Elektrolizörün ekonomik özellikleri, kurulum maliyeti 1000\$/kW, operasyon ve bakım maliyeti 0,10\$/saat/kW, yenileme maliyeti 500\$/kW olarak değerlendirilmiştir.

2.2.8. Hidrojen tankı

Elektrolizörde elde edilen hidrojeni sıkıştırılmış gaz halinde depolamaya yarayan en basit yöntem hidrojen tank kullanımudur. Yapılan araştırmalara göre hidrojen tankının 1kg için 1000\$-1100\$ arasında maliyeti olduğu görülmüştür [21]. Hidrojen tankının ekonomik verileri, kurulum maliyeti 1000\$/kg, operasyon ve bakım maliyeti 10\$/saat/yıl, yenileme maliyeti 500\$/kg ve ömrü 25 yıl seçilmiştir.

Ekonomik verileri verilen hidrojen tankı, HOMER programına tanımlı olan Generic Hidrojen Tank olarak sisteme dahil edilmiştir. Hidrojen tank boyutu 0 kg, 100 kg ve 200 kg olacak şekilde tercih edilip simülasyonlar gerçekleştirilmiştir. Sisteme 3 farklı tank boyutu tanımlanmasının sebebi, en uygun tank boyutunun bulunmasıdır.

2.2.9. Dönüştürücü

AA ve DA arasındaki enerji akışını sağlayabilmek için bir güç dönüştürücü gereklidir. HOMER'da dönüştürücü olarak tanımlanan eleman, hem DA-AA dönüştüren evirici hem de AA-DA dönüştüren doğrultucu gibi çalışmaktadır. Sisteme eklenen dönüştürücü, HOMER'da tanımlı Generic System Converter olarak simülasyonları yapılmıştır. Sisteme dahil edilen dönüştürücünün verimi %95, ömrü 15 yıl, kurulum ve yenileme maliyetleri 600\$/kW, operasyon ve bakım maliyeti 40\$/yıl olarak belirlenmiştir.

2.3. Ekonomik Analiz Girdileri

HOMER programı maliyet hesaplamalarında yıllık gerçek faiz oranını kullanmaktadır. Gerçek faiz oranı bulunurken

güncel faiz oranı ve enflasyon oranlarından yararlanır. Yıllık gerçek faiz oranı aşağıda verilen denklem ile bulunur.

$$i = (i' - f)/(1 + f) \quad (1)$$

Burada; i yıllık gerçek faiz oranı, i' güncel faiz oranı ve f ise yıllık enflasyon oranı olarak tanımlanmaktadır. Bu çalışma kapsamında güncel faiz oranı %15.00, enflasyon oranı %19.80 olarak alınmıştır. Bu verilere göre gerçek faiz oranı -%4.01 olarak bulunmuştur.

2.4. Hibrit Sistem Modeli

Bu çalışmada Muğla'nın Köyceğiz ilçesine bağlı Zaferler Köyü'nde şebekeden bağımsız 3 farklı hibrit enerji sisteminin HOMER programı yardımıyla simülasyon ve analizleri yapılmıştır. Yapılan simülasyonda 3 senaryo içinde birim enerji maliyeti ve net şimdiki maliyet değerleri elde edilmiştir. Bu senaryolarda belirtilen optimum maliyet sonuçları Tablo 6'da verilmiştir.

Tablo 6: Hibrit enerji sistemlerinin optimizasyon sonuçları.

Senaryo	Rüzgâr Türbini	Güneş Paneli (kW)	Biyogaz Jeneratör (kW)	Dizel Jeneratör (kW)	Yakıt Hücreli Jeneratör (kW)	Dönüştürücü (kW)	Batarya	Optimizasyon Stratejisi	Net Bugünkü Maliyet (\$)	Birim Enerji Maliyeti (\$)
1	1	546	30	-	-	134	1.077	Döngü Şarj	3.26 M	0,185
2	1	465	-	180	-	119	978	Yük İzleme	2.93 M	0,166
3	1	320	30	-	30	113	431	Yük İzleme	2.69 M	0,152

Bütün senaryolarda güneş paneli/rüzgâr türbini/batarya/jeneratör kullanılmıştır. Oluşturulan hibrit sistemler arasındaki fark jeneratör tipleridir. Senaryo 1'de biyogaz jeneratörü, senaryo 2'de dizel jeneratörü, senaryo 3'te ise biyogaz jeneratörü ve yakıt hücresi kullanılarak hibrit sistemler oluşturulmuştur. Senaryo 3'te kullanılan biyogaz jeneratörü ve yakıt hücresi diğer seçeneklere göre uygun olup, aynı zamanda optimizasyon stratejisinde yük izleme seçilmesi sistemde ihtiyaç duyulan batarya sayısını da azaltmaktadır. Bu sebeplerden dolayı sistemin net bugünkü maliyeti ve birim enerji maliyeti diğer sistemlere göre oldukça düşük çıkmaktadır. Hibrit sistemlerin maliyetleri karşılaştırıldığında, net bugünkü maliyeti 2.69 milyon \$ ve birim enerji maliyeti 0,152 \$ olan senaryo 3 en uygun model olmaktadır. Sistemlerde optimizasyon yapılırken batarya ve rüzgâr panelinin yaşam ömrü, rüzgâr türbininin kule yüksekliği değiştirilmiştir. Seçilen senaryonun hibrit sistem şematik görünümü Şekil 4 c'de verilmiş olup köy halkının elektrik ihtiyacını karşılayacak şekilde tasarlanmıştır.

3. Bulgular ve Tartışma

Sistem senaryolarının optimizasyon sonuçlarının yanında aynı zamanda bileşenlerinin de optimizasyon sonuçları incelenip değerlendirilmesi gerekir. Yapılan simülasyonlar ışığında, belirlenen parametreler dahilinde seçilen bölgeye en uygun sistem senaryo 3 olmuştur. Aynı zamanda senaryo 3'ün

emiyon değerlerinin de incelenmesi gerekir. Senaryo 3'ün emiyon değerleri Tablo 7'de verilmiştir.

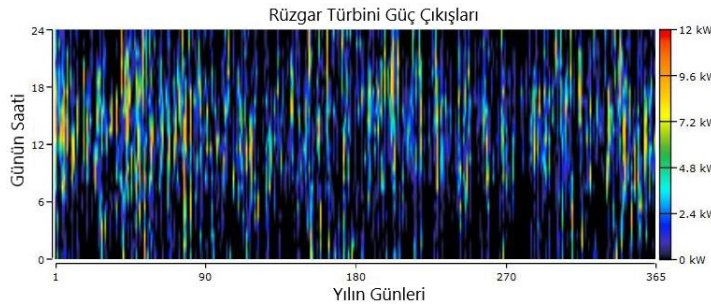
Tablo 7: Seçilen hibrit sistemin emiyon değerleri.

	Değer
	kg/yıl
Karbon Dioksit	53.163
Karbon Monoksit	5,52
Yanmamış Hidrokarbon	0
Partikül Madde	0
Sülfür Dioksit	0
Nitröz Oksit	0,577

Seçilen sistemin emiyon değerleri diğer sistemlere göre daha azdır. Her ne kadar karbon dioksit miktarı fazla çıksa da aslında biyogaz jeneratöründe kullanılan yakıt kızılçam peleti olduğundan karbon ayak izi neredeyse sıfırdır. Tüm bunlar göz önüne alındığında sistemin yenilenebilir enerji faktörü %67,1 olarak bulunmuştur. Yenilenebilir enerji faktörünün bu şekilde çıkması yine kullanılan kızılçam peletinin etkisidir. Kullanılan

kızılçam peletinin daha temiz bir yakıt olması sağlanabilir. Bu ayede yenilenebilir enerji faktörü artırılabilir. Sürdürülebilir bir dünya için bunun gibi iyileştirmeler tüm sistemler için aynaya düşünülmesi ve daha temiz enerji elde etmek için gerçekleştirilmelidir.

3.1.Rüzgâr Türbininin Sisteme Etkisi

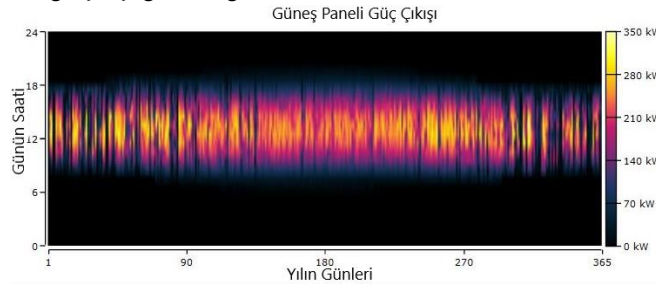


Şekil 6: Seçilen sistemin yılın farklı zamanlarında rüzgâr türbinini güç çıkış değerleri.

Şekilde gözüktüğü üzere sisteme entegre edilen rüzgâr türbinini, yılda 6.489 saat çalışarak 10.765 kWh/yıl elektrik enerjisi üretmektedir. Üretilen elektrik enerjisinin birim maliyeti 0,170 \$/kWh, rüzgâr türbinin ortalama güç çıkışı 1,23 kW, kapasite faktörü %12,3 olmaktadır. Rüzgâr türbinini görüldüğü üzere yılın ilk aylarında daha fazla kullanılmıştır. Bunun nedeni kış aylarında güneş panellerinin sağlamadığı enerjiyi kullanımda olmadığı durumlarda rüzgâr türbininin ihtiyaç olan elektrik enerjisini üretmesinden kaynaklıdır.

3.2.Güneş Panellerinin Sisteme olan Etkisi

Şekil 7'de senaryo 3'te kullanılan güneş panellerinin yılın farklı gün ve saatlerinde elde ettiği güç çıkışı değerleri



Şekil 7: Yılın farklı zamanların sisteme entegre edilen güneş panellerinin çıkış gücü değerleri.

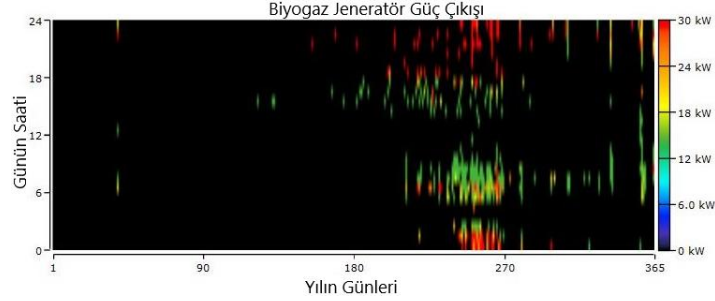
3.3.Biyogaz Jeneratörünün Sisteme olan Etkisi

Şekil 8'de görüldüğü üzere biyogaz jeneratörü en yüksek güç çıkışını gece saatlerinde elde etmiştir. Aynı zamanda yaptığı üretimin büyük kısmını yaz aylarında kullanıcıya vermiş ve edarık etmiştir. Bunun sebebi yöre halkının yaz aylarında yaptığı tarla sulama olayıdır. Sulamadan kaynaklı elektrik kullanımının artması biyogaz jeneratörünün güç çıkışında

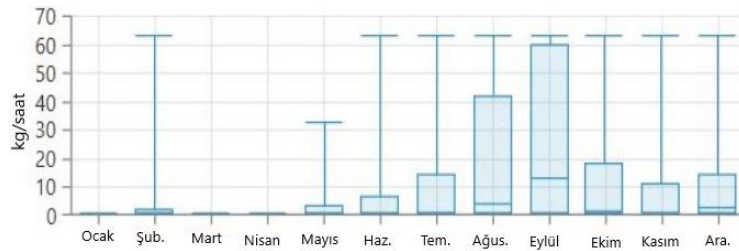
Tasarlanan 3 sistem arasında senaryo 3'ün yılın farklı gün ve saatlerinde rüzgâr türbininden elde edilen çıkış gücü Şekil 6'da verilmektedir. Seçilen bölgede, elde edilen rüzgâr türbininin çıkış gücü o anki rüzgâr hızı ve sistemin ihtiyacı olan üretim miktarına bağlıdır.

gözükmektedir. Seçilen bölgenin konumu itibarıyla, güneş panellerinin elde ettiği güç miktarı sistemin ana enerji kaynağıdır. Aynı zamanda panellerin kapasitesi yüksek olmasından dolayı kısa sürede daha fazla enerji üretmektedir. Sistem için seçilen güneş panelleri yılda 4.387 saat çalışarak toplamada 558.809 kWh/yıl elektrik enerjisi üretmektedir. Panellerin günlük ortalama güç çıkışı 1.531 kWh ve kapasite faktörü %19,9 olmaktadır. Sisteme entegre edilen güneş panellerinin maksimum çıkış gücü ise 334 kW olarak ortaya çıkmıştır. Panellerin ürettiği elektrik enerjisinin birim maliyeti 0,0160 \$/kWh olmaktadır. Şekil 7'de de görüldüğü üzere günün belli saatleri güç çıkışı elde eden panellerin tek başına yeterli olmadığı görülmektedir.

büyük role sahiptir. Sisteme entegre edilen biyogaz jeneratörü yılda 201 kez çalıştırılmış olup, yılda 399 saat çalıştırılmış ve toplamda 8.123 kWh elektrik enerjisi üretmiştir. Jeneratörün spesifik yakıt tüketimi 2,15 kg/kWh olup yıllık yakıt tüketimi ise 23.6 ton olarak ortaya çıkmıştır. Kullanılan yakıt olan kızılçam peletinin aylık kullanım miktarları Şekil 8'de verilmiştir.



Şekil 8: Sisteme entegre edilen biyogaz jeneratörünün çıkış gücü değerleri.

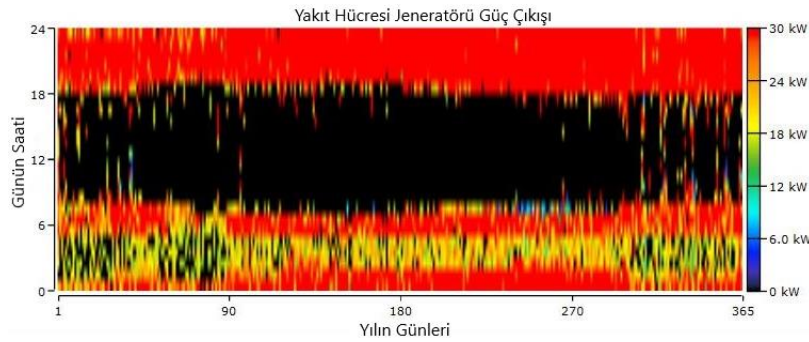


Şekil 9: Biyogaz jeneratörünün kullandığı kızılçam peletinin aylık tüketimi.

Şekil 9'da görüldüğü üzere yaz aylarında jeneratörünullandığı yakıt miktarı artmış ve en yüksek eylül ayında yakıtullanılmıştır. Kızılçam peletinin ortalama günlük jeneratör eslemesi 0,0646 ton ve ortalama saatlik jeneratör beslemesi ,00269 ton olarak ortaya çıkmıştır.

3.4.Yakıt Hücresi Jeneratörünün Sisteme olan Etkisi

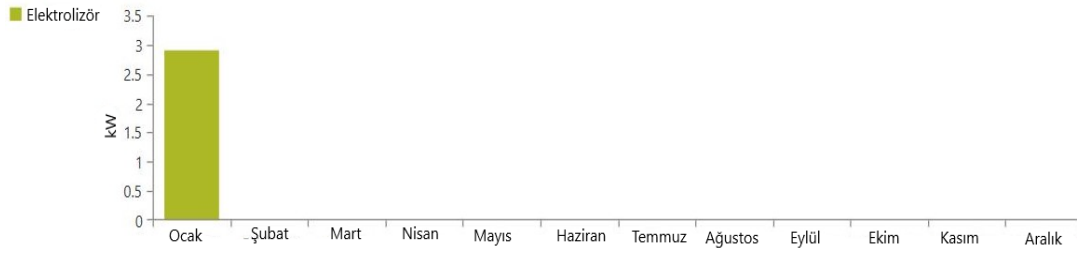
Yakıt hücresi jeneratörü yakıt olarak hidrojen kullanılır. Kullanılacak olan hidrojen, elektrolizör vasıtasıyla suyun elektrolizi ile meydana gelir. Suyun elektrolizi sırasında kullanılacak olan elektrik enerjisi sistemdeki fazla elektrik enerjisinden sağlanır. Elde edilen hidrojeni depo etmek için hidrojen tankı kullanılmıştır. Yani sisteme entegre edilen bu yenilenebilir enerji sistemi bir nevi enerji depolama ve enerji üretme sistemidir. Çalışmada kullanılan yakıt hücresi jeneratörünün çıkış gücü değerleri Şekil 10'da verilmiştir.



Şekil 10: Sisteme entegre edilen yakıt hücresi jeneratörünün çıkış gücü değerleri.

Şekil 10'da görüldüğü üzere yakıt hücresi jeneratörünün çıkış gücü değerleri yılın farklı gün ve saatlerine göre erilmiştir. Sisteme entegre edilen bu jeneratör yılda 4.947 saat çalışarak toplamda 130.361 kWh/yıl elektrik enerjisi retmiştir. Aynı zamanda yakıt hücresi jeneratörünün toplam akıt tüketimi 27.376 m³ hidrojen ve spesifik yakıt tüketimi ,210 m³/kWh olarak bulunmuştur. Sisteme dahil edilen bu eneratör Şekil 12'de görüldüğü üzere, günün öğle saatlerinde

fazla çalışmamıştır. Genellikle akşam saatlerinden başlayıp öğle saatlerine kadar çalışmıştır. Bunun sebebi ise güneş panellerinin öğle saatlerinde ihtiyaç olan enerjiyi karşılamaya başlamasıdır. Bütün bunların yanında hidrojen üretmek için gereken elektrolizörün performansını da incelemek yerinde olur. Elektrolizörün aylık harcadığı enerji miktarı Şekil 11'de verilmiştir.



Şekil 11: Sisteme entegre edilen elektrolizörün aylık enerji kullanımı.

Şekil 11’de verilen grafiğe göre elektrolizör sadece Ocak ayında üretim yapmıştır. Sisteme entegre edilen elektrolizör aylık 90 kg üretim yapmıştır. Sistem simülasyonu yapılırken 100 kW kapasiteli elektrolizör seçilmiştir. Burada 3-5 kW kapasiteli elektrolizör bu sisteme yeterli olacaktır. Sistem bileşenlerinden biri olan hidrojen tankı üretilen hidrojeni gerektiği zaman kullanılması için depo etmektedir. Daha

önceden hidrojen tankı için girilmiş olan tank boyutları 100 kg ve 200 kg olacak şekilde seçenek belirlenmişti. Şekil 11’de görüldüğü üzere elektrolizör yalnızca ocak ayında üretim yapmış olup, bu üretim 90 kilogramdır ve hidrojen tankında depolanmaktadır. Bütün bunlar göz önüne alındığında 100 kg boyutundaki hidrojen tankı yeterli olacaktır. Şekil 12’de hidrojen tankının aylık depoladığı hidrojen miktarı verilmiştir.



Şekil 12: Sisteme entegre edilen hidrojen tankının aylık depo ettiği hidrojen miktarı.

istem dahilinde mevcut 100 kg hidrojen tankı 3.333 kWh enerji depo etme özelliğine sahiptir.

3.5. Batarya Kullanımının Sisteme Etkileri

Sistem içerisinde batarya kullanımı sistem maliyetini önemli derecede artırmıştır. Tablo 8’de 3 senaryo için senaryoların net bugünkü değerleri ve birim enerji fiyatları ile birlikte batarya sayıları ile birlikte verilmiştir.

Görüldüğü üzere batarya sayısının artması sistemin maliyetini önemli oranda artırmıştır. Batarya sayısının 1.077 olduğu senaryo 1 de enerji maliyeti 0,185 \$ iken, 431 batarya sayısına sahip senaryo 3 ise 0,152 \$ birim enerji maliyetine sahiptir. Bu bilgilere dayanarak senaryo 3’teki batarya

sayısının miktarı ile birlikte birim enerji maliyeti ve net bugünkü değer de düşmüştür. Sisteme entegre edilmiş bataryaların yıl içerisindeki şarj durumunu saatlik olarak Şekil 13’te gösterilmiştir.

Tablo 8: Farklı senaryoların batarya sayısı, NBD ve birim enerji maliyeti.

Senaryolar	Batarya Sayısı	Net Bugünkü Değer (\$)	Birim Enerji Maliyeti (\$)
1	1.077	3.26 M	0,185
2	978	2.93 M	0,166
3	431	2.69 M	0,152

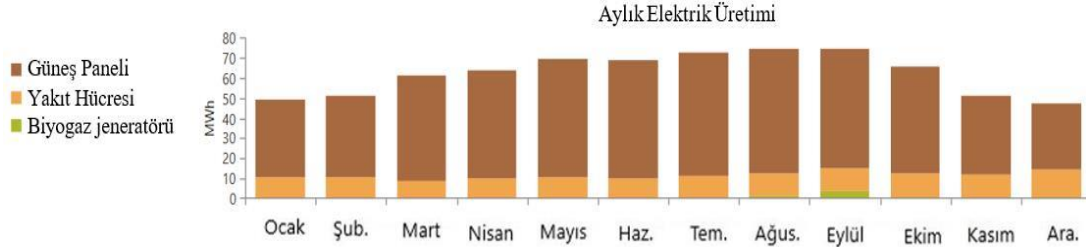


Şekil 13: Bataryaların yıl içerisindeki şarj durumu.

görüldüğü üzere bataryalar günün gündüz vaktinde şarj olmakta ve akşam vakitlerinde kullanılmaktadır. Bataryalara aylık 76.732 kWh enerji girdisi olup, yıllık 7.690 kWh kayıptır.

4. Sistem Bileşenlerinin Üretim Dağılımı

Sistem bileşenlerinin toplam üretime ne kadar payı olduğu değerlendirme için önemlidir. Şekil 14'te sistem bileşenlerinin yıllık enerji üretimi verilmiştir.



Şekil 14: Sistem bileşenlerinin aylık enerji üretim dağılımı.

Görüldüğü üzere elektrik üretiminin büyük bir kısmını güneş paneli ve yakıt hücresi sağlamıştır. Tablo 9'da toplam

enerji üretiminin bileşenler tarafından ne kadarlık bir paya sahip olduğu verilmiştir.

Tablo 9: Sistem bileşenlerinin enerji üretimindeki payları

Üretim	Güneş Paneli	Rüzgar Türbini	Biyogaz Jeneratörü	Yakıt Hücresi Jeneratörü	Toplam
kWh/yıl	558.809	10.765	8.123	130.361	708.057
%	78,9	1,52	1,15	18,4	100

Tablo 9'da verilen değerlere göre güneş paneli ardından akıt hücresi jeneratörü üretimde yüksek enerji üretim payına sahiptir. Biyogaz jeneratörü ve rüzgar türbini enerji üretim ayında çok küçük bir paya sahip olduğu görülmektedir. Bütün u sistemin fazla elektrik üretimi yılda 279.354 kWh, arşılanmamış elektrik yükü yılda 132 kWh ve kapasite ikıntısı yılda 386 kWh olarak bulunmuştur. Seçilen sistemin enilenebilir enerji faktörü %67,1 olarak elde edilmiştir.

4. Sonuç

Bu çalışmada, Muğla ilinin Köyceğiz ilçesine bağlı olan Zaferler köyünün elektrik ihtiyacının karşılanması amacıyla ebeke bağlantısız bir hibrit enerji sistem analizleri yapılmıştır. Toplanan veriler HOMER programında kullanılarak farklı istemler karşılaştırılmış ve simülasyonları yapılmıştır. IOMER programında 3 farklı senaryonun simülasyonu gerçekleştirilmiştir. Bütün senaryolarda rüzgâr türbini, güneş paneli ve bataryalar kullanılırken, senaryo 1'de biyogaz jeneratörü, senaryo 2'ye dizel jeneratörü ve senaryo 3'e yakıt hücresi ve biyogaz jeneratörü eklenmiştir. Bütün senaryoların simülasyon sonuçlarına göre, birim enerji maliyeti ve net bugünkü değerleri göz önüne alındığında senaryo 3 en uygun hibrit sistem olarak karşımıza çıkmıştır. Senaryo 3'ün birim enerji maliyeti, net bugünkü değeri, kurulum maliyeti ve perasyon ve bakım maliyeti sırasıyla 0,152 \$, 2.69 milyon \$, 09.980 \$, 42.222 \$ olarak hesaplanmıştır. Her hanenin yaklaşık 12.300 \$ yatırım yapmasıyla 25 yıllık hem elektrik em de tarla sulama ihtiyacını karşılayabileceği düşünülmektedir. Senaryo 3'ün bileşenlerinden olan güneş paneli % 78.9, rüzgar türbini % 1.52, biyogaz jeneratörü % 1.15 ve yakıt hücresi jeneratörü % 18.4 olacak şekilde ihtiyaç olan toplam enerjiyi karşılamıştır. Her ne kadar biyogaz

jeneratörü ve rüzgâr türbininin toplam enerji ihtiyacını karşılamada payları düşük olsa da ana enerji üretim kaynağı olan güneş panelinin enerji üretmediği zamanlarda ihtiyaç olan yükü karşılamışlardır. Bunun yanında biyogaz jeneratörünün yakıt olarak kullandığı kızılçam peleti üretimi için çevrede bolca bulunan kızılçam artıkları bu sistem bileşeninin avantajlarından birisidir. Aynı zamanda sistem bileşeninde bulunan yakıt hücresi jeneratörü fazla üretilen enerjiyi hidrojen olarak depo ettiği ve ihtiyaç zamanında kullandığı için sistemde batarya sayısı diğer senaryolara göre oldukça düşüktür. Bu durumda senaryo 3'ün maliyetini düşürmüş ve sistemin daha avantajlı bir sistem olmasını sağlamıştır. Bu değerlendirmeler kapsamında, seçilen bölgeye güneş paneli/rüzgar türbini/biyogaz jeneratörü/yakıt hücresi jeneratörü/batarya sistemi simülasyonları gerçekleştirilen sistemler arasında kurulumu yapılabilecek en uygun sistemdir. Fakat hibrit sistem konfigürasyonlarının pratik zorluklarını anlamak için uygulamaya ihtiyaç vardır.

Teknolojinin gelişmesiyle birlikte yenilenebilir enerji bileşenlerinin düşmesi ve fosil yakıtların tükenmesinden dolayı fiyat artışı yakın bir gelecekte hibrit enerji sistemlerinin ürettiği enerjinin birim maliyetinin geleneksel yolla üretilen enerjinin birim maliyetinden daha uygun olacağını ortaya koymaktadır.

5. Kaynakça

- [1] S. Jaman, "Techno-Economic Analysis Of A Solar Pv-Fuel Cell Based Hybrid Energy System For St. Martin Island Using Homer," *Seu J. Sci. Eng.*, Vol. 12, No. 1, 2018.
- [2] A. Maleki, M.G. Khajeh, M. Ameri, Optimal sizing of a grid independent hybrid renewable energy system

- incorporating resource uncertainty, and load uncertainty, *Int. J. Electr. Power Energy Syst.* 83 (2016) 514–524.
- [3] G. Tina, S. Gagliano, S. Raiti, Hybrid solar/wind power system probabilistic modelling for long-term performance assessment, *Sol. Energy.* 80 (2006) 578–588.
- 4] A. Tabak, “Konya İlinde Bir Fabrikanın Enerji Talebinin Karşılınması İçin Hibrit Enerji Üretim Sisteminin Analiz Ve Tasarımı Analysis And Design Of A Hybrid Energy Production System To Meet The Energy Demand Of A Plant In Konya,” 2021.
- 5] B. E. Türkay And A. Y. Telli, “Economic Analysis Of Standalone And Grid Connected Hybrid Energy Systems,” *Renew. Energy*, Vol. 36, No. 7, Pp. 1931–1943, 2011.
- 6] D. Ribó-Pérez, Á. Herraiz-Cañete, D. Alfonso-Solar, C. Vargas-Salgado, And T. Gómez-Navarro, “Modelling Biomass Gasifiers In Hybrid Renewable Energy Microgrids; A Complete Procedure For Enabling Gasifiers Simulation In Homer,” *Renew. Energy*, Vol. 174, Pp. 501–512, 2021.
- 7] M. S. Hossain, A. G. Alharbi, K. Z. Islam, And M. R. Islam, “Techno-Economic Analysis Of The Hybrid Solar Pv/H/Fuel Cell Based Supply Scheme For Green Mobile Communication,” *Sustain.*, Vol. 13, No. 22, Pp. 1–29, 2021.
- 8] Ş. Emeç and G. Akkaya, “Techno-economic analysis of a university’s electrical energy consumption with hybrid systems,” *J. Inf. Optim. Sci.*, vol. 42, no. 2, pp. 417–430, 2021.
- 9] A. Singh and P. Baredar, “Techno-economic assessment of a solar PV, fuel cell, and biomass gasifier hybrid energy system,” *Energy Reports*, vol. 2, pp. 254–260, 2016.
- 10] B. K. Das, R. Hassan, M. S. Islam, and M. Rezaei, “Influence of energy management strategies and storage devices on the techno-enviro-economic optimization of hybrid energy systems: A case study in Western Australia,” *J. Energy Storage*, vol. 51, no. March, p. 104239, 2022.
- 11] S. Madhura and V. Boddapati, “Optimal sizing and assessment of a hybrid energy based AC microgrid,” *Mater. Today Proc.*, vol. 49, pp. 326–332, 2021.
- 12] A. E. Akan, “Techno-Economic Analysis Of An Off-Grid Hybrid Energy System With Homer Pro,” *Icontech Int. J.*, Vol. 5, No. 3, Pp. 56–61, 2021.
- 13] R. Rajbongshi, D. Borgohain, And S. Mahapatra, “Optimization Of Pv-Biomass-Diesel And Grid Base Hybrid Energy Systems For Rural Electrification By Using Homer,” *Energy*, Vol. 126, Pp. 461–474, 2017.
- 14] P. Nema and S. Dutta, “Feasibility Study of 1 MW Standalone Hybrid Energy System: For Technical Institutes,” *Low Carbon Econ.*, vol. 03, no. 03, pp. 63–68, 2012.
- 15] S. Dursun, “Optimal Wind / Pv / Biomass Hybrid Power System For Forest Mugla Journal Of Science And Technology Optimal Wind / Pv / Biomass Hybrid Power System For Forest,” Vol. 2, No. June, Pp. 43–47, 2016.
- [16] M. A. Vaziri Rad, M. Panahi Vaghar, A. Kouravand, E. Bellos, and A. Kasaeian, “Techno-economic evaluation of stand-alone energy supply to a health clinic considering pandemic diseases (COVID-19) challenge,” *Sustain. Energy Technol. Assessments*, vol. 51, no. August 2021, p. 101909, 2022.
- [17] S. Basu, A. John, Akshay, And A. Kumar, “Design And Feasibility Analysis Of Hydrogen Based Hybrid Energy System: A Case Study,” *Int. J. Hydrogen Energy*, Vol. 46, No. 70, Pp. 34574–34586, 2021.
- [18] A. F. Güven And M. Mete, “Balikesiili Erdeilçesi için Bağimsihibritenerjisisteminfizibilite Çalışması Ve Ekonomianalizi,” *Konya J. Eng. Sci.*, Vol. 8055, Pp. 1063–1076, 2021.
- [19] M. F. Roslan, M. A. Hannan, P. Jern Ker, R. A. Begum, T. M. Indra Mahlia, and Z. Y. Dong, “Scheduling controller for microgrids energy management system using optimization algorithm in achieving cost saving and emission reduction,” *Appl. Energy*, vol. 292, no. October 2020, 2021.
- [20] T. Türkoğlu And C. Gökoğlu, “Kızılcım Ormanları Hasat Artıklarından Yapılan Odun Peletinin Yakıt Özelliklerinin Belirlenmesi,” *Süleyman Demirel Üniversitesi Fen Bilim. Enstitüsü Derg.*, Vol. 21, No. 1, P. 58, 2016.
- [21] F. Dawood, G. M. Shafiullah, And M. Anda, “Standalone Microgrid With 100% Renewable Energy: A Case Study With Hybrid Solar Pv-Battery-Hydrogen,” *Sustain.*, Vol. 12, No. 5, 2020.

Özgeçmişler



Aykut Fatih Güven, Lisans ve Yüksek Lisans eğitimlerini sırasıyla 2000 ve 2004 yıllarında Karadeniz Teknik Üniversitesi Elektrik Mühendisliği bölümünde tamamlamıştır. 2018 yılında başladığı doktora eğitimine Kocaeli Üniversitesi Elektrik Mühendisliği Anabilim Dalında devam etmektedir. Halen Yalova Üniversitesi Enerji Sistemleri Mühendisliği bölümünde Öğretim Görevlisi olarak çalışmaktadır. Araştırma alanları; yenilenebilir enerji, hibrit enerji sistemleri yönetimi, güç sistemi analizi ve meta-sezgisel optimizasyon algoritmaları.



Cüneyt Hatipoğlu, Lisans eğitimini, 2022 yılında Yalova Üniversitesi Enerji Sistemleri Mühendisliği bölümünde tamamlamıştır. Araştırma Alanları; hibrit enerji sistemleri, biyokütle ve yenilenebilir enerji kaynakları.

Güç Sisteminde Oluşan Harmonik ile Ara Harmoniklerin Modellenmesi ve Simülasyonu

Modeling and Simulation of Harmonic and Interharmonics in the Power System

Sabir Rüstemli¹, Behçet Kocaman¹, Sinan Tekev²



¹Elektrik-Elektronik Mühendisliği Bölümü Mühendislik Mimarlık Fakültesi
Bitlis Eren Üniversitesi, Bitlis, Türkiye
srustemli@beu.edu.tr, bkocaman@beu.edu.tr

²Elektrik-Elektronik Mühendisliği Anabilim Dalı Lisansüstü Eğitim Enstitüsü
Bitlis Eren Üniversitesi, Bitlis, Türkiye
sinantekev@hotmail.com

Öz

Elektrik tesislerinin güvenli olarak çalışmasında, tesisin sarımında ve işletiminde güç kalitesini etkileyen parametrelerin dikkate alınması gerekir. Bu parametrelerden biri de nonlineer özellikli elemanların oluşturduğu harmonik ve ara harmoniklerdir. Güç sisteminde oluşan harmonik ve ara harmonikler, güç kalitesini önemli ölçüde etkilemektedir. Bu çalışmada, güç sisteminde oluşan harmonik ve ara harmoniklerin etkilerinin tespiti için MATLAB/Simulink programı yardımıyla farklı nonlineer yüklerle karşı seri aktif güç filtresi modellenip simülasyon yapılmıştır. Nonlineer yükleri olan güç sistemindeki harmoniğin filtre yapılmadan önce ve filtre yapıldıktan sonra elde edilen sonuçlar analiz edilmiştir. Yapılan analizde, seri aktif güç filtresi kullanıldıktan sonra 3. harmonik için % 5.11 olan harmonik bozulmanın % 0.09'a düştüğü ve 3.5 ara harmonik için % 16 olan harmonik bozulmanın % 0.17'e düştüğü tespit edilmiştir.

Anahtar Kelimeler: Güç sistemi, harmonik, ara harmonik, seri aktif güç filtresi.

Abstract

In order for electrical installations to operate safely, some factors must be taken into account during the design and operation of the plant. One of these factors is the harmonics and interharmonics created by the elements with nonlinear characteristics, which are among the parameters that determine the power quality. The harmonics and interharmonics that occur in the power system significantly affect the power quality. In this study, a serial active power filter was modeled and simulated against different nonlinear loads with the help of MATLAB/Simulink program to determine the effects of harmonics and interharmonics in the power system. The results obtained before and after filtering the harmonic in the power system with nonlinear loads were analyzed. In the analysis, it was determined that after using a serial active power filter, the harmonic distortion, which

was 5.11% for the 3rd harmonic, decreased to 0.09%, and the harmonic distortion, which was 4.16% for the 3.5 interharmonic, decreased to 0.17%.

Keywords: Power system, harmonic, inter harmonics.

1. Giriş

Elektrik enerjisine olan talep, insan ve sanayileşmeye bağlı olarak her geçen gün artmaktadır. Bu artan talep ile birlikte, enerjinin daha kaliteli ve daha güvenilir olmasına gereksinim duyulmaktadır. Elektrik enerjisi, üretildiği santralden tüketim noktasına ulaştırılmaya kadar ki aşamalarda akım ve gerilimin saf sinüs dalgası şeklinde olması gerekmektedir. Ancak bunun sağlanması daima mümkün olmayabilir. Çünkü teknolojinin gelişmesiyle birlikte artan elektronik cihazlar ve lineer olmayan (nonlineer) elektrik devre elemanları güç sistemlerinde harmonik oluşturmaktadır. Harmonik, saf sinüs dalgası (sinüsoidal) şeklini bozan, istenmeyen, frekansı değişmiş dalga şekilleridir [1].

Hem düşük hem de yüksek frekanslarda harmonikler ve ara harmonikler; gerilimde istenmeyen dalgalanma, ekipmanın aşırı ısınması, şebekede artan kayıplar, iletişim sistemlerinde parazit, kontrol sistemlerinde ve dijital sayaçlarda hatalar gibi etkiler oluşturmaktadır [2-4]. Endüstride kullanılan transformatör, ark fırını, dönüştürücü, güç elektroniği devre elemanları gibi harmonik oluşturan cihazlar, güç kalitesinin bozulmasına neden olmaktadır. Son yıllarda tüm dünyada güç kalitesini iyileştirmek ve harmonik ve ara harmoniklerin elimine edilmesi için artan bir çaba görülmektedir. Bunun için enerjinin sürekliliğine, güç faktörü değerinin 1'e yakın olmasına, faz gerilimlerinin dengeli olmasına, akım ve gerilimde oluşan toplam harmonik değerlerinin standartlarda istenilen değerlerde kalmasına yönelik çalışmalar yapılmaktadır. Ara harmonikler, enerji sisteminin temel frekansının tamsayı katı olmayan

frekanslardan oluşurlar. Ara harmoniğin, gerilim dalgalanması temel frekansın % 0.2'nin ve 200 Hz'den büyük bileşenler için ise 0.3%'ün altında olması istenmektedir. Ara harmonikler, harmoniklerden kaynaklı birçok problemle birlikte ışık titremesi gibi ek problemler de oluşturmaktadır [5].

Ara harmonikler temel olarak, tesislerin hızlı bir akım değişiminin neden olduğu genlik ve/veya faz değişikliğinden dolayı sistem frekansı ve harmoniklerinin yan bantları etrafında yer almasından ve yarı iletken cihazlar kullanan statik dönüştürücülerde asenkron anahtarlar frekansının güç sistemi ile senkronize olmaması durumundan olmak üzere iki şekilde oluşmaktadır.

Harmonik ve ara harmonik değerlerini azaltmak/elimine etmek için kullanılan en etkili yöntemlerden biri de harmonik filtre kullanılmasıdır [6,7].

Güç sisteminde oluşan harmonikler; teknik ve ekonomik sorun olan ek kayıp ve gerilim düşümlerine, rezonans olaylarına, güç faktörü değerinin değişmesine neden olmaktadır. Alternatörlerin alternatif akım (AC) üretimi sırasında alternatörler için alınan önlemler ile, elde edilen dalganın mümkün mertebede sinüzoidal dalgaya yakın elde edilmesi sağlanır. Fakat, aynı şebekede bulunan lineer olmayan alıcılar (yükler) lineer olan yüklerle etki edebilmesi mümkündür [8-10].

Sanayi tesislerinde gerilim dalgasında oluşan bozulma (THD_v) değerinin % 5'den fazla olmaması gerekir. Bu değerden fazla çıkması durumunda, pasif filtre yardımıyla bu değer indirilebilir. Bunun yanında havalimanı ve hastane gibi yerlerde gerilim değerinde oluşan bozulma değerinin %3'ün altında olması gerekir. THD_v değerinin istenilen değerlerin üzerinde çıkması halinde, çeşitli yapı ve şekilde filtre tasarımları mümkündür. Genel manada aktif ve pasif olmak üzere iki tür filtreleme tekniği kullanılmaktadır. Yapılan filtreyi oluşturan bileşenlerin direnç (R), bobin (L) ve kondansatör (C) gibi pasif devre elemanlarından oluşması durumundaki fitrelere pasif filtre, filtrelerin kontrollü akım veya gerilim değerine sahip olduğu fitrelere ise aktif güç filtresi denir. Her zaman pasif fitrelerden çözüm bulunmayabilir. Bu durumda, aktif fitrelerin kullanılmasına gerek duyulmaktadır. Bu amaç için aktif güç filtresi, çalışma karakteristiği gereği sistemin belirtilen noktalarından elde edilen akım ve gerilim verilerinden dalga şekli bozulmalarını tespit eder ve bunlara kendi dahili güç kaynağı üzerinden ters yönlü etki oluşturarak bozulmaları giderir.

Pasif fitreler, seri ve paralel (şönt) olarak iki şekilde yapılmaktadır. Seri filtre olarak tasarlanan, fitrelerdeki rezonans hali görülmemesine rağmen, tam yükteki akımı taşıma ve hat gerilim değerine göre izolasyon zorunluluğu bulunmaktadır [11]. Güç sisteminde seri filtre devresinin uygulanmasında; sistemde bulunan bütün alıcıların çektiği akımların seri pasif fitrenin üzerinden geçmesidir. Ayrıca, tam hat gerilimlerinin yalıtılmasına ihtiyaç durulması ve gerilim düşümünün ortaya çıkmasıdır [12].

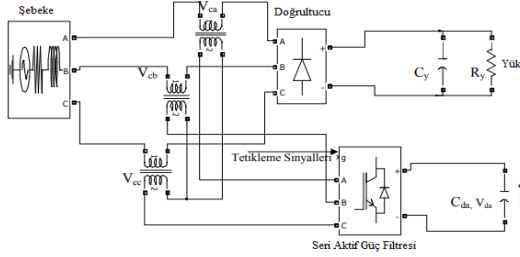
Harmoniği oluşturan kaynağa paralel olarak bağlanan pasif fitrelere paralel pasif fitreler denir. Paralel pasif filtre (PPF) büyük salınımlı harmoniklerin kompanzasyonu için modellenmektedir. Pasif fitrenin kullanıldığı bir güç sisteminde, filtre kullanılmadan önce güç katsayısı 0.6877 ve THD_i değeri % 12.71 olarak ölçülmüştür. Pasif filtre kullanıldıktan sonra aynı güç sistemindeki güç katsayısı 0.99 ve THD_i değeri % 3.591 olduğu tespit edilmiştir [13].

Şebekede bulunan harmonik değerlerin hesaplanarak, bunlara aynı genlik değerinde ters yönde harmonik üreten fitrelere aktif filtre denilmektedir. Aktif filtre olarak tasarlanmış bir fitrenin çalışma prensibi, pasif filtre olarak tasarlanmış bir fitrenin çalışma prensibi birbirlerinden tamamıyla farklı olmaktadır. Aktif filtre yardımıyla güç kalitesini etkileyen harmonikler elimine edilmektedir. Aktif fitreleri yapıları açısından; seri, paralel ve hibrit aktif güç filtresi olarak üç kısımda incelemek mümkündür. Bu fitreler, kontrol yöntemi açısından ise açık ve kapalı çevrim aktif güç kontrol filtre sistemi olmak üzere iki kısımda incelenmektedir.

Şebekeye paralel olarak bağlanan aktif fitrelere paralel aktif güç filtresi (PAGF) denilmektedir. Bu fitreler, endüstri tesislerinde en yaygın kullanım alanı bulan en önemli fitrelerdir [14]. Ayrıca, bu fitrelerle akım harmoniklerinin filtrelenmesi, reaktif güç kompanzasyonun sağlanması, yük akımının dengelemesi ve nötr akım kompanzasyonun sağlanması gibi akıma bağlı harmoniklerin yok edilmesi sağlanmaktadır [15,16]. Paralel aktif filtre ile, tesisin iç şebekesinde yoğun olarak bulunan 5. ve 7. akım harmonik bileşenlerin, kompanzasyon kapalı sistemde %10 seviyelerinden %3 seviyelerine ve gerilim harmonik bileşenlerinin, % 9 seviyelerinden %5,5 seviyelerine düşmüştür [9].

Şebekeye bağlı bir transformatör üzerinden seri bağlanan fitrelere seri aktif güç filtresi (SAGF) denilmektedir. Bu filtre, genellikle güç kaynakları ve yükler arasında bağlanır ve gerilim harmonik bozulmalarını düzeltmek için yeterlidir [17]. SAGF, temelde anlık gerilimin giriş ve çıkışının yük süresince tam sinüzoidal gerilimin dalga şeklinin kararlı kalmasını sağlamak, şebekede oluşabilecek gerilim dengesizliğini yok etmek ve gerilim düşümlerinin elimine etmek için kullanılır [18,19]. SAGF devrede olmadan önce %THD değerleri; kaynak gerilimi için 41,23 ve akım harmonikleri için ise 19.46 olarak ölçülmüştür. SAGF devreye alındıktan sonra kaynak gerilim ve akımları için harmonik bozulmalar azalmış ve %THD değerleri; kaynak gerilimi için 0.33, akım harmonikleri için ise 0.02 olarak ölçülmüştür [20]. Hibrit bir yapıda kurgulanan SAGF ve paralel pasif fitreden oluşan hibrit bir yapıya ait benzetim çalışması yapılmıştır. Burada, filtre kullanılmadan önce % THD değerleri; a fazının 23.24, b fazının 23.79 ve c fazının ise 23.28 olarak ölçülmüştür. Hibrit filtre kullanıldığında % THD değerleri; a fazının 4.93, b fazının 4.84 ve c fazının ise

.75 olmuştur [21.] SAGF'in blok şeması Şekil 1'de verilmiştir.



Şekil 1: SAGF blok şeması

Gerilim değişimlerine duyarlı cihazlar için saf sinüzoidal alga şekli çok önemlidir. Bu dalga şekli, sistemde bulunan armonik ve ara harmoniklerin filtre edilmesiyle ağırlanmaktadır. PAGF'nin SAGF'ye göre en belirgin kusuru, ltre üzerinde bulunan çıkış gerilim dalga formunun inüzoidal olan şeklini devam ettirememesidir. Belirtilen usur, harmonik ve ara harmoniklerin filtrelemede AGF'in tercih edilmesini sağlamaktadır [18]. Bununla irlikte, SAGF transformatördeki bağlantıların tümünü yük kımalarının üzerinden akıtacağından, büyük kapasiteli lmalıdır. Harmonikli akım değerlerinin büyük olması urumunda, seçilecek aktif güç filtresi kapasitesinin de rtması gerekmektedir.

Aktif güç filtresi ile pasif güç filtresine ait bağlantı aplarının birleştirilmesinde oluşan filtreye hibrit aktif güç ltresi (HAGF) denilmektedir. Maliyet azaltmak ve etkinliği rtırmak amacıyla tasarlanan HAGF, gerilim regülasyonunda, üç kompanzasyonunda, kaynak ve harmonik kaynaklı yük rası izolasyonlarda veya sadece harmonik ompanzasyonunda kullanılmaktadır. Yüksek sıralı armoniklerin kompanzasyonunda, anahtarlama frekansları mırlandırılmaktadır. Aynı zamanda, burada kullanılan AGF, PPF ile kaynak empedansının arasında olabilecek zzonansı yok edebilmek adına kullanıldığı bilinmektedir [14]. HAGF'nin tekniği için belirgin kusur, PPF için fazla ıktarda güç bileşeninin bulunmasıdır. Dolayısıyla, PPF ürekli sisteme bağlı olduğundan önceden lineer olmayan

kaynakları bilinen alıcılarda kullanılması uygun olmaktadır [22].

Enerji sistemlerinde oluşan harmonik değerlerini belirli sınırlarda olması için farklı standartlar tarafından belirli sınırlama konulmuştur. Bu sınırlama toplam harmonik distorsiyonu (THD) değerine göre yapılır.

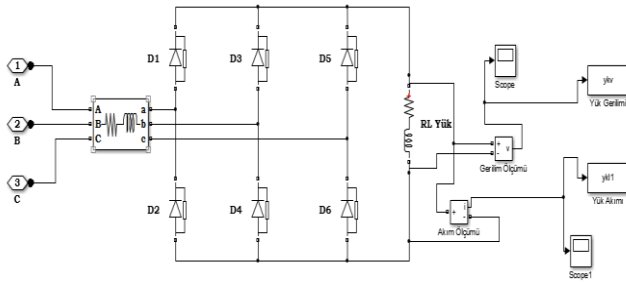
$$THD_V = \frac{\sqrt{\sum_{n=2}^{\infty} (V_n)^2}}{V_1} ; \quad THD_I = \frac{\sqrt{\sum_{n=2}^{\infty} (I_n)^2}}{I_1} \quad (1)$$

Harmonik bileşenin efektif değerinin, temel bileşen efektif değerine oranı olan THD, gerilim ve akım için Denklem (1)'deki gibi ayrı ayrı tanımlanır ve yüzde cinsinden ifade edilir. IEC standartlarına göre THD değeri, gerilimler için % 3, akımlar için ise % 6'dır.

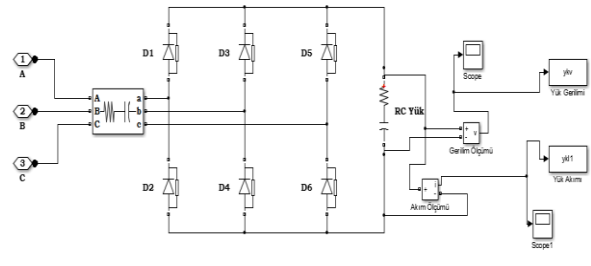
Yapılan çalışmada, endüktif ve kapasitif yük durumunda güç sistemindeki harmonik ve ara harmoniklerin kıyaslanıp incelenmesi yapılarak alınması gereken tedbirler belirtilmiştir. Güç sistemi üzerinde oluşan harmonik ve ara harmonik sonucunun görülmesi için MATLAB / Simulink programı yardımıyla modellenip, simülasyonu yapılmıştır. Ayrıca sonuçlar analiz edilerek gerekli önerilerde bulunulmuştur.

2. Materyal ve Yöntem

Güç sisteminde oluşan harmonik ve ara harmoniklerin modellenmesi ve simülasyonunda MATLAB/Simulink programı kullanılmıştır. Harmonik ve ara harmoniklerin elimine edilmesi için seri aktif güç filtresinden faydalanılmıştır. Yükün fazlara dengeli bir biçimde dağıldığı kabul edilen örnek olarak alınan sistemde THD azaltılması üzerinde durulmuştur. Yapılan analiz neticesinde grafikler incelenmiş, harmonik ve ara harmonikler tespit edilip eliminasyonu yapılmış ve sonuçlar karşılaştırılarak gösterilmiştir. Lineer olmayan endüktif ve kapasitif yükün MATLAB/Simulink programında hazırlanmış blok şeması, Şekil 2'de verilmiştir.



(a) Lineer olmayan endüktif yük

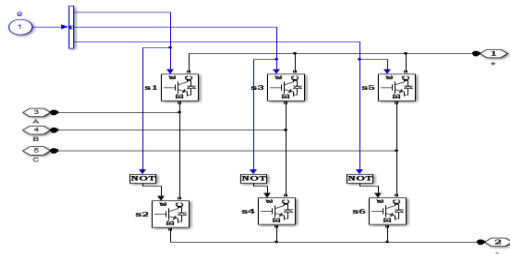


(b) Lineer olmayan kapasitif yük

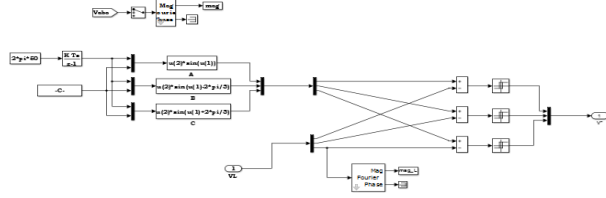
Şekil 2: Lineer olmayan endüktif (a) ve kapasitif (b) yükün MATLAB/Simulink blok şeması

Çalışma kapsamında uygulanan seri aktif güç ltresinin tasarımında, literatürde mevcut olan filtre tasarım

matematiksel modellerinden faydalanılmıştır. Bu kapsamda yapılan tasarım, Şekil 3'te verilmiştir.



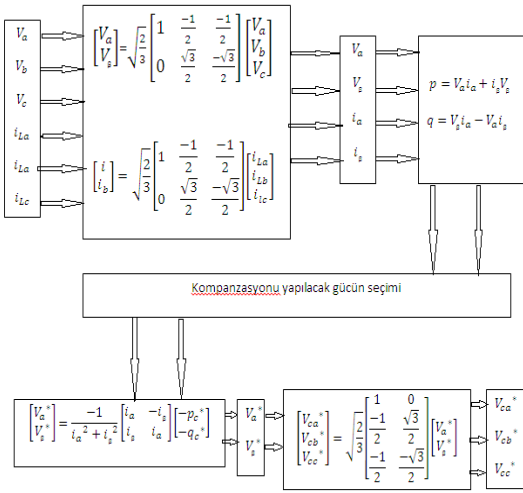
(a) SAGF tetikleleme şeması



(b) SAGF iç yapısı blok şeması

Şekil 3: Seri aktif güç filtresi tetikleme ve iç yapısı blok şeması

Üç fazlı seri aktif güç filtresinin kontrol yapısına yönelik oluşturulmuş blok diyagramı Şekil 4'te verilmiştir.



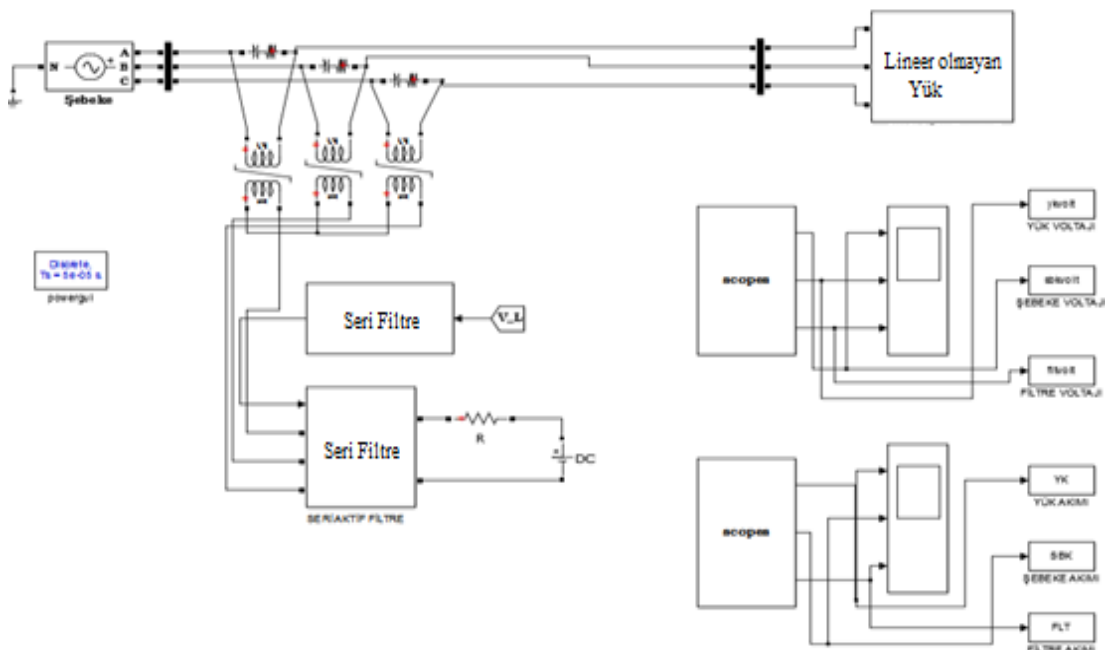
Şekil 4: Üç fazlı aktif güç filtresi temel kontrol blokları

Tasarlanan sistemde, üç fazlı bir dağıtım şebekesi dikkate alınmış ve her bir fazın gerilimi, 380 V olarak alınmıştır. Kullanılan yük, fazlara eşit şekilde dağıtılmıştır. Tasarlanan sistem de bulunan parametreler, Tablo 1'de verilmiştir.

Tablo 1: Tasarlanan sistemdeki SAGF'ye ait parametreler

SAGF Parametreleri	Değer
Şebekeye Ait Gerilim ve Akım (V_a, V_b, V_c, I_k)	380 V, 60A
Şebeke Frekansı	50 Hz
Şebekeye Ait Empedans (R_k, C_k)	1 Ω , 100e-6 F
Endüktif Yüke Ait Empedans (R_y, L_y)	60 Ω , 15e-3 H
Kapasitif Yüke Ait Empedans (R_y, C_y)	60 Ω , 1e-6 F

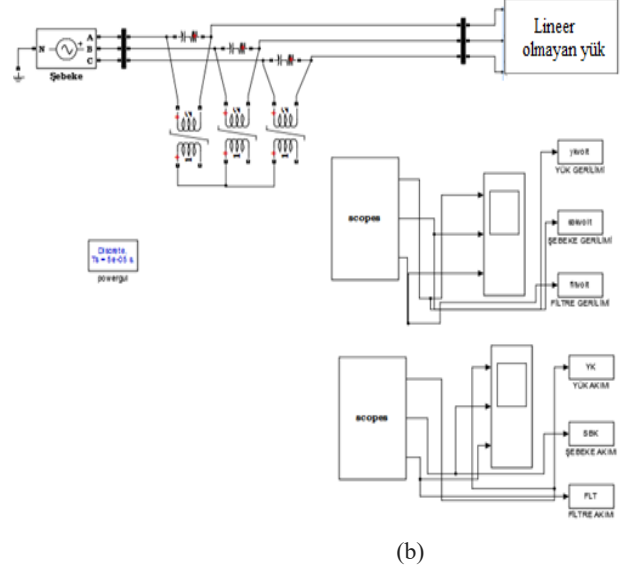
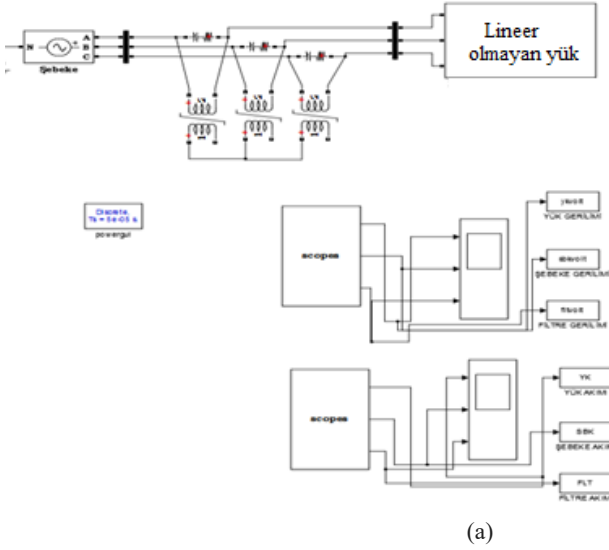
Güç sistemi için MATLAB/Simulink programında sistem yükü tasarlanmıştır. Buna ilişkin tasarlanan blok şeması, Şekil 5'te verilmiştir.



Şekil 5: Güç sistemine ilişkin MATLAB/Simulink blok şeması

Lineer olmayan endüktif ve kapasitif yüklü ve filtre kullanılmadan önceki güç sistemine ilişkin

MATLAB/Simulink blok şeması, Şekil 6'da verilmiştir

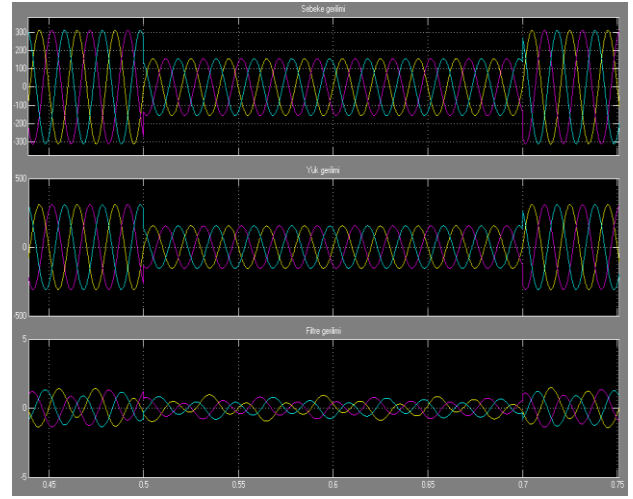
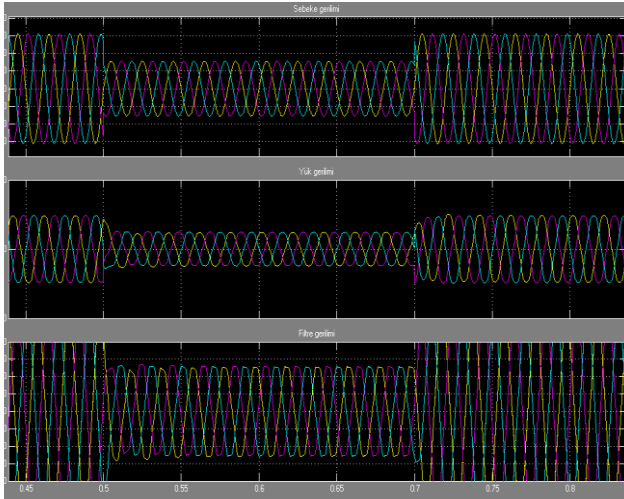


Şekil 6: Filtre kullanılmadan endüktif yüklü (a) ve kapasitif yüklü (b) güç sistemine ilişkin MATLAB/Simulink blok şeması

3. Bulgular ve Tartışma

Yapılan çalışmada, Şekil 5'te verilen güç sistemi, MATLAB/Simulink programı yardımıyla SAGF'nin sistem ükü (endüktif ve kapasitif) tasarlanmış ve simülasyon için

veriler alınmıştır. Filtrenin değişen gerilim karşısındaki tolerasyon aralığı tespit edilmiş olup analiz sonucunda istenmeyen gerilim dengesizlikleri yok edilmiştir. Filtre kullanılmadan endüktif ve kapasitif yüklü güç sistemine ilişkin gerilim dalga formları Şekil 7'de verilmiştir.



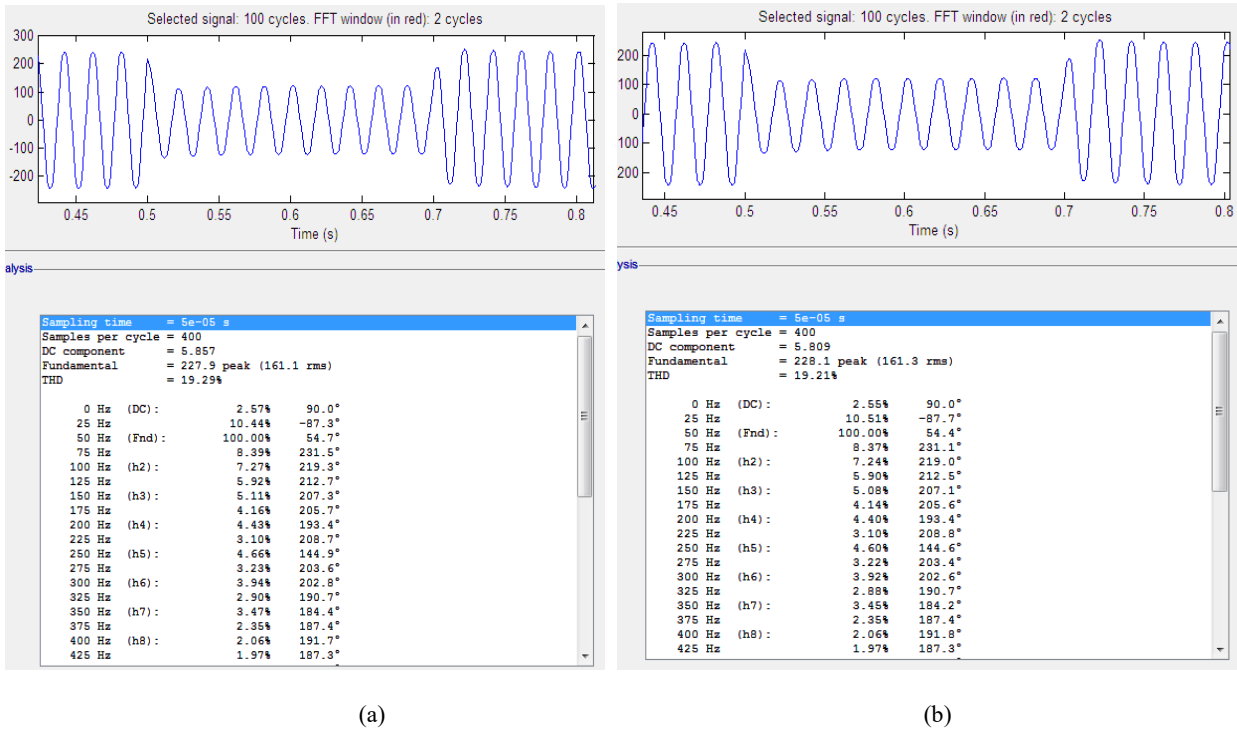
(a)

(b)

Şekil 7: Filtresiz endüktif yüklü (a) ve kapasitif yüklü (b) güç sistemine ilişkin gerilim dalga formları

Şekil 7'de görüldüğü gibi, tasarlanan filtre devrede olmadığından güç sistemine ilişkin olan gerilim dalga formlarının örnek alınan (0.4-0.8) t süreleri boyunca armonikten dolayı genliğinin 250 V'tan 150 V'a azalmıştır. Ayrıca gerilim dalga formu sinüzoidal olmaktan

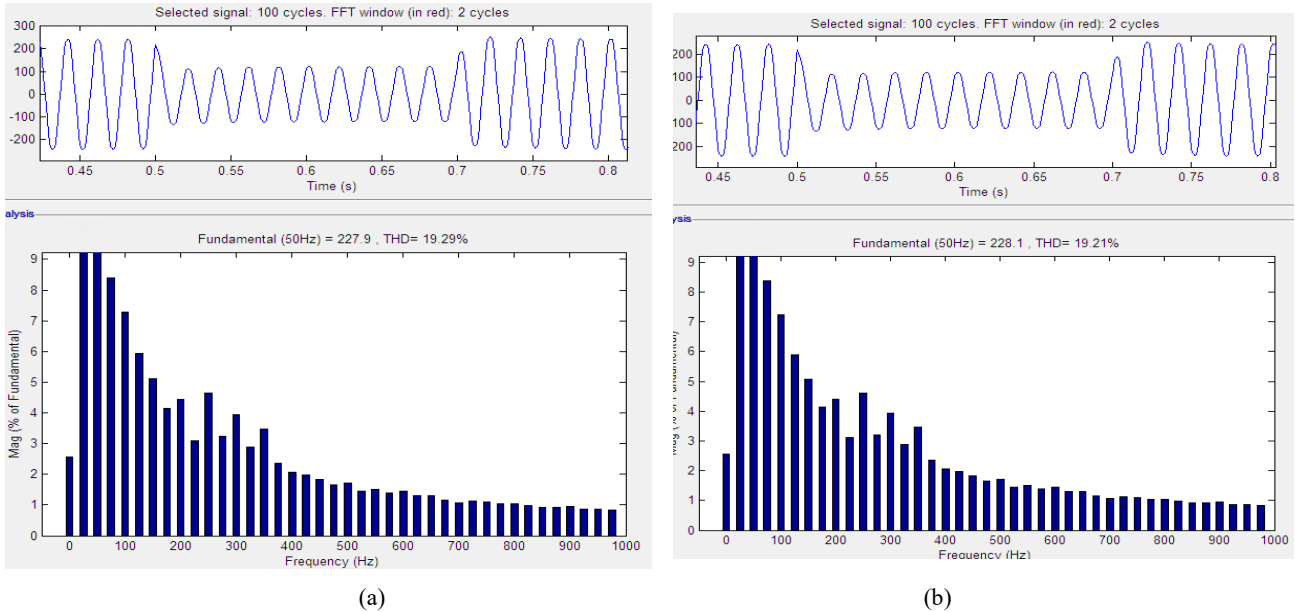
uzaklaşmıştır. Endüktif ve kapasitif yüklü filtre kullanılmayan güç sisteminin hızlı fourier dönüşümü (Fast Fourier Transform-FFT) sistemine ait genlik analiz diyagramı Şekil 8'de verilmiştir.



Şekil 8: Filtresiz endüktif yüklü (a) ve kapasitif yüklü (b) güç sisteminin FFT sistemi genlik analiz diyagramı

Şekil 8’de görüldüğü gibi filtrelenmemiş sistemin FFT sistemi analiz diyagramında görülen endüktif yüklü için THD_V oranının %19.29 ve kapasitif yüklü için THD_V oranının %19.21 olduğu görülmektedir. Ayrıca n. harmonik dışında kalan ara harmoniklerin de var olduğu görülmektedir.

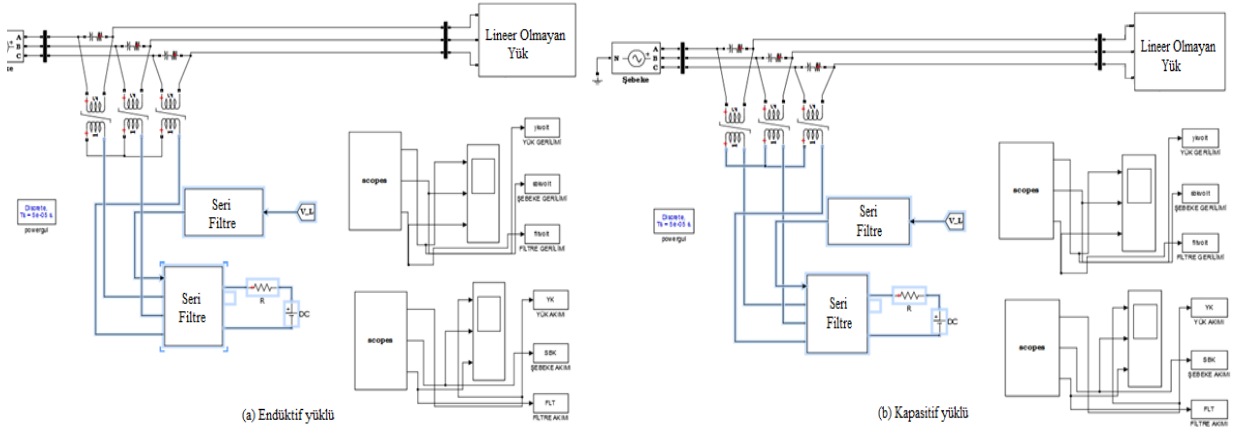
Endüktif ve kapasitif yüklü filtre yapılmayan güç sisteminin FFT sistemi ve genlik spektrumu görünümü Şekil 9’da verilmiştir.



Şekil 9: Endüktif yüklü (a) ve kapasitif yüklü (b) filtre yapılmayan güç sisteminin FFT sistemi genlik spektrumu

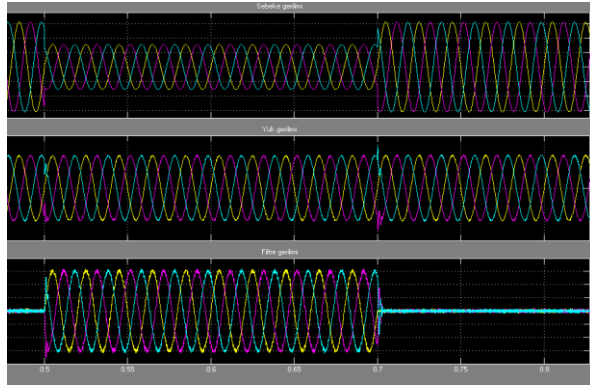
SAGE, endüktif ve kapasitif yüklü olan güç sistemine ilişkin MATLAB/Simulink blok şeması, Şekil 10’da

verilmiştir.



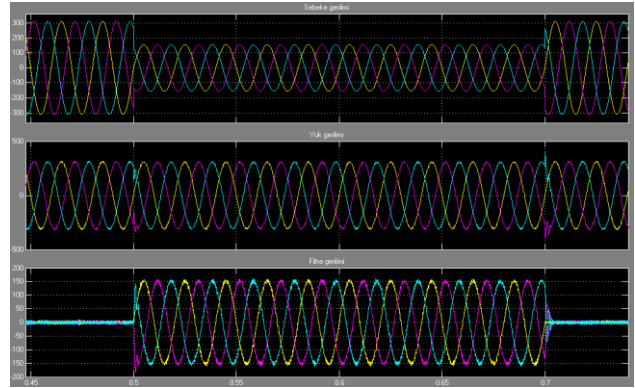
Şekil 10: SAGF endüktif yüklü (a) ve kapasitif yüklü (b) güç sistemine ilişkin MATLAB/Simulink blok şeması

endüktif ve kapasitif yüklü filtre yapılan güç sistemine



(a)

ilişkin gerilim dalga verileri, Şekil 11'de verilmiştir.

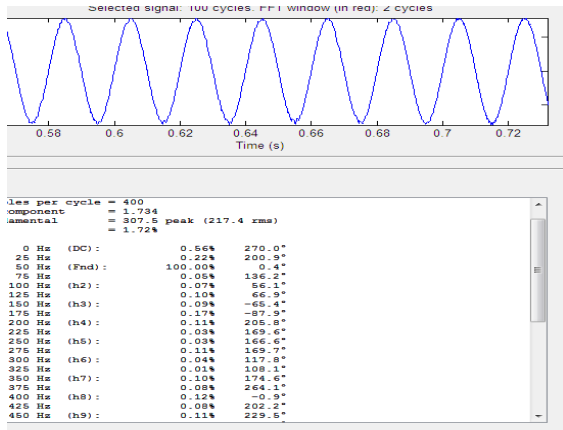


(b)

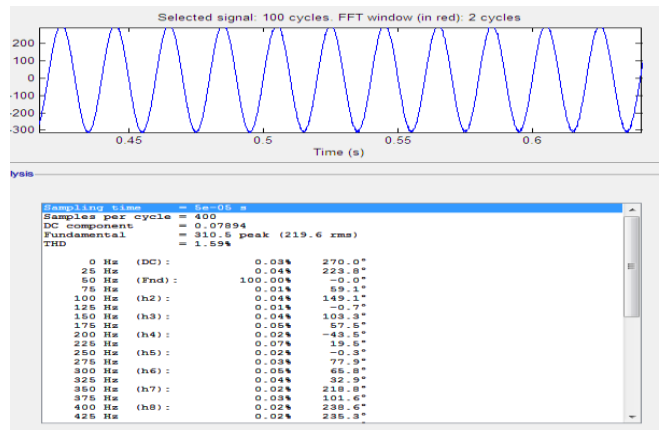
Şekil 11: Endüktif yüklü (a) ve kapasitif yüklü (b) filtreli sistem gerilim dalga verileri

Şekil 11'de görüldüğü gibi SAGF, endüktif ve kapasitif güç sisteminde olduğunda gerilim dalga formunun lüğü için örnek alınan (0.4-0.8) t sürelerindeki yüklerde, V gerilim değerinin korunması için gerilim genliğinin

100 V artırılıp harmonik ve ara harmoniklere karşı koyulduğu görülmüştür. Endüktif ve kapasitif yüklü filtre yapılan güç sisteminin FFT sistemine ait analiz diyagramı, Şekil 12'de verilmiştir.



(a)

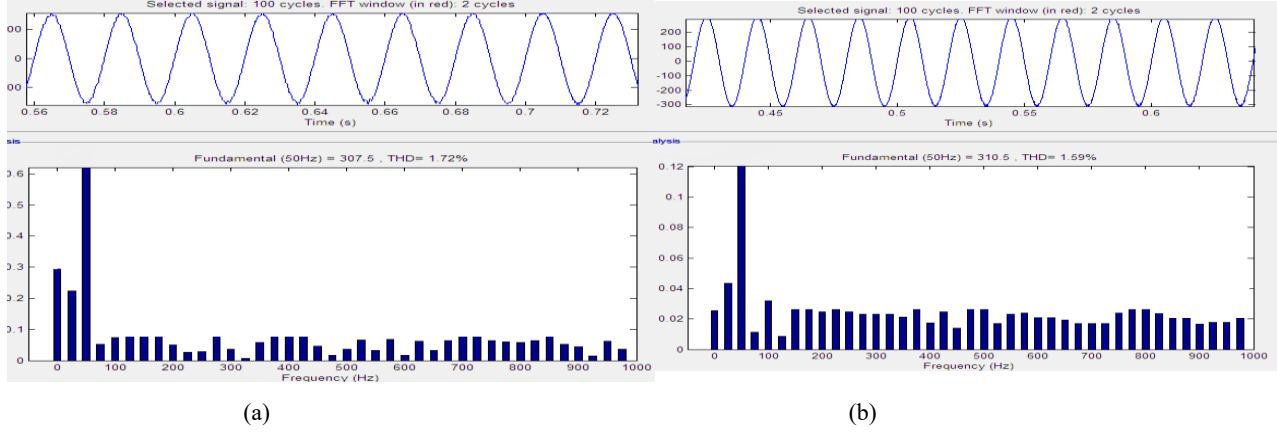


(b)

Şekil 12: Filtre yapılan endüktif yüklü (a) ve kapasitif yüklü (b) güç sisteminin FFT sistemi genlik analiz diyagramı

Endüktif ve kapasitif yüklü filtre yapılan güç isteminin FFT sistemine ait genlik spektrumu Şekil 13'te

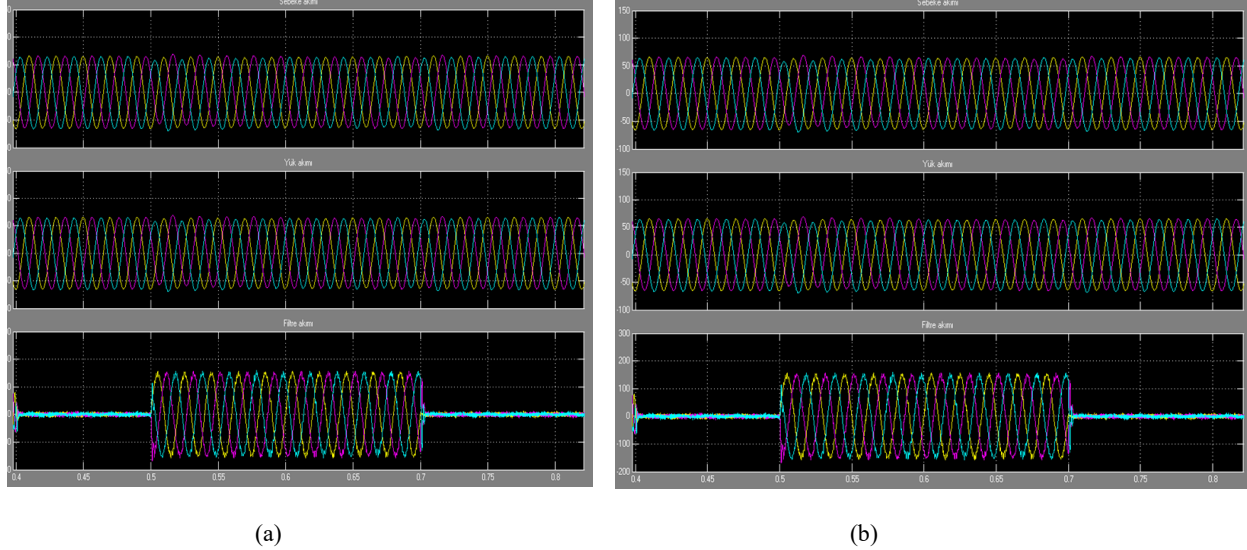
görülmektedir.



Şekil 13: Filtre yapılan endüktif yüklü (a) ve kapasitif yüklü (b) güç sisteminin FFT sistemi genlik spektrumu

Şekil 12'deki analiz diyagramında ve Şekil 13'teki genlik spektrumunda endüktif ve kapasitif yüklü sistemde örnek alınan (0.5-0.7) t süre aralığında genlik değerini koruduğu 3., 7., 9. harmoniklerin sıfırlara çekildiği ve aradaki 3.5, 4.5, 5, 7.5'deki ara harmonik değerlerinde tanımlanan nonlineer engesizlikler yok olduğu görülmektedir. Bilgiler üç fazlı

yük sisteminden alınmıştır. Güç sistemi için temel frekans 50 Hz'dir. Seri aktif güç filtre devredeyken sinüzoidal dalga formunu koruduğu ve nonlineer yüke karşı koyup harmonik ve ara harmonikleri yok ettiği görülmüştür. Endüktif ve kapasitif yüklü güç sisteminin akım dalga verileri, Şekil 14'te verilmiştir.



Şekil 14: Endüktif yüklü (a) ve kapasitif yüklü (b) filtreli sistem akım dalga verileri

Şekil 15'te SAGF kullanılmadan önce olan endüktif yükün, Şekil 16'da SAGF kullanılmadan önce olan kapasitif yükün, Şekil 17'de SAGF kullanıldıktan sonra endüktif yükün, Şekil 18'de SAGF kullanıldıktan sonra kapasitif yükün harmonik analizleri verilmiştir. Filtre yapılmadan önce e filtre yapıldıktan sonra bulunan veriler karşılaştırılmış ve üç sistemi değerleri Tablo 2'de verilmiştir. Elde edilen FFT nalizi yardımıyla harmonik değerlerdeki sonuçların çok düşük bir seviyede olduğu görülmüştür. Bununla birlikte SAGF sistemde iken harmonik ve ara harmonikerin yok

edildiği tespit edilmiş ve karşılaştırmaları çizelgeler şeklinde verilmiştir.

```

Sampling time = 5e-05 s
Samples per cycle = 400
DC component = 5.857
Fundamental = 227.9 peak (161.1 rms)
THD = 19.29%

0 Hz (DC) : 2.57% 90.0°
25 Hz 10.44% -87.3°
50 Hz (Fnd) : 100.00% 54.7°
75 Hz 8.39% 231.5°
100 Hz (h2) : 7.27% 219.3°
125 Hz 5.92% 212.7°
150 Hz (h3) : 5.11% 207.3°
175 Hz 4.16% 205.7°
200 Hz (h4) : 4.43% 193.4°
225 Hz 3.10% 208.7°
250 Hz (h5) : 4.66% 144.9°
275 Hz 3.23% 203.6°
300 Hz (h6) : 3.94% 202.8°
325 Hz 2.90% 190.7°
350 Hz (h7) : 3.47% 184.4°
375 Hz 2.35% 187.4°
400 Hz (h8) : 2.06% 191.7°
425 Hz 1.97% 187.3°
    
```

Şekil 15: Filtre yapılmadan önce endüktif yükün FFT sistem gerilimi harmonik analizi

```

Sampling time = 5e-05 s
Samples per cycle = 400
DC component = 5.809
Fundamental = 228.1 peak (161.3 rms)
THD = 19.21%

0 Hz (DC) : 2.55% 90.0°
25 Hz 10.51% -87.7°
50 Hz (Fnd) : 100.00% 54.4°
75 Hz 8.37% 231.1°
100 Hz (h2) : 7.24% 219.0°
125 Hz 5.90% 212.5°
150 Hz (h3) : 5.08% 207.1°
175 Hz 4.14% 205.6°
200 Hz (h4) : 4.40% 193.4°
225 Hz 3.10% 208.8°
250 Hz (h5) : 4.60% 144.6°
275 Hz 3.22% 203.4°
300 Hz (h6) : 3.92% 202.6°
325 Hz 2.88% 190.7°
350 Hz (h7) : 3.45% 184.2°
375 Hz 2.35% 187.4°
400 Hz (h8) : 2.06% 191.8°
425 Hz 1.97% 187.3°
    
```

Şekil 16: Filtre yapılmadan önce kapasitif yükün FFT sistem gerilimi harmonik analizi

```

Sampling time = 5e-05 s
Samples per cycle = 400
DC component = 1.734
Fundamental = 307.5 peak (217.4 rms)
THD = 1.72%

0 Hz (DC) : 0.56% 270.0°
25 Hz 0.22% 200.9°
50 Hz (Fnd) : 100.00% 0.4°
75 Hz 0.05% 136.2°
100 Hz 0.07% 56.1°
125 Hz (h2) : 0.10% 66.9°
150 Hz (h3) : 0.09% -65.4°
175 Hz 0.17% -87.9°
200 Hz (h4) : 0.11% 205.8°
225 Hz 0.03% 169.6°
250 Hz (h5) : 0.03% 166.6°
275 Hz 0.11% 169.7°
300 Hz (h6) : 0.04% 117.8°
325 Hz 0.01% 108.1°
350 Hz (h7) : 0.10% 174.6°
375 Hz 0.08% 264.1°
400 Hz (h8) : 0.12% -0.9°
425 Hz 0.08% 202.2°
    
```

Şekil 17: Filtre yapıldıktan sonra endüktif yükün FFT sistem gerilimi harmonik analizi

```

Sampling time = 5e-05 s
Samples per cycle = 400
DC component = 0.07894
Fundamental = 310.5 peak (219.6 rms)
THD = 1.59%

0 Hz (DC) : 0.03% 270.0°
25 Hz 0.04% 223.8°
50 Hz (Fnd) : 100.00% -0.0°
75 Hz 0.01% 59.1°
100 Hz (h2) : 0.04% 149.1°
125 Hz 0.01% -0.7°
150 Hz (h3) : 0.04% 103.3°
175 Hz 0.05% 57.5°
200 Hz (h4) : 0.02% -43.5°
225 Hz 0.07% 19.5°
250 Hz (h5) : 0.02% -0.3°
275 Hz 0.03% 77.9°
300 Hz (h6) : 0.05% 65.8°
325 Hz 0.04% 32.9°
350 Hz (h7) : 0.02% 218.8°
375 Hz 0.03% 101.6°
400 Hz (h8) : 0.02% 238.6°
425 Hz 0.02% 235.3°
    
```

Şekil 18: Filtre yapıldıktan sonra kapasitif yükün FFT sistem gerilimi harmonik analizi

Tablo 2: Filtresiz ve filtreli durum için sistemin gerilim ve THD_v değerleri

Sistem		Sistem Gerilim THD _v (%)	Sistem Gerilim (V)
Endüktif Yük Durumu	Filtresiz	19.29	217.4 RMS
	Filtreli	1.72	161.1 RMS
	Azalma	91.08	
Kapasitif Yük Durumu	Filtresiz	19.21	219.6 RMS
	Filtreli	1.59	161.3 RMS
	Azalma	91.34	

Sistemden alınan ve Şekil 15-19'da görülen veriler ayrıntılı analizinde, önemli bilgileri elde edilmiştir. Bu bilgilerden harmonik ve ara harmonik değerlerinin eliminasyonu görülmüştür. Ayrıca harmonik ve ara harmonik bozulmadaki değerler farklı yüklerdeki karşılaştırmalı olarak gösterilmiş ve kazanımlar verilmiştir. Endüktif ve kapasitif yüklerin SAGF'ye karşı verilen gerilimin sonuçları Tablo 3'te verilmiştir.

Tablo 3: Endüktif ve kapasitif yüklerin SAGF'ye karşı verilen gerilimin sonuçları

Harmonik	Endüktif Yükün Olması Durumunda		Kapasitif Yükün Olması Durumunda	
	Filtre Yapılmadan Önce Yükteki Harmonik Bozulma (%)	Filtre Yapıldıktan Sonra Yükteki Harmonik Bozulma (%)	Filtre Yapılmadan Önce Yükteki Harmonik Bozulma (%)	Filtre Yapıldıktan Sonra Yükteki Harmonik Bozulma (%)
3	5.11	0.09	5.08	0.04
3.5	4.16	0.17	4.14	0.05
5	4.66	0.03	4.60	0.02
5.5	3.23	0.11	3.22	0.03
7	3.47	0.10	3.45	0.02
7.5	2.35	0.08	2.35	0.03

Tablo 3'te görüldüğü gibi, endüktif yükte SAGF kullanılmadan önce 3. harmonik değerindeki harmonik bozulma değeri % 5.11 olmuştur. SAGF'nin sisteme dahil edilmesiyle 3. harmonik değerindeki harmonik bozulma değeri % 0.09'a düşmüş ve % 98.24 oranında azalmıştır. Pasif filtre kullanılarak yapılan harmonik eliminasyon alışmasında 3. harmonik bileşende % 59.51 oranında azalma olduğu tespit edilmiştir [23]. Endüktif yükte ara harmonik olan 3.5 değerindeki harmonik bozulma değeri % 4.16 iken SAGF'nin sisteme dahil edilmesiyle bu ara harmonikteki harmonik bozulma değeri % 0.17'a düşmüş ve % 95.91 oranında azalmıştır. Benzer şekilde 5. ve 7. harmonik ile 5.5 ve 7.5 ara harmoniklerde de SAGF kullanıldıktan sonra % 96'nın üzerinde azalma oluşmuştur. Buradan aktif filtre kullanılmasıyla harmonik ve ara harmonik değerlerinin daha azla düştüğü görülmüştür.

Kapasitif yükte SAGF kullanılmadan önce 3. harmonik değerindeki harmonik bozulma değeri % 5.08 olmuştur. SAGF'nin sisteme dahil edilmesiyle 3. harmonik değerindeki harmonik bozulma değeri % 0.04'a düşmüş ve % 99.21 oranında azalmıştır. Kapasitif yükte ara harmonik olan 3.5 değerindeki harmonik bozulma değeri % 4.14 iken SAGF'nin sisteme dahil edilmesiyle bu ara harmonikteki harmonik bozulma değeri % 0.05'e düşmüş ve % 98.79 oranında azalmıştır. Benzer şekilde 5. ve 7. harmonik ile 5.5 ve 7.5 ara harmoniklerde de SAGF kullanıldıktan sonra % 98'in üzerinde azalma oluşmuştur. Buradan aktif filtre kullanılmasıyla harmonik ve ara harmonik değerlerinin daha azla düştüğü görülmüştür.

4. Sonuç

Elektrik enerji sistemlerinin sorunsuz olarak çalışması için sistemin belirli bir kalite koşuluna sahip olması gerekiyor. Elektrik şebekesinde var olan harmonik akımlar elektrik şebekesinin empedansında gerilim düşümünün oluşmasına neden olmaktadır. Bu durum gerilimin dalga formunun bozulmasına, kayıpların artmasına, elektrik şebekesinde kullanılan cihazların arızalanmasına yol açmaktadır. Burada endüktif ve kapasitif yük durumu için filtre kullanmadan önceki ve filtre kullanıldıktan sonra harmonik ve ara harmoniklerdeki bozulmaları göre bilmek için sistem MATLAB/Simulink programında modellenerek simülasyonu yapılmıştır. Filtre kullanmadan önce endüktif yüklü nonlineer yük için sistemin THDv oranının % 19.29 olduğu, filtre kullanıldıktan sonra sistemin THDv oranının % 1.72 seviyesine düştüğü yani % 91.08 oranında azaldığı tespit edilmiştir. Filtre kullanmadan önce kapasitif yüklü nonlineer yük için sistemin THDv oranının % 19.21 olduğu, filtre kullanıldıktan sonra sistemin THDv oranının % 1.59 seviyesine düştüğü yani % 91.34 oranında azaldığı tespit edilmiştir. Endüktif yük kullanılması durumunda, SAGF'nin sisteme dahil edilmesiyle harmonik ve ara harmonikteki harmonik bozulma değeri % 96'nın üzeri oranında azalmıştır.

Kapasitif yük kullanılması durumunda, SAGF'nin sisteme dahil edilmesiyle harmonik ve ara harmonikteki harmonik bozulma değeri % 98'in üzeri oranında azalmıştır.

Buradan da gerek sistemin tasarım aşamasında gerekse de sistemin işletme aşamasında harmonik analizi ile birlikte ara harmonik analizlerinin de yapılması ve filtrelemeye önem verilmesi kanaatine varılmıştır. Seri aktif güç filtresi

ullanmanın daha faydalı olacağı görülmüştür.

Yapılan bu çalışmayla, seri aktif güç filtresinin de armonik kaynağı gibi davrandığı gözlemlenmiştir. Ancak sistemdeki harmonikleri yok edeceği için bu şekilde dalga ornu üretmesi gerektiği tespit edilmiştir. Elektrik güç stemlerinde harmonik ve ara harmoniklerin olması, elektrik üç sistemlerinin çalışmayacağı anlamına gelmez. Bu ususların sistemin tasarım aşamasında dikkate alınması erekir.

5. Kaynakça

- [1] M.R. Tür, F.Yaprıkdal, "Yenilenebilir Enerji Kaynaklarına Dayalı Bir Sistemde Güç Kalitesi Analizi, Kontrolü ve İzlemesi", *Gazi University Journal of Science Part C: Design and Technology*, 8 (3), pp. 572-587, 2020.
- [2] A. Kalair, N. Abas, A.R. Kalair, Z. Saleem, N. Khan, "Review of harmonic analysis, modeling and mitigation techniques", *Renew. Sustain. Energy Rev.*, 78, pp.1152–1187, 2017.
- [3] A. Otcenasova, A. Bolf, J. Altus, M. Regula, "The Influence of Power Quality Indices on Active Power Losses in a Local Distribution Grid", *Energies*, 12(7), pp.1389, 2019.
- [4] S. Adak, H. Cangi, B. Eid, "Developed analytical expression for current harmonic distortion of the PV system's inverter in relation to the solar irradiance and temperature", *Electrical Engineering*, 103, pp. 697–704, 2021.
- [5] H.C. Lin, "Sources, effects, and modelling of interharmonics", *Mathematical Problems in Engineering*, vol.2014, pp.1-10, 2014.
- [6] S. Rüstemli, E. Okuducu, M.N. Almalı, S.B. Efe, "Reducing The Effects Of Harmonics On The Electrical Power Systems With Passive Filters", *Bitlis Eren Univ J Sci & Technology*, 5(1), pp. 1 – 10, 2015.
- [7] S. Rüstemli, M.S.Cengiz, "Passive Filter Solutions and Simulation Performance in Industrial Plants", *Bitlis Eren Univ J Sci & Technology*, 6 (1), pp. 39-43, 2016.
- [8] S. Adak, H. Cangi, A.S.Yılmaz, "Design of an LLCL type filter for stand-alone PV systems' harmonics", *Journal of Energy Systems*. 3(1), pp. 36-50, 2019.
- [9] E. Orucu, "Endüstriyel Tesislerde Aktif Harmonik Filtre Uygulaması İle Elektrik Güç Kalitesinin Düzenlenmesi", *Pamukkale Üniversitesi Fen Bilimleri Enstitüsü, Yüksek Lisans Tezi*, Denizli, Türkiye, 2020.
- [10] S.B. Efe, A. Dalcalı, "Elektrik Makinalarında Harmonik ve Ara-Harmonik Analizi" *Electronic Letters on Science and Engineering*, 17 (2), pp. 117-125, 2021.
- [11] F. Kürker, R. Taşaltın, K. Karadağ, "Elektrik Tesisinde Harmonik İncelemesi ve Harmonik Filtreli Kompanzasyon", *Harran Üniversitesi Mühendislik Dergisi*, 3 (3), pp. 43-51, 2018.
- [12] S. Rüstemli, S. Tekev, "Güç Sistemindeki Harmoniklerin Bilgisayar Destekli Modellenmesi", *Dicle Üniversitesi Mühendislik Fakültesi Mühendislik Dergisi*, 12(5), pp. 711-718, 2021.
- [13] S. Adak, H. Cangi, A.S.Yılmaz, "Doğrusal Olmayan Yüklerde Güç Faktörünün Düzeltilmesi ve Harmonik Bileşenlerin Süzülmesi", *Gazi University Journal of Science Part C: Design and Technology*, 7 (1), pp. 153-164, 2019.
- [14] M. Kashif, M.J.Hossain, F. Zhuo, S. Gautam, "Design and implementation of a three-level active power filter for harmonic and reactive power compensation", *Electric Power Systems Research*, 165, pp.144–156, 2018.
- [15] V.N. Gali, N. Gupta, R.A.Gupta, "Mitigation of power quality problems using shunt active power filters: A comprehensive review", *12th IEEE Conference on Industrial Electronics and Applications (ICIEA), Cambodia*, June 18-20, pp. 1100-1105, 2017.
- [16] M.T.L. Gayatri, A.M. Parimi, K.A.V. Pavan, "A review of reactive power compensation techniques in microgrids", *Renewable and Sustainable Energy Reviews*, 81, pp.1030–1036, 2018.
- [17] L. F. J. Meloni, F. L. Tofoli, A. J. J. Rezek, E. R. Ribeiro, "Modeling and Experimental Validation of a Single-Phase Series Active Power Filter for Harmonic Voltage Reduction", *IEEE Access*, 7, pp. 151971–151984, 2019.
- [18] W. Śleszyński, A. Cichowski, P. Mysiak, "Current harmonic controller in multiple reference frames for series active power filter integrated with 18-pulse diode rectifier", *Bulletin of The Polish Academy of Sciences Technical Sciences*, 66(5), pp. 699-704, 2018.
- [19] R. Jadeja, A. Faldu, T. Trivedi, S. Chauhan, V. Patel, "Compensation of harmonics in neutral current using active power filter for three phase four wire system",

- Gazi University Journal of Science*, 31 (3), pp. 846-861, 2018.
- 20] M. O. Mahmoud, W. Mamdoh, H. Khalil, "Power System Distortion Mitigation by Using Series Active Power Filter", *International Journal of Industry and Sustainable Development (IJISD)*, 1 (2), pp. 36-48, 2020.
- 21] M.T. Akçay, U. Arifoğlu, "Anlık Güç Kuramı ile Dengesiz Yükler İçin SAGF Uygulaması", *Haliç Üniversitesi Fen Bilimleri Dergisi*, 2 (1), pp. 1-16, 2019.
- [22] S. Agrawal, D.K. Palwalia, M. Kumar M, "Performance Analysis of ANN Based three-phase four-wire Shunt Active Power Filter for Harmonic Mitigation under Distorted Supply Voltage Conditions", *IETE Journal of Research*, pp.1-9, 2019.
- [23] S. Adak, "Güç Sisteminde Triplen Harmoniklerin Eliminasyonu", *SETSCI Conference Indexing System*, 3, pp. 111-116, 2018.

Özgeçmişler



Sabir RÜSTEMLİ, Lisans ve Yüksek Lisans eğitimini, 1990 yılında Azerbaycan Devlet Petrol Akademisinde tamamlamıştır. Doktora Eğitimini 1995 yılında Azerbaycan Devlet Petrol Akademisi ve Azerbaycan Bilimler Akademisinde tamamlamıştır. 2005-2012 yılları arasında Yüzüncü Yıl Üniversitesi Elektrik-Elektronik Mühendisliği bölümünde Profesör olarak çalışmıştır. 2012 yılından itibaren Bitlis Eren Üniversitesi Mühendislik Mimarlık Fakültesi Elektrik-Elektronik Mühendisliği bölümünde Profesör olarak çalışmaktadır. Araştırma alanları; yüksek gerilim, iletim dağıtım sistemleri ve yenilenebilir enerji kaynaklarıdır.



Behçet KOCAMAN, Lisans eğitimini, 1993 yılında Yıldız Teknik Üniversitesi Elektrik Mühendisliği bölümünde tamamlamıştır. Yüksek Lisans ve Doktora eğitimlerini sırasıyla 1997 ve 2015 yıllarında Kocaeli Üniversitesi Elektrik Mühendisliği Anabilim Dalında tamamlamıştır. 1993-2015 yılları arasında ise Yüzüncü Yıl Üniversitesi/ Bitlis Eren Üniversitesi Tatvan Meslek Yüksekokulu Elektrik-Enerji bölümünde Öğretim Görevlisi olarak çalışmıştır. 2015-2021 yılları arasında Bitlis Eren Üniversitesi Mühendislik Mimarlık Fakültesi Elektrik-Elektronik Mühendisliği bölümünde Dr. Öğr. Üyesi olarak çalışmıştır. Halen aynı bölümünde Doçent olarak görev yapmaktadır. Araştırma alanları; enerji verimliliği, aydınlatma, reaktif güç kompanzasyonu ve yenilenebilir enerji sistemleridir.



Sinan TEKEV, Lisans eğitimini 2014 yılında Pamukkale Üniversitesi Elektrik-Elektronik Mühendisliği bölümünde tamamlamıştır. Yüksek Lisans eğitimini, 2021 yılında Bitlis Eren Üniversitesi Elektrik-Elektronik Mühendisliği Anabilim Dalında tamamlamıştır. Araştırma alanı, güç kalitesidir.

